

ANEXO 10.I

GRÁFICOS COM OS VALORES REGISTRADOS DE
 L_{Aeq} E mm/s NO TEMPO

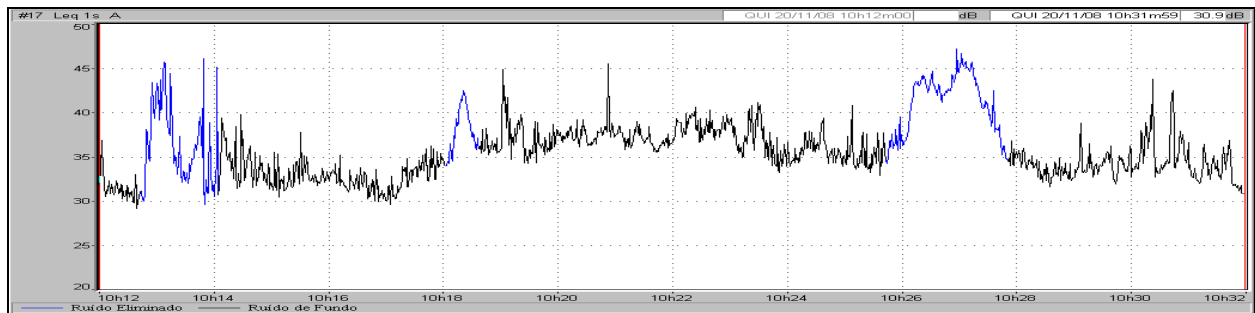


Figura B.1.1 - Gráfico da variação temporal do L_{Aeq} para o Ponto **RVB-01** localizado no entorno das futuras instalações da Mina do Alemão. Período: **Diurno-Manhã**.

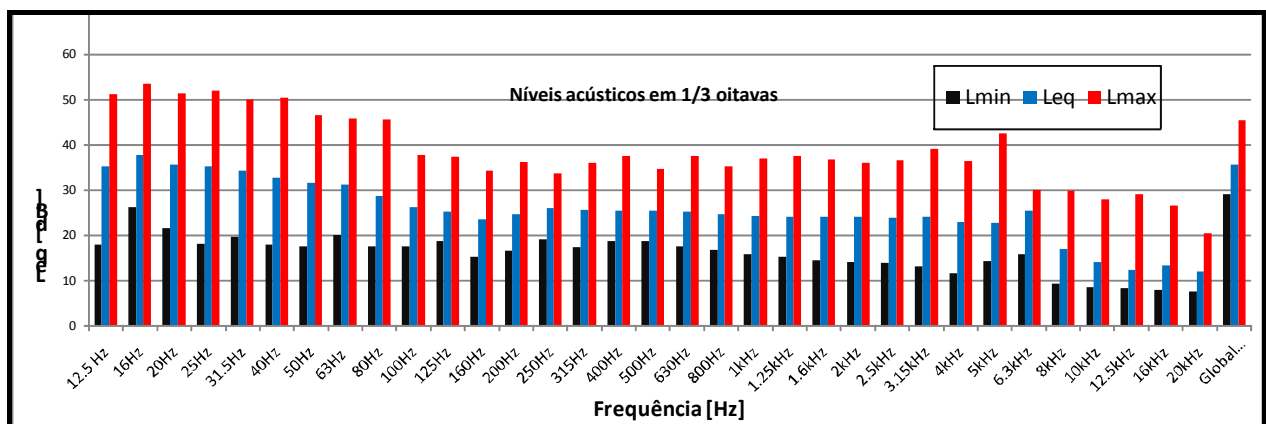


Figura B.1.1.2 - Gráfico da variação temporal dos níveis acústicos em 1/3 oitavas para o Ponto **RVB-01** localizado no entorno das futuras instalações da Mina do Alemão. Período: **Diurno-Manhã**.

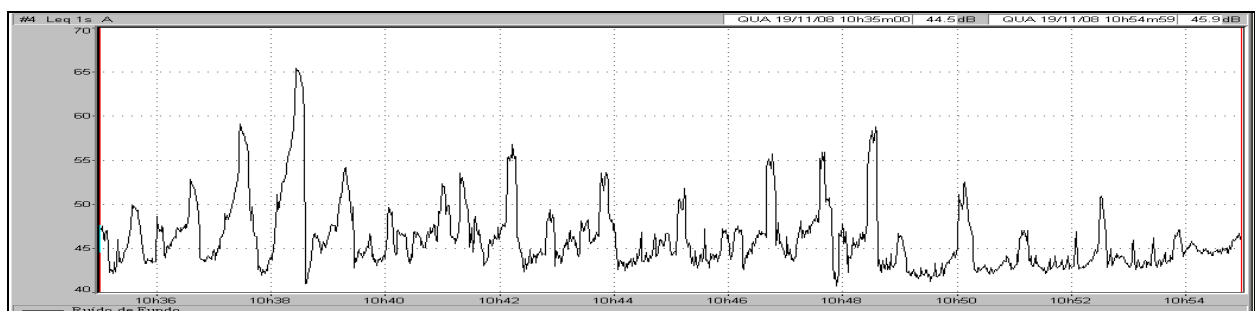


Figura B.2.1 - Gráfico da variação temporal do L_{Aeq} para o Ponto **RVB-02** localizado no entorno das futuras instalações da Mina do Alemão. Período: **Diurno-Manhã**.

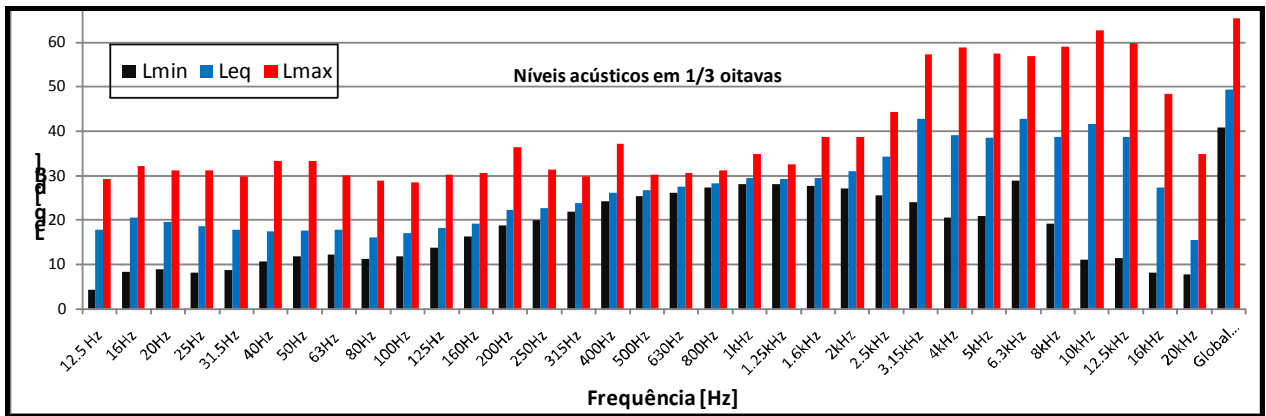


Figura B.2.2 - Gráfico da variação temporal dos níveis acústicos em 1/3 oitavas para o Ponto **RVB-02** localizado no entorno das futuras instalações da Mina do Alemão. Período: **Diurno-Manhã**.

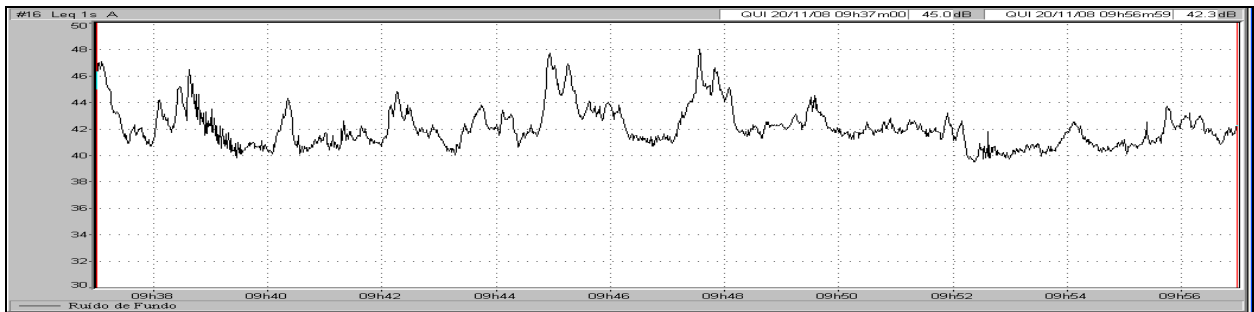


Figura B.3.1 - Gráfico da variação temporal do L_{Aeq} para o Ponto **RVB-03** localizado no entorno das futuras instalações da Mina do Alemão. Período: **Diurno-Manhã**.

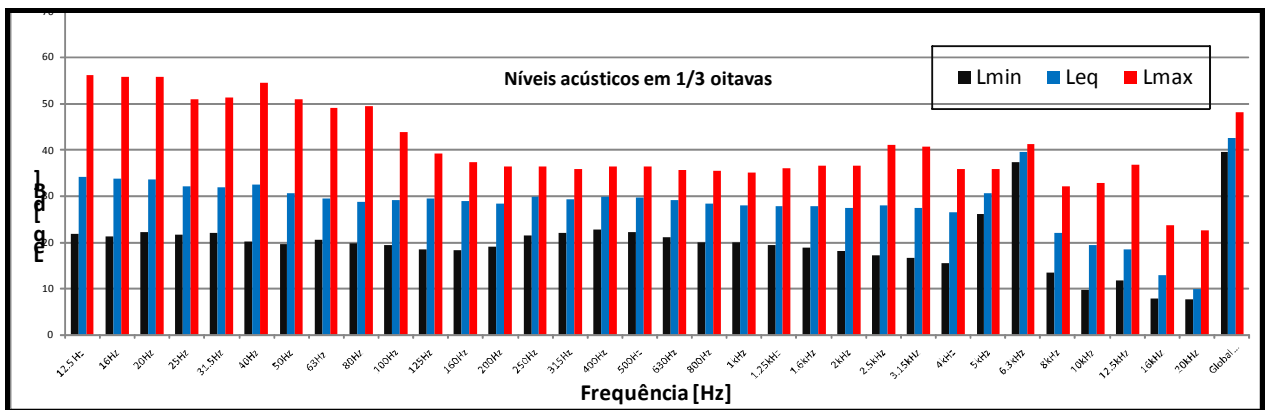


Figura B.3.2 - Gráfico da variação temporal dos níveis acústicos em 1/3 oitavas para o Ponto **RVB-03** localizado no entorno das futuras instalações da Mina do Alemão. Período: **Diurno-Manhã**.

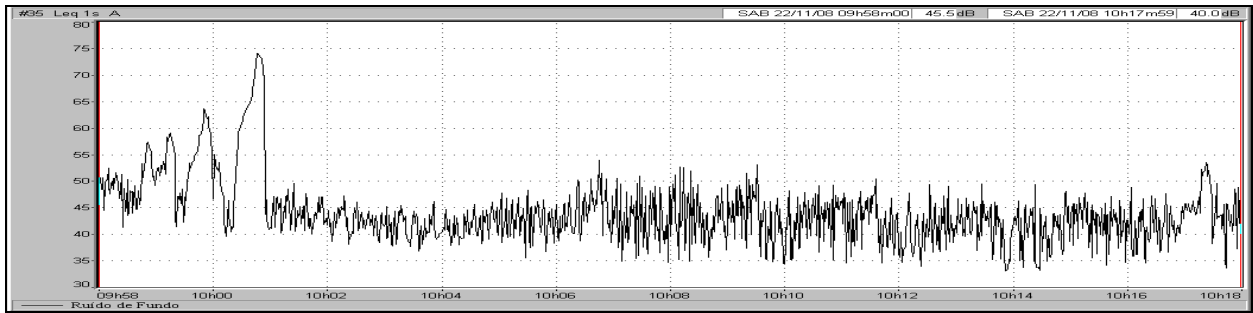


Figura B.4.1 - Gráfico da variação temporal do L_{Aeq} para o Ponto **RVB-04** localizado no entorno das futuras instalações da Mina do Alemão. Período: **Diurno-Manhã**.

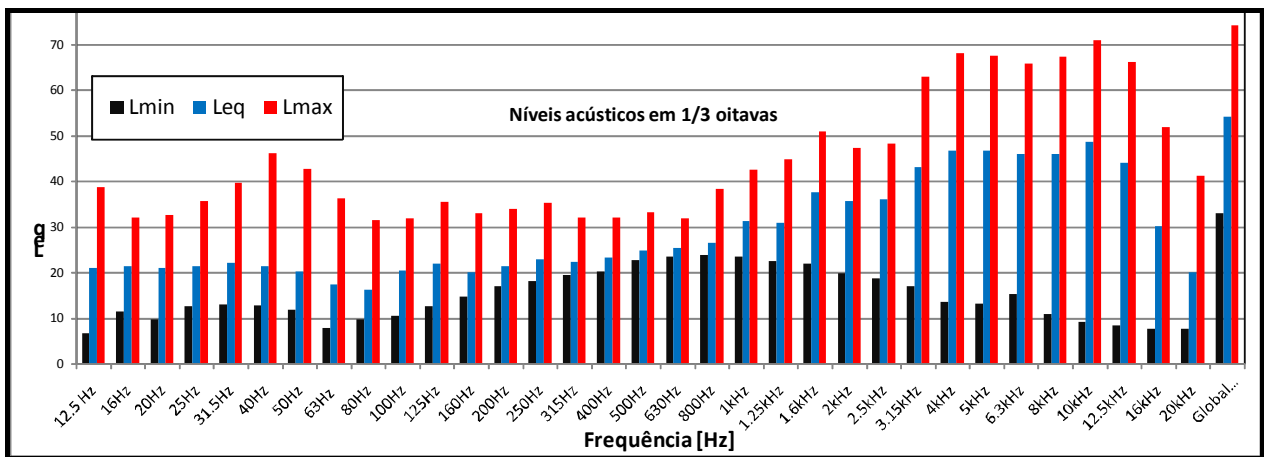


Figura B.4.2 - Gráfico da variação temporal dos níveis acústicos em 1/3 oitavas para o Ponto **RVB-04** localizado no entorno das futuras instalações da Mina do Alemão. Período: **Diurno-Manhã**.

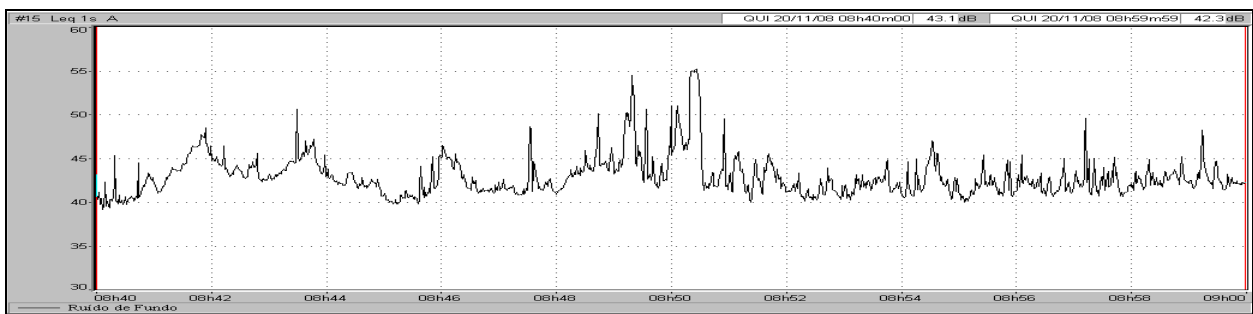


Figura B.5.1 - Gráfico da variação temporal do L_{Aeq} para o Ponto **RVB-05** localizado no entorno das futuras instalações da Mina do Alemão. Período: **Diurno-Manhã**.

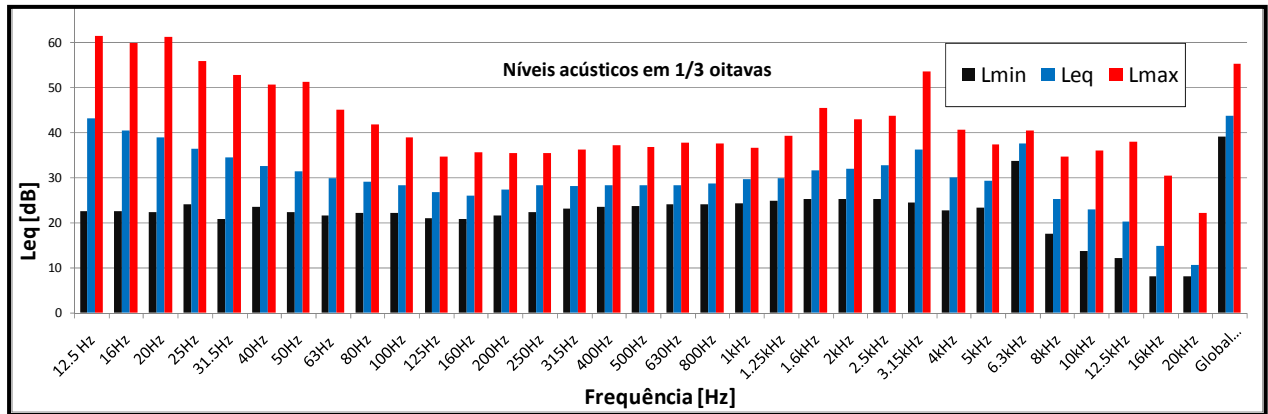


Figura B.5.2 - Gráfico da variação temporal dos níveis acústicos em 1/3 oitavas para o Ponto **RVB-05** localizado no entorno das futuras instalações da Mina do Alemão. Período: **Diurno-Manhã**.

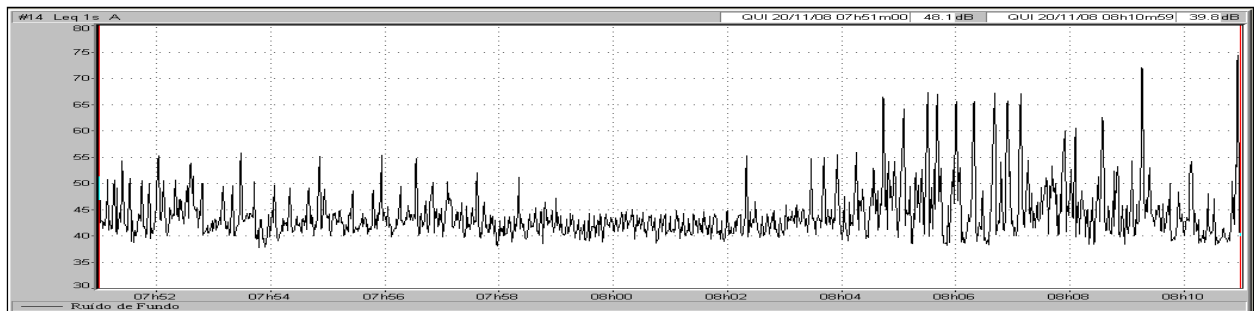


Figura B.6.1 - Gráfico da variação temporal do L_{Aeq} para o Ponto **RVB-06** localizado no entorno das futuras instalações da Mina do Alemão. Período: **Diurno-Manhã**.

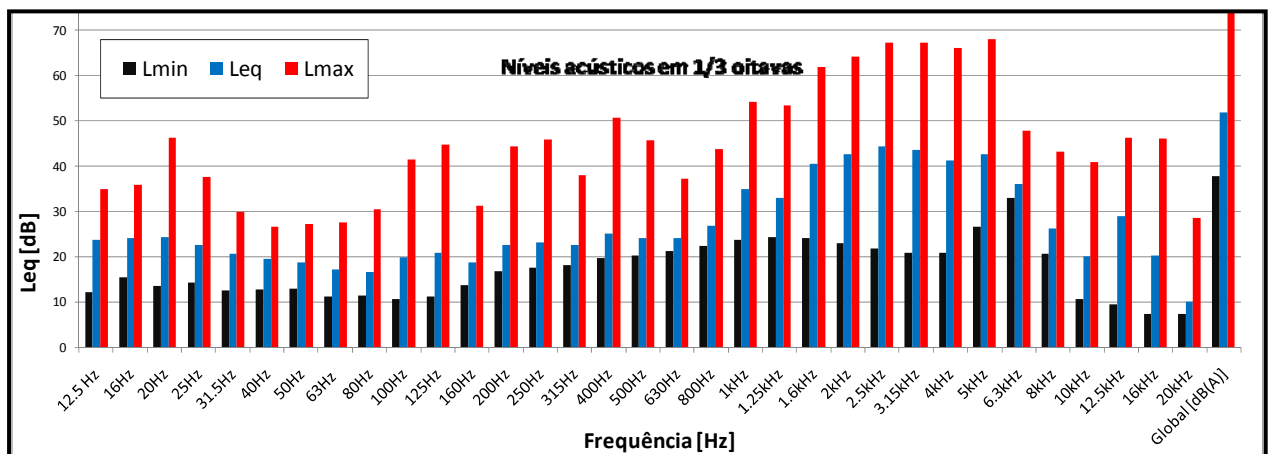


Figura B.6.2 - Gráfico da variação temporal dos níveis acústicos em 1/3 oitavas para o Ponto **RVB-06** localizado no entorno das futuras instalações da Mina do Alemão. Período: **Diurno-Manhã**.

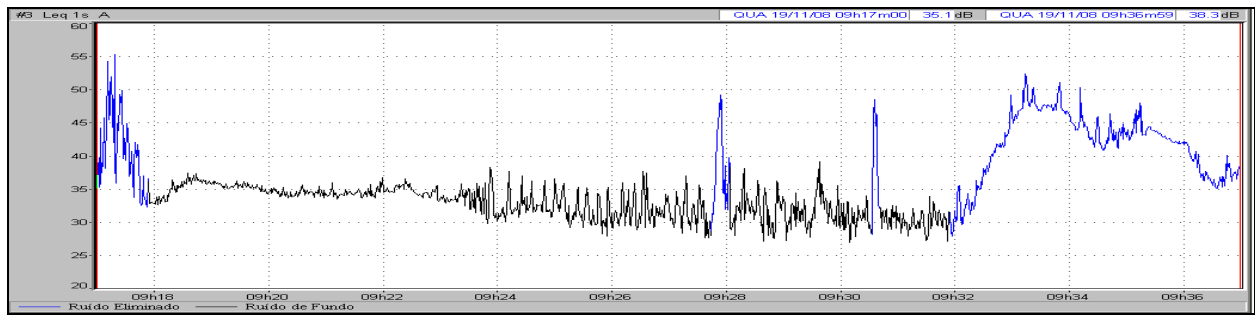


Figura B.7.1 - Gráfico da variação temporal do L_{Aeq} para o Ponto **RVB-07** localizado no entorno das futuras instalações da Mina do Alemão. Período: **Diurno-Manhã**.

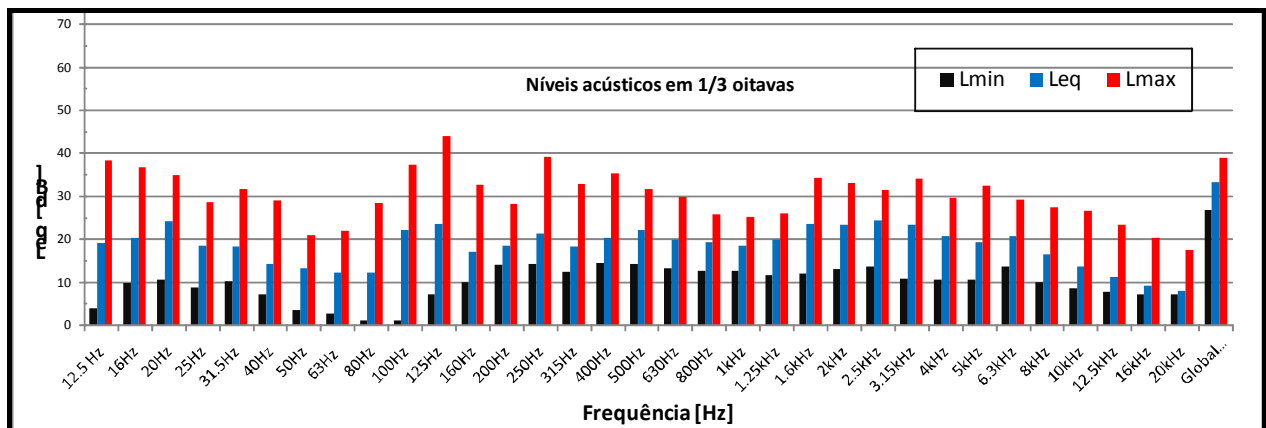


Figura B.7.2 - Gráfico da variação temporal dos níveis acústicos em 1/3 oitavas para o Ponto **RVB-07** localizado no entorno das futuras instalações da Mina do Alemão. Período: **Diurno-Manhã**.

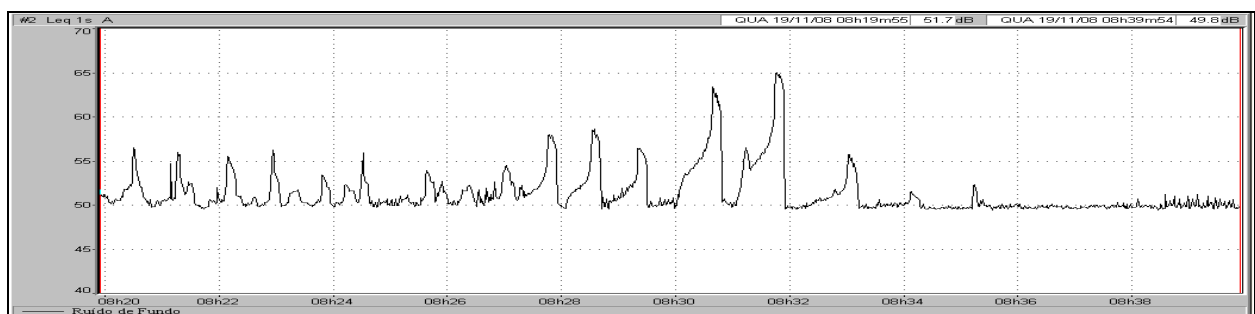


Figura B.8.1 - Gráfico da variação temporal do L_{Aeq} para o Ponto **RVB-08** localizado no entorno das futuras instalações da Mina do Alemão. Período: **Diurno-Manhã**.

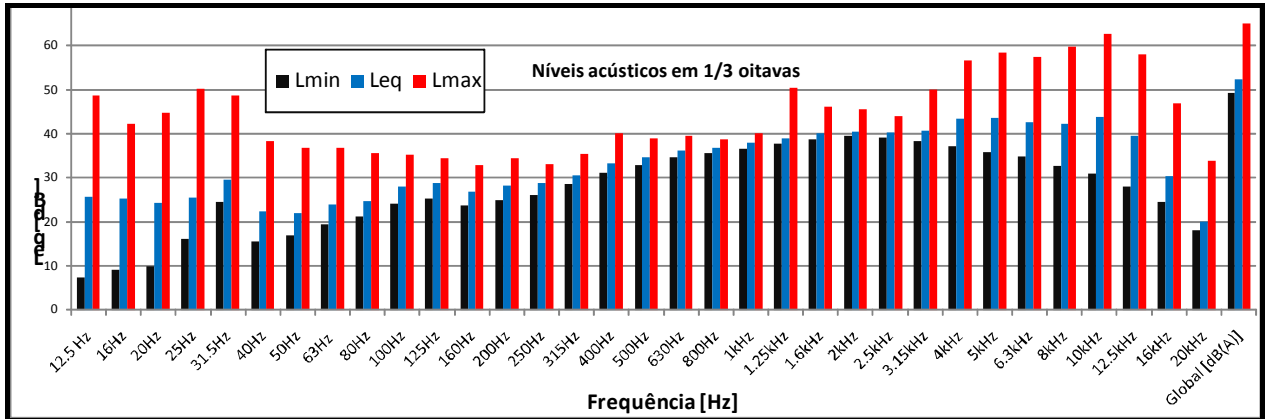


Figura B.8.2 - Gráfico da variação temporal dos níveis acústicos em 1/3 oitavas para o Ponto **RVB-08** localizado no entorno das futuras instalações da Mina do Alemão. Período: **Diurno-Manhã**.

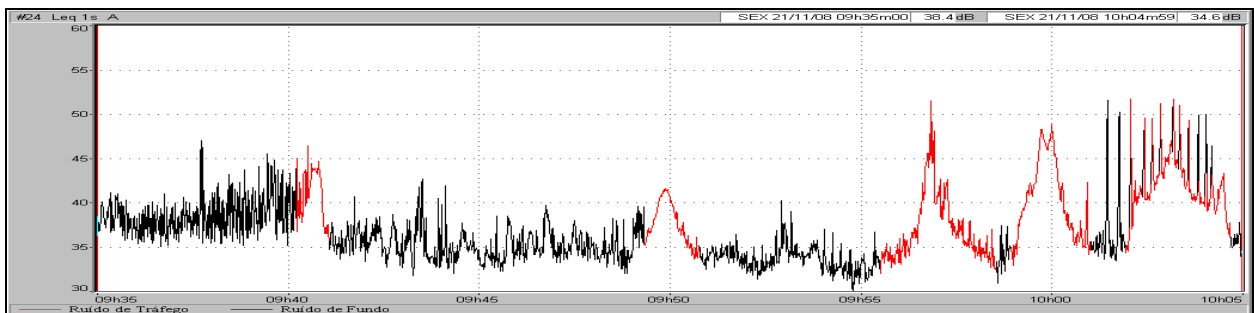


Figura B.9.1 - Gráfico da variação temporal do L_{Aeq} para o Ponto **RVB-09** localizado no entorno das futuras instalações da Mina do Alemão. Período: **Diurno-Manhã**.

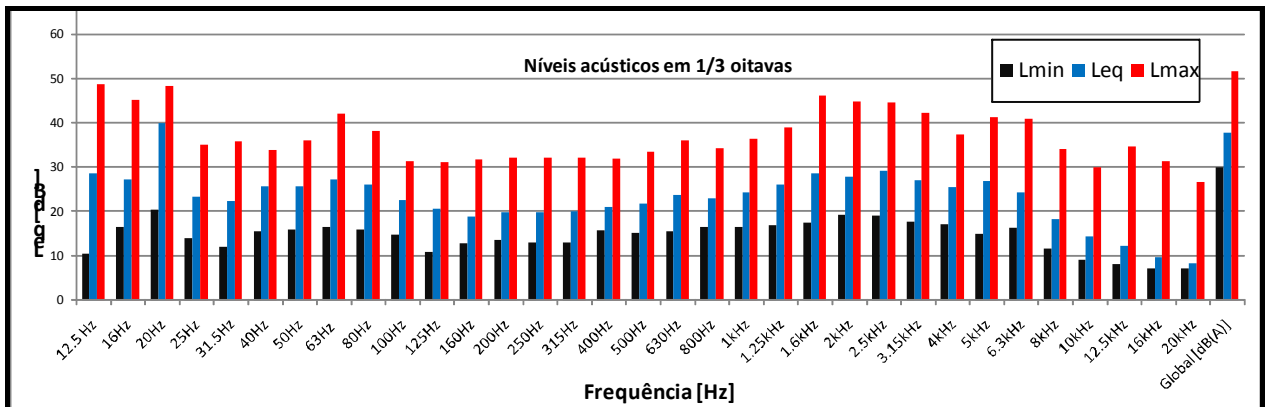


Figura B.9.2 - Gráfico da variação temporal dos níveis acústicos em 1/3 oitavas para o Ponto **RVB-09** localizado no entorno das futuras instalações da Mina do Alemão. Período: **Diurno-Manhã**.

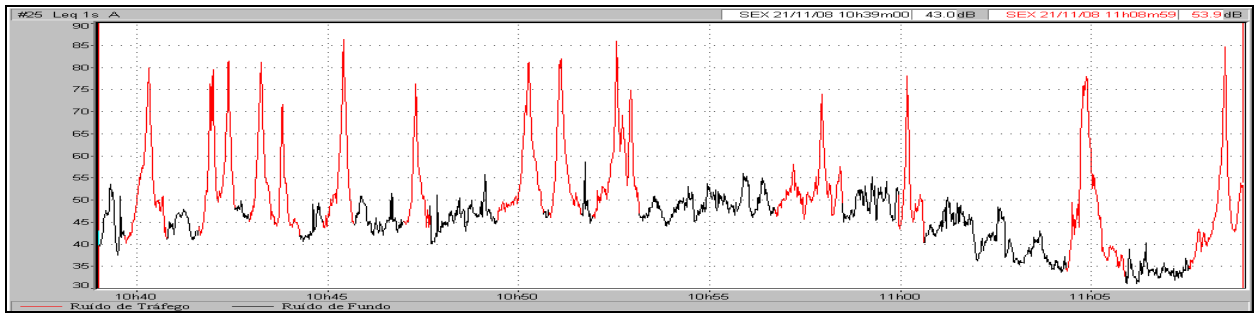


Figura B.10.1 - Gráfico da variação temporal do L_{Aeq} para o Ponto **RVB-10** localizado no entorno das futuras instalações da Mina do Alemão. Período: **Diurno-Manhã**.

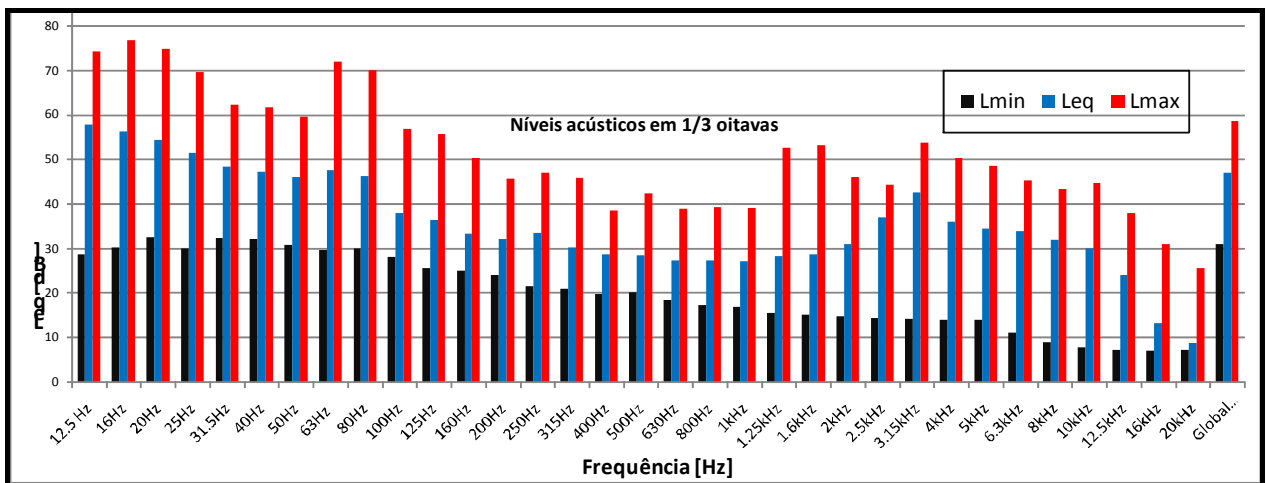


Figura B.10.2 - Gráfico da variação temporal dos níveis acústicos em 1/3 oitavas para o Ponto **RVB-10** localizado no entorno das futuras instalações da Mina do Alemão. Período: **Diurno-Manhã**.

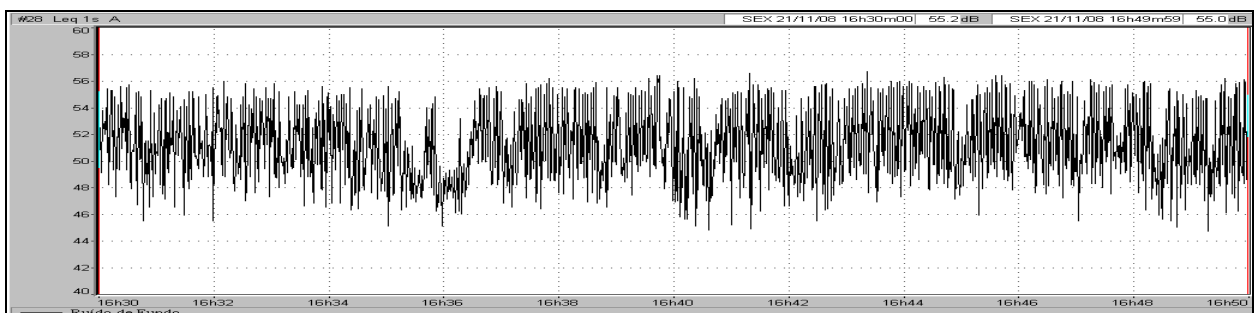


Figura B.11.1 - Gráfico da variação temporal do L_{Aeq} para o Ponto **RVB-01** localizado no entorno das futuras instalações da Mina do Alemão. Período **Diurno-Tarde**.

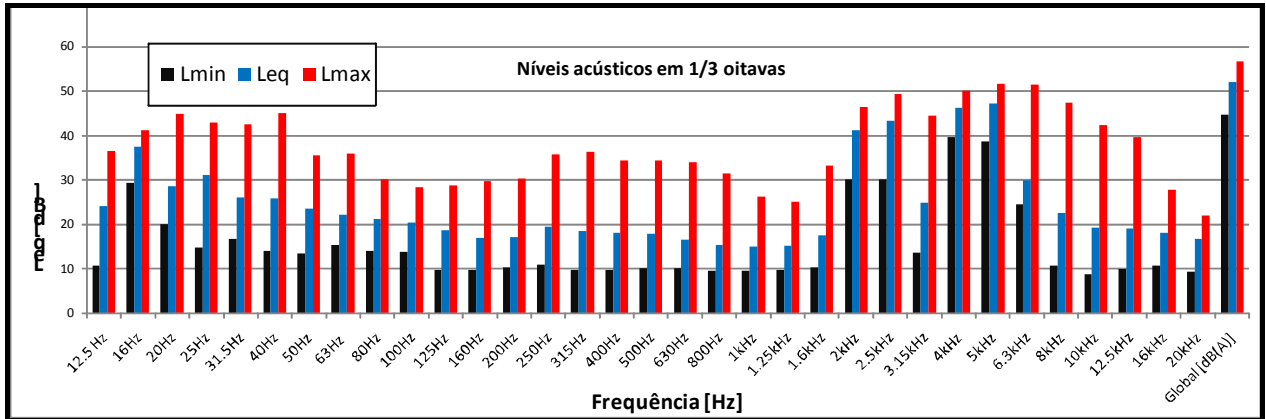


Figura B.11.2 - Gráfico da variação temporal dos níveis acústicos em 1/3 oitavas para o Ponto **RVB-01** localizado no entorno das futuras instalações da Mina do Alemão. Período: **Diurno-Tarde**.

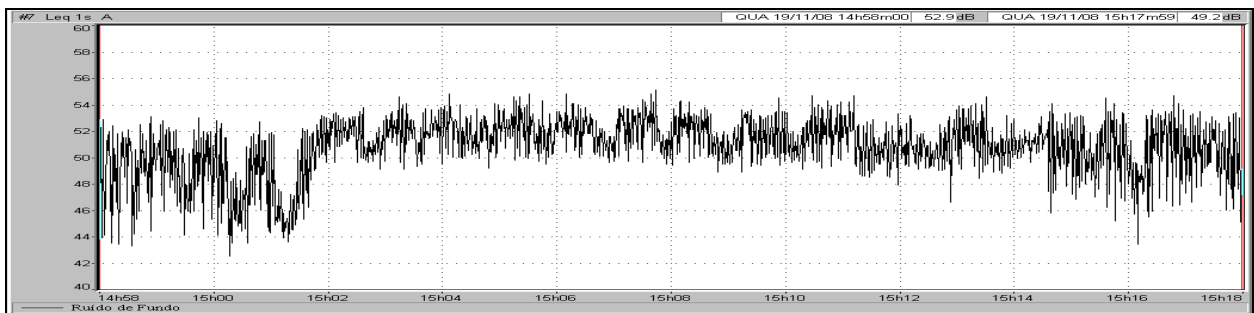


Figura B.12.1 - Gráfico da variação temporal do L_{Aeq} para o Ponto **RVB-02** localizado no entorno das futuras instalações da Mina do Alemão. Período **Diurno-Tarde**.

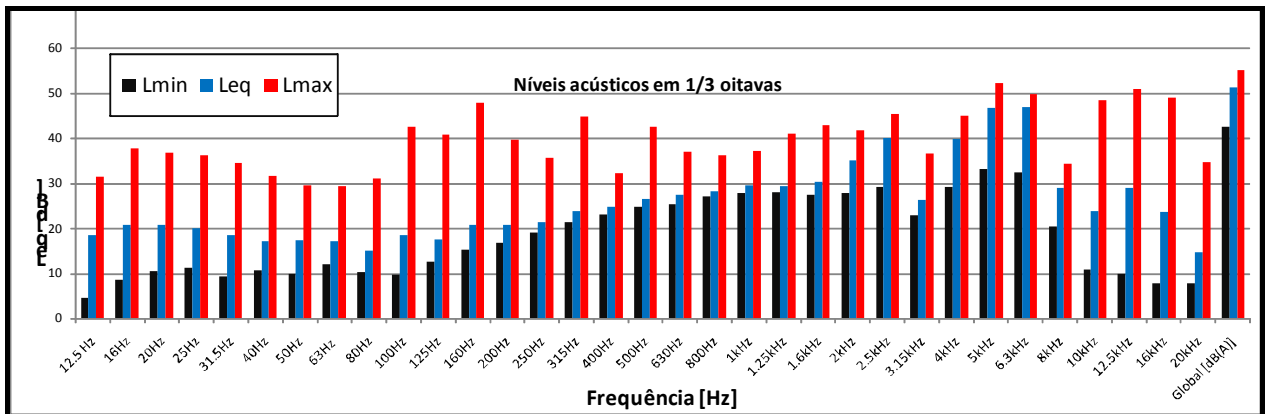


Figura B.12.2 - Gráfico da variação temporal dos níveis acústicos em 1/3 oitavas para o Ponto **RVB-02** localizado no entorno das futuras instalações da Mina do Alemão. Período: **Diurno-Tarde**.

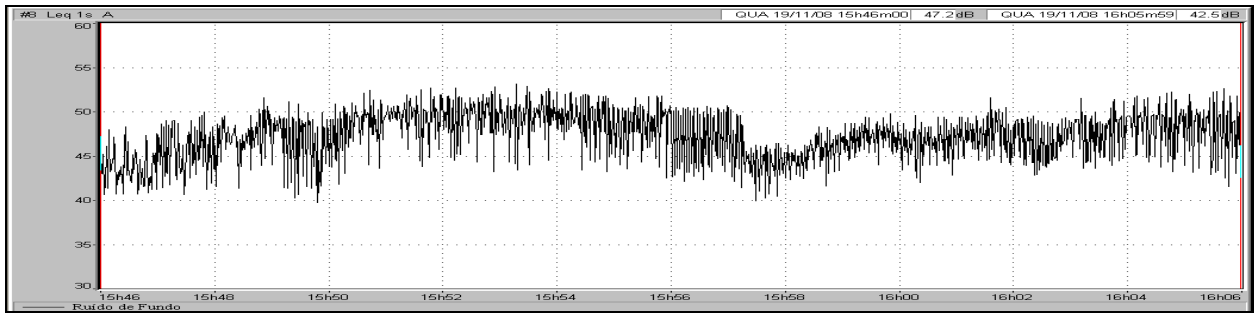


Figura B.13.1 - Gráfico da variação temporal do L_{Aeq} para o Ponto **RVB-03** localizado no entorno das futuras instalações da Mina do Alemão. Período **Diurno-Tarde**.

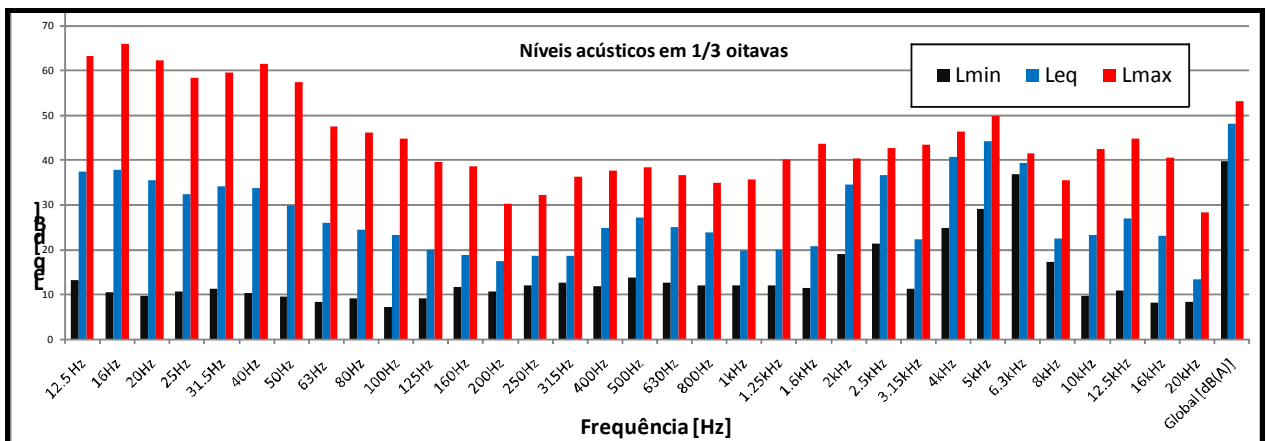


Figura B.13.2 - Gráfico da variação temporal dos níveis acústicos em 1/3 oitavas para o Ponto **RVB-03** localizado no entorno das futuras instalações da Mina do Alemão. Período: **Diurno-Tarde**.

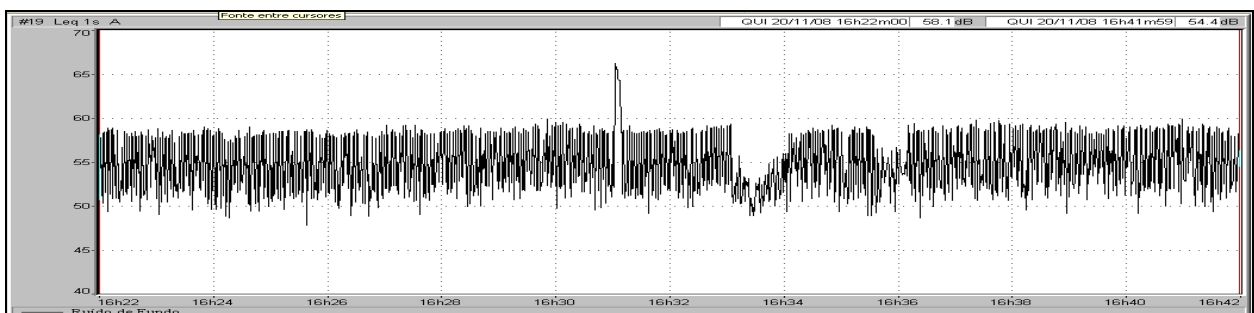


Figura B.14.1 - Gráfico da variação temporal do L_{Aeq} para o Ponto **RVB-04** localizado no entorno das futuras instalações da Mina do Alemão. Período **Diurno-Tarde**.

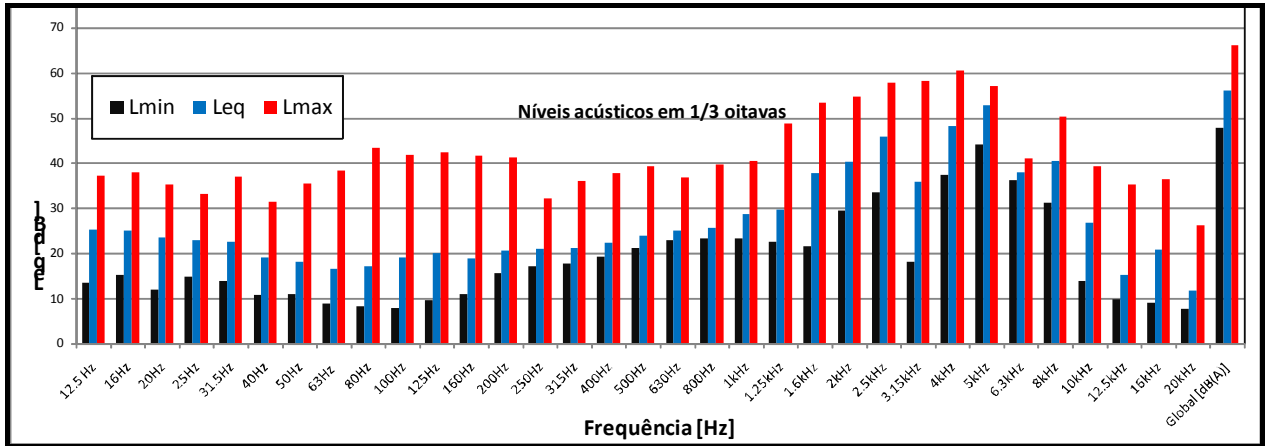


Figura B.14.2 - Gráfico da variação temporal dos níveis acústicos em 1/3 oitavas para o Ponto **RVB-04** localizado no entorno das futuras instalações da Mina do Alemão. Período: **Diurno-Tarde**.

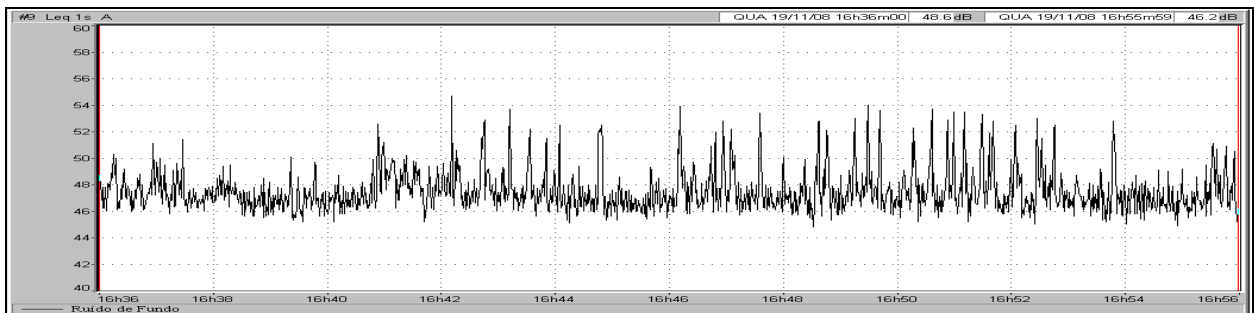


Figura B.15.1 - Gráfico da variação temporal do L_{Aeq} para o Ponto **RVB-05** localizado no entorno das futuras instalações da Mina do Alemão. Período **Diurno-Tarde**.

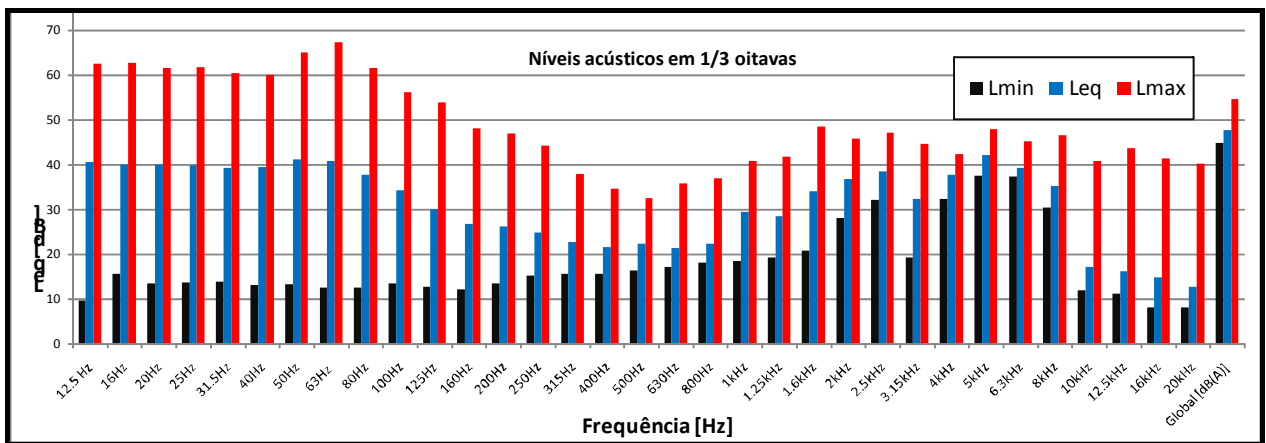


Figura B.15.2 - Gráfico da variação temporal dos níveis acústicos em 1/3 oitavas para o Ponto **RVB-05** localizado no entorno das futuras instalações da Mina do Alemão. Período: **Diurno-Tarde**.

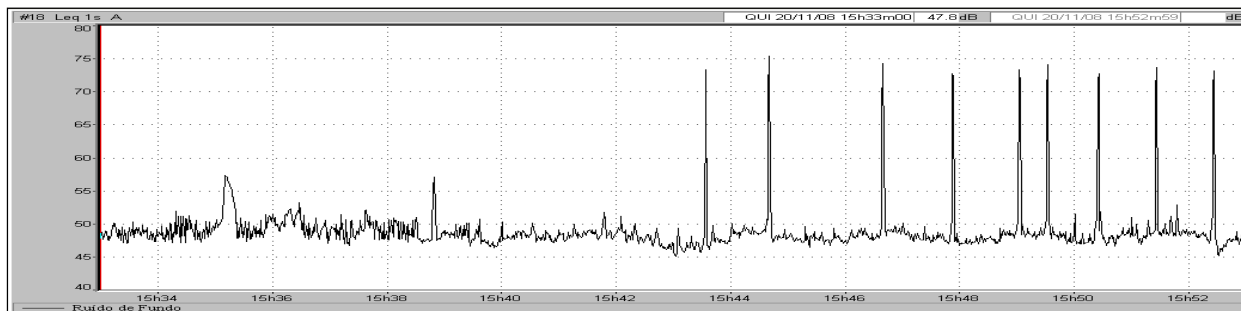


Figura B.16.1 - Gráfico da variação temporal do L_{Aeq} para o Ponto **RVB-06** localizado no entorno das futuras instalações da Mina do Alemão. Período **Diurno-Tarde**.

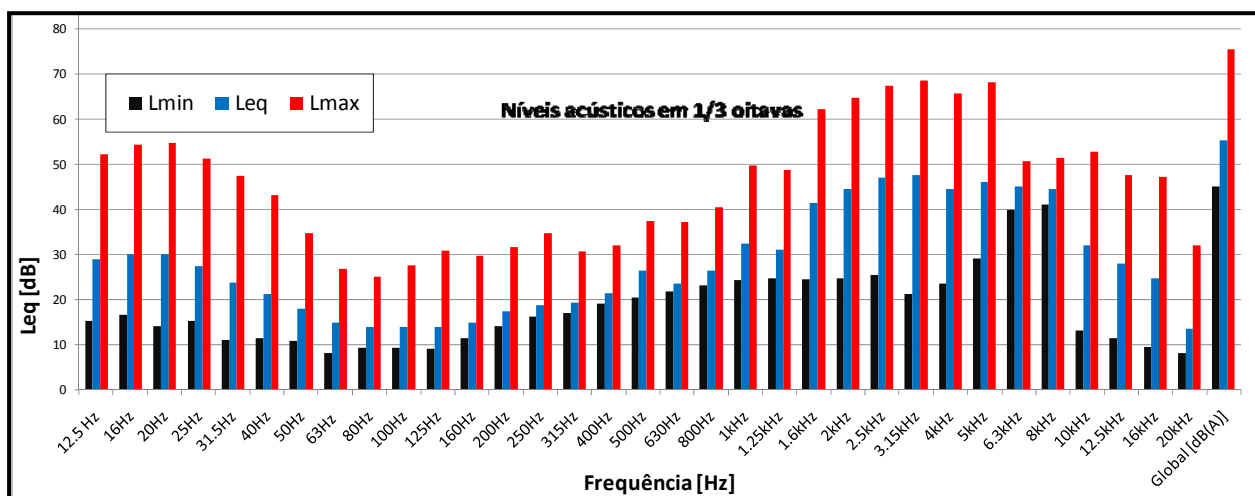


Figura B.16.2 - Gráfico da variação temporal dos níveis acústicos em 1/3 oitavas para o Ponto **RVB-06** localizado no entorno das futuras instalações da Mina do Alemão. Período: **Diurno-Tarde**.

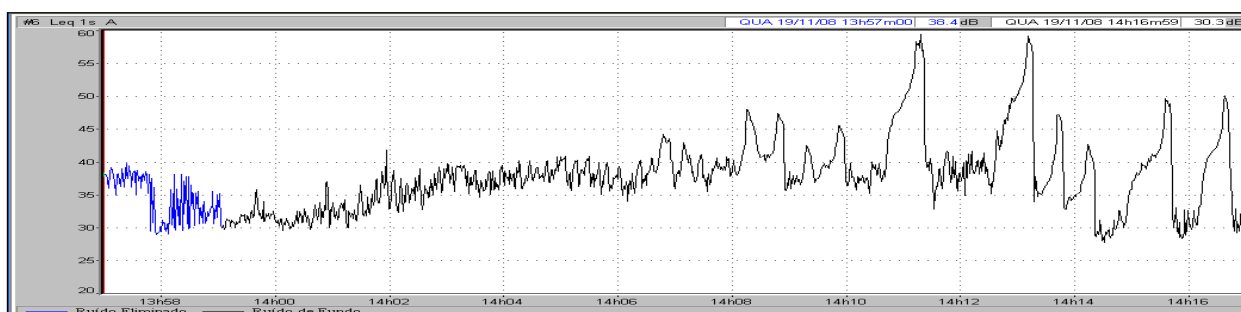


Figura B.17.1 - Gráfico da variação temporal do L_{Aeq} para o Ponto **RVB-07** localizado no entorno das futuras instalações da Mina do Alemão. Período **Diurno-Tarde**.

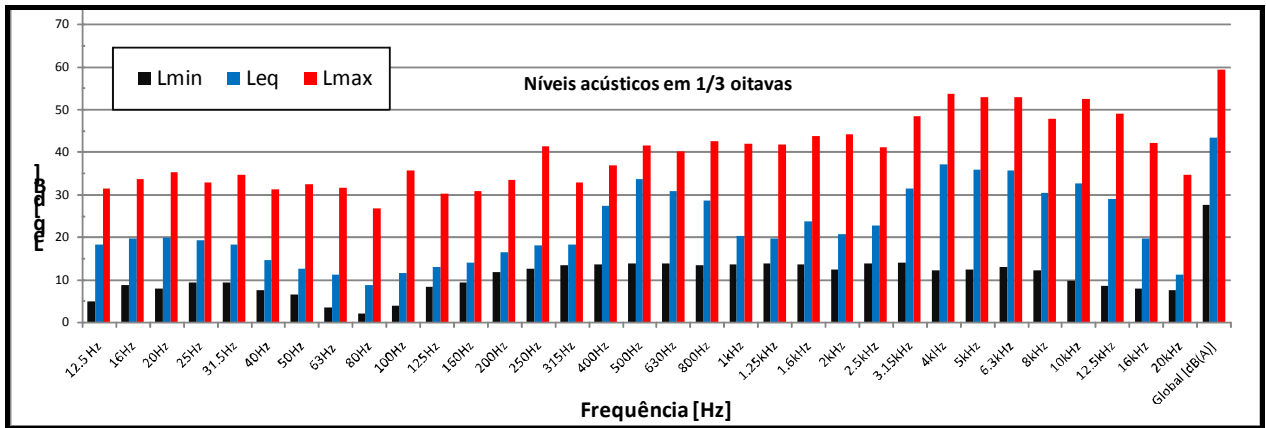


Figura B.17.2 - Gráfico da variação temporal dos níveis acústicos em 1/3 oitavas para o Ponto **RVB-07** localizado no entorno das futuras instalações da Mina do Alemão. Período: **Diurno-Tarde**.

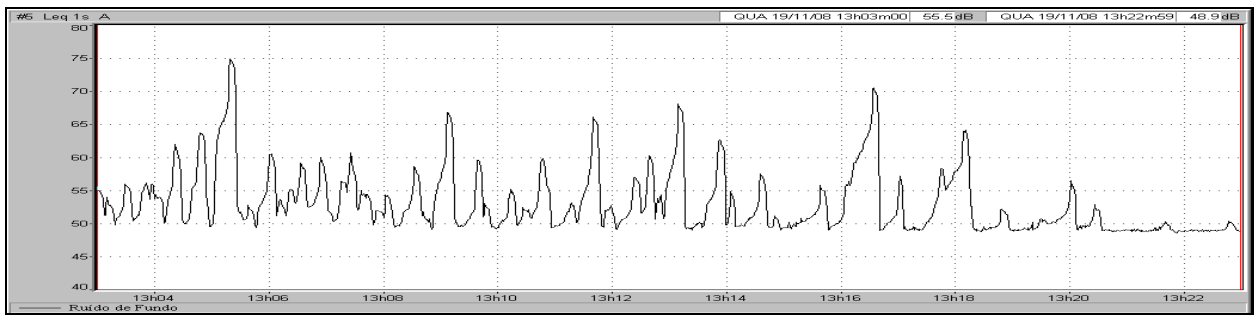


Figura B.18.1 - Gráfico da variação temporal do L_{Aeq} para o Ponto **RVB-08** localizado no entorno das futuras instalações da Mina do Alemão. Período **Diurno-Tarde**.

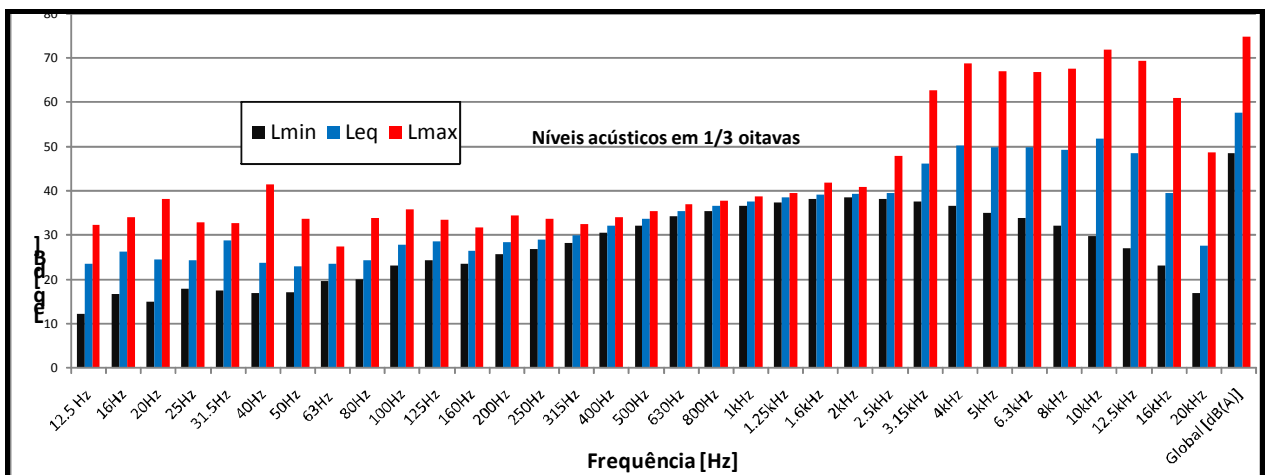


Figura B.18.2 - Gráfico da variação temporal dos níveis acústicos em 1/3 oitavas para o Ponto **RVB-08** localizado no entorno das futuras instalações da Mina do Alemão. Período: **Diurno-Tarde**.

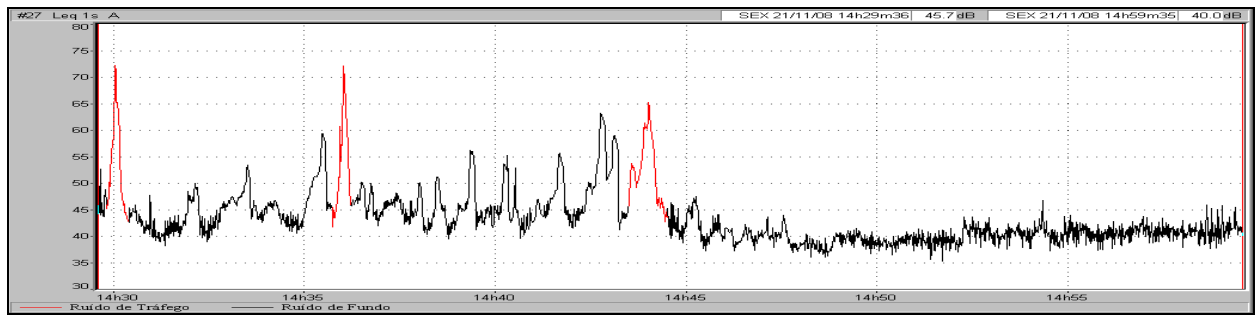


Figura B.19.1 - Gráfico da variação temporal do L_{Aeq} para o Ponto **RVB-09** localizado no entorno das futuras instalações da Mina do Alemão. Período **Diurno-Tarde**.

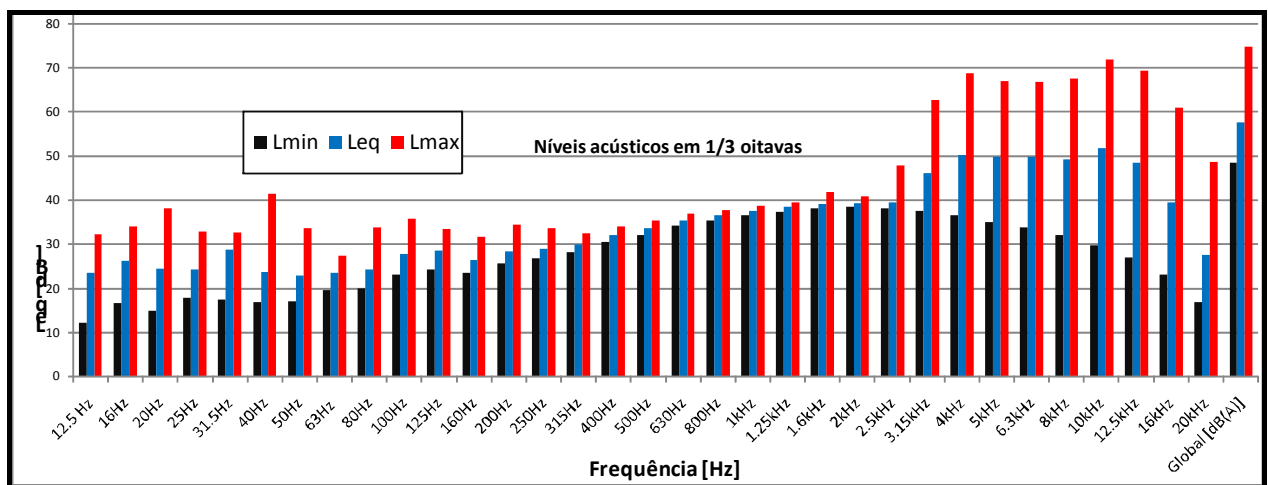


Figura B.19.2 - Gráfico da variação temporal dos níveis acústicos em 1/3 oitavas para o Ponto **RVB-09** localizado no entorno das futuras instalações da Mina do Alemão. Período: **Diurno-Tarde**.

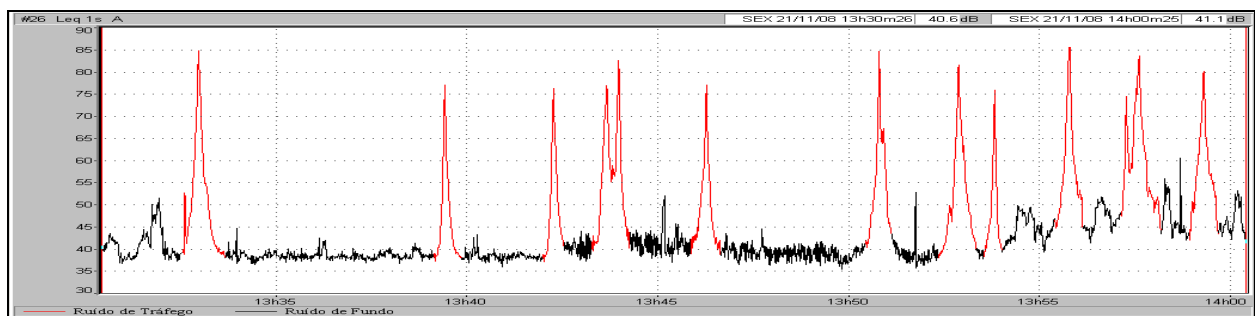


Figura B.20.1 - Gráfico da variação temporal do L_{Aeq} para o Ponto **RVB-10** localizado no entorno das futuras instalações da Mina do Alemão. Período **Diurno-Tarde**.

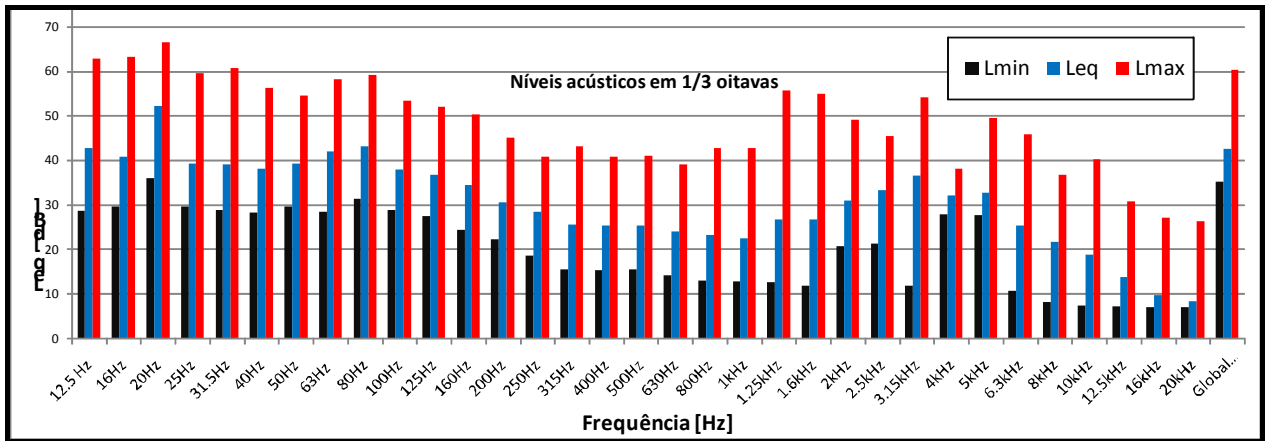


Figura B.20.2 - Gráfico da variação temporal dos níveis acústicos em 1/3 oitavas para o Ponto **RVB-10** localizado no entorno das futuras instalações da Mina do Alemão. Período: **Diurno-Tarde**.

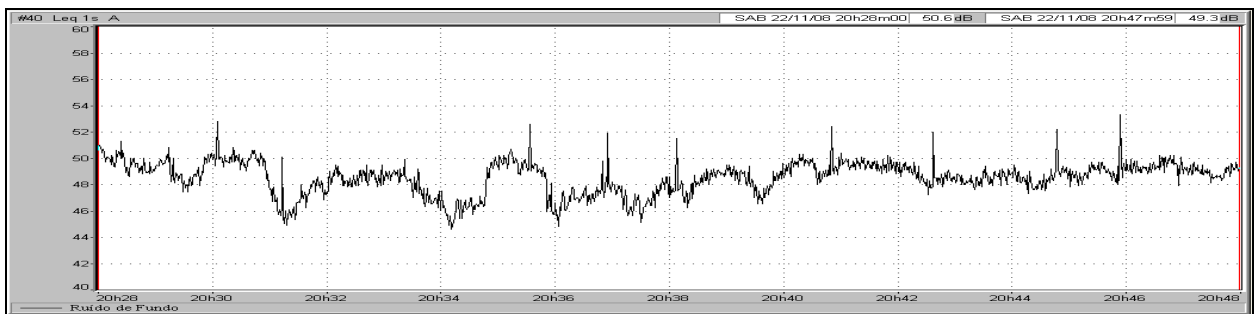


Figura B.21.1 - Gráfico da variação temporal do L_{Aeq} para o Ponto **RVB-01** localizado no entorno das futuras instalações da Mina do Alemão. Período **Vespertino**.

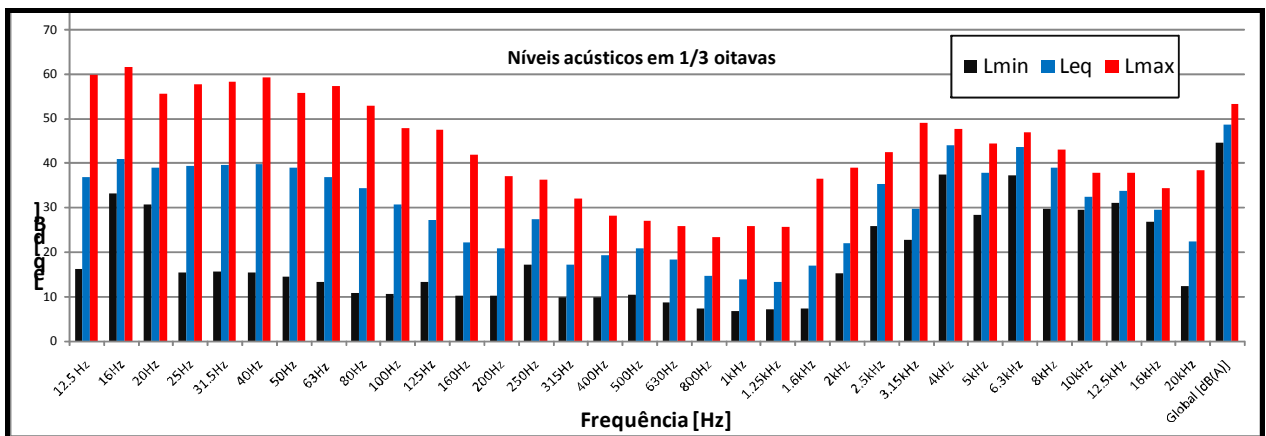


Figura B.21.2 - Gráfico da variação temporal dos níveis acústicos em 1/3 oitavas para o Ponto **RVB-01** localizado no entorno das futuras instalações da Mina do Alemão. Período: **Vespertino**.

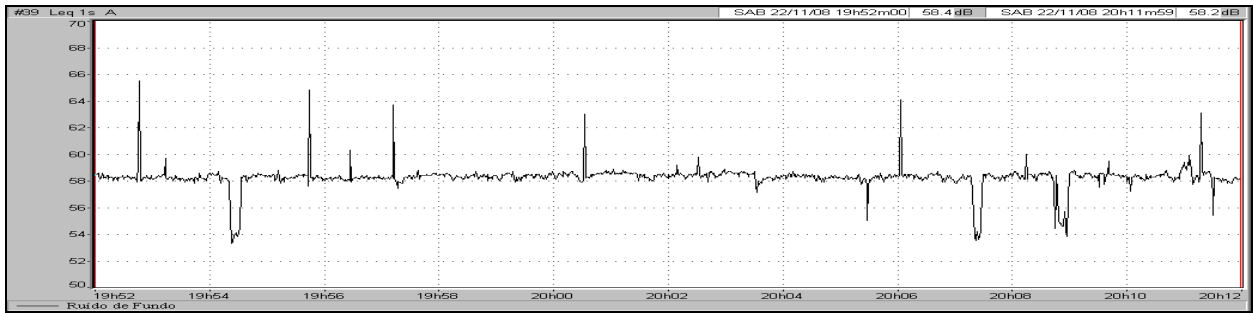


Figura B.22.1 - Gráfico da variação temporal do L_{Aeq} para o Ponto **RVB-02** localizado no entorno das futuras instalações da Mina do Alemão. Período **Vespertino**.

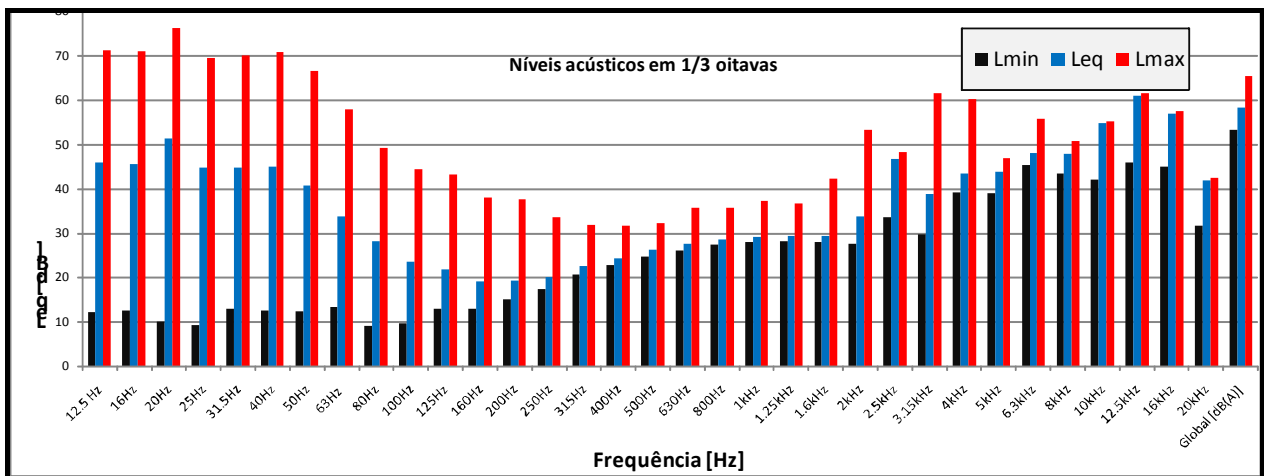


Figura B.22.2 - Gráfico da variação temporal dos níveis acústicos em 1/3 oitavas para o Ponto **RVB-02** localizado no entorno das futuras instalações da Mina do Alemão. Período: **Vespertino**.

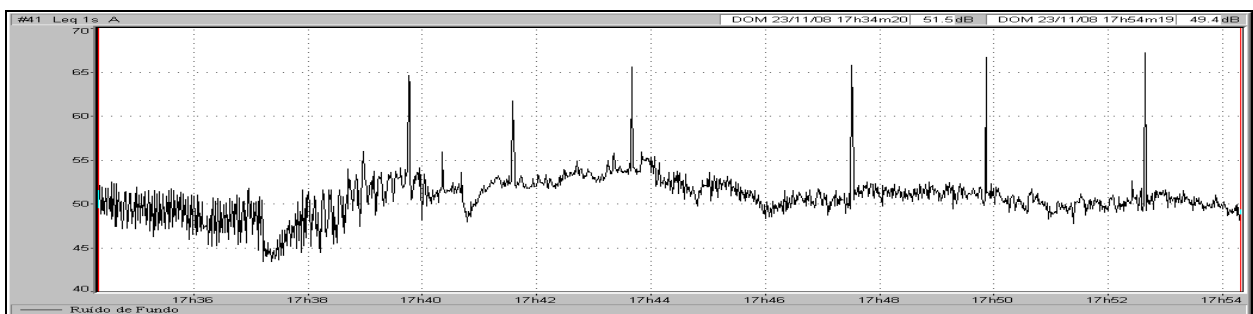


Figura B.23.1 - Gráfico da variação temporal do L_{Aeq} para o Ponto **RVB-03** localizado no entorno das futuras instalações da Mina do Alemão. Período **Vespertino**.

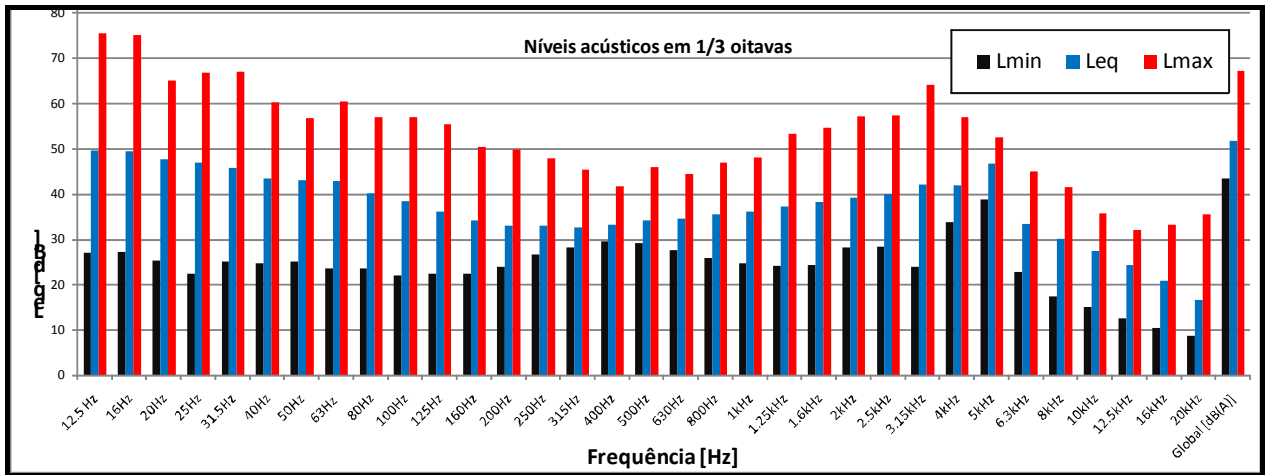


Figura B.23.2 - Gráfico da variação temporal dos níveis acústicos em 1/3 oitavas para o Ponto **RVB-03** localizado no entorno das futuras instalações da Mina do Alemão. Período: **Vespertino**.

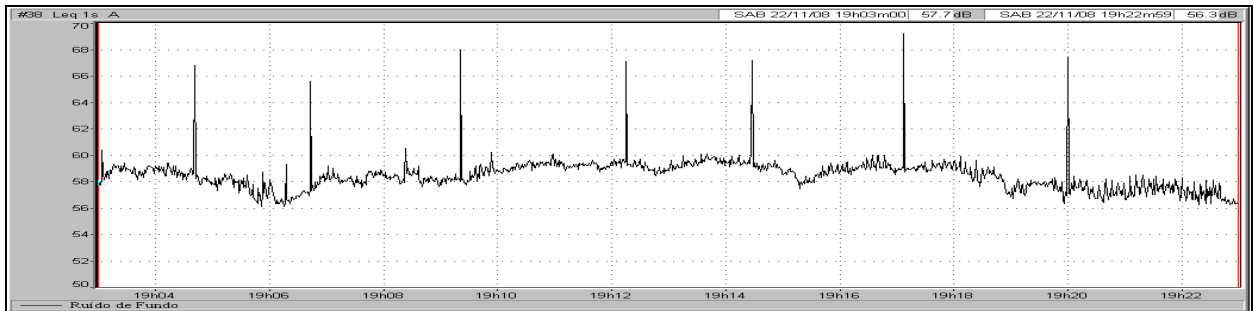


Figura B.24.1 - Gráfico da variação temporal do L_{Aeq} para o Ponto **RVB-04** localizado no entorno das futuras instalações da Mina do Alemão. Período **Vespertino**.

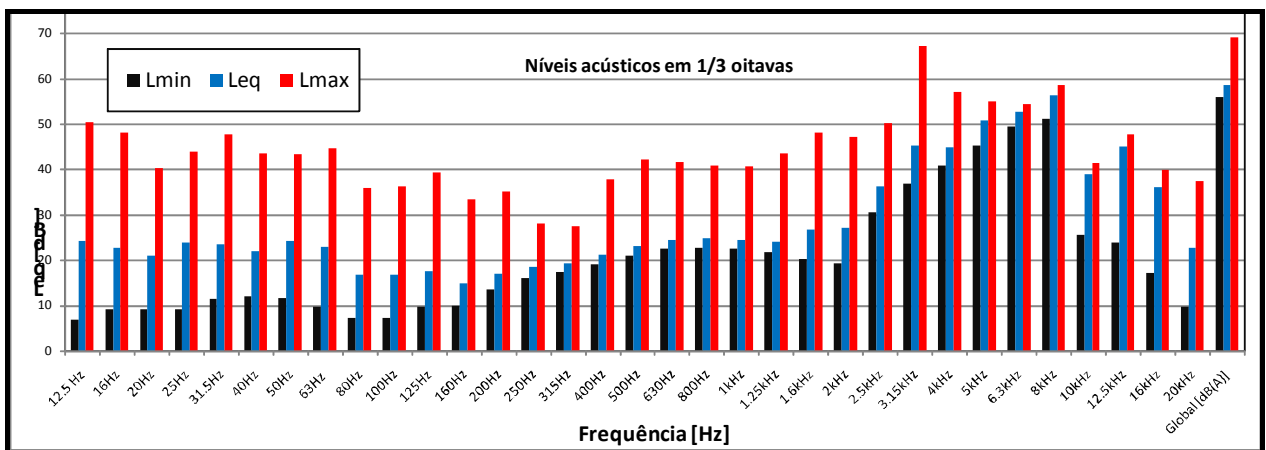


Figura B.24.2 - Gráfico da variação temporal dos níveis acústicos em 1/3 oitavas para o Ponto **RVB-04** localizado no entorno das futuras instalações da Mina do Alemão. Período: **Vespertino**.

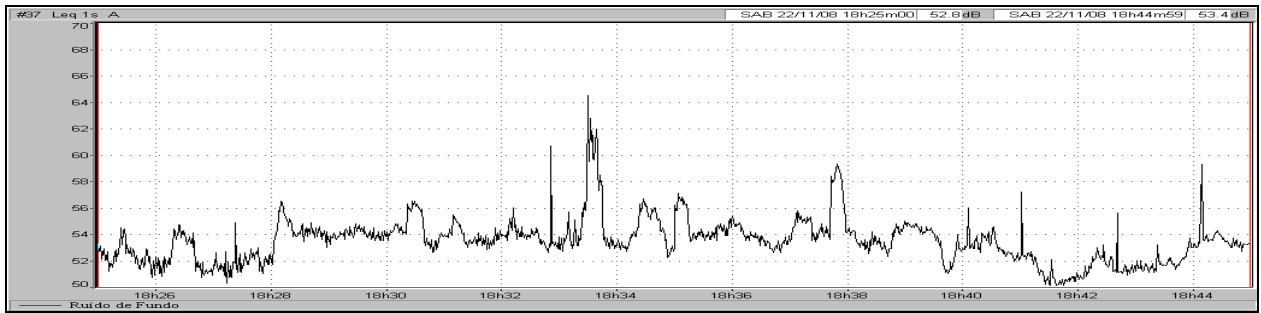


Figura B.25.1 - Gráfico da variação temporal do L_{Aeq} para o Ponto **RVB-05** localizado no entorno das futuras instalações da Mina do Alemão. Período **Vespertino**.

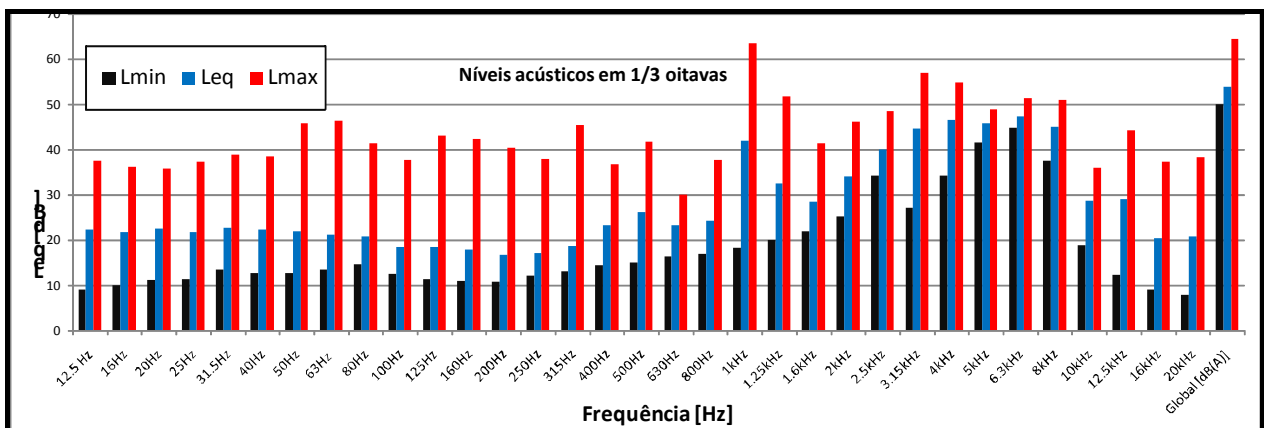


Figura B.25.2 - Gráfico da variação temporal dos níveis acústicos em 1/3 oitavas para o Ponto **RVB-05** localizado no entorno das futuras instalações da Mina do Alemão. Período: **Vespertino**.

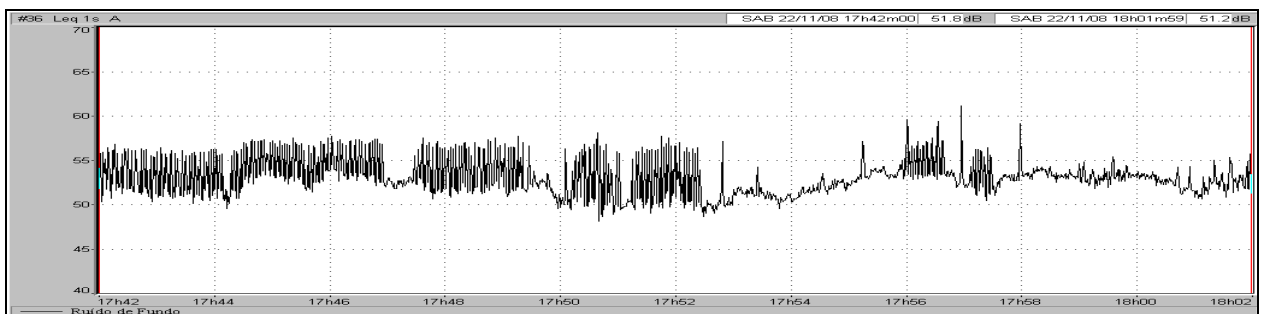


Figura B.26.1 - Gráfico da variação temporal do L_{Aeq} para o Ponto **RVB-06** localizado no entorno das futuras instalações da Mina do Alemão. Período **Vespertino**.

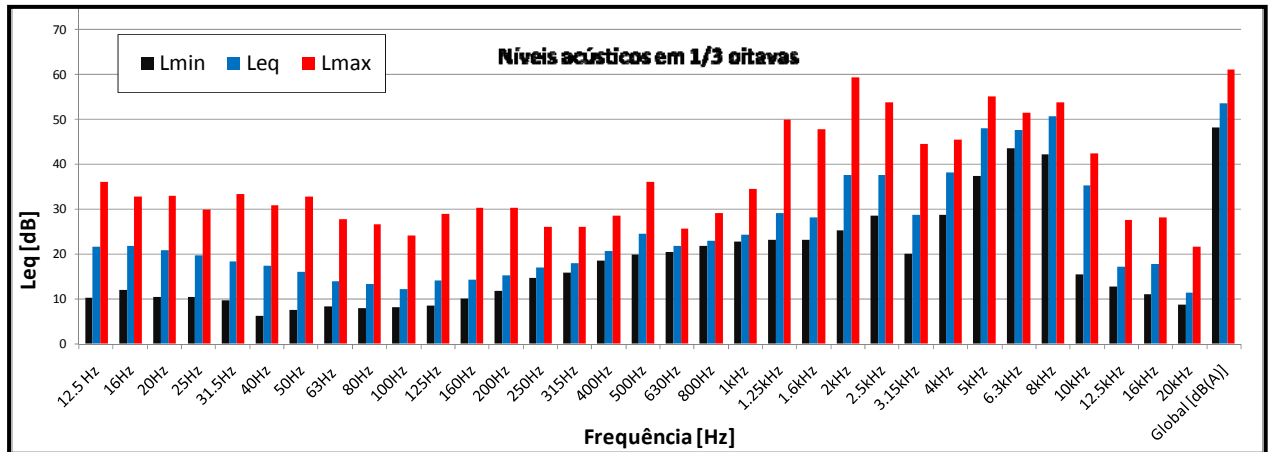


Figura B.26.2 - Gráfico da variação temporal dos níveis acústicos em 1/3 oitavas para o Ponto **RVB-06** localizado no entorno das futuras instalações da Mina do Alemão. Período: **Vespertino**.

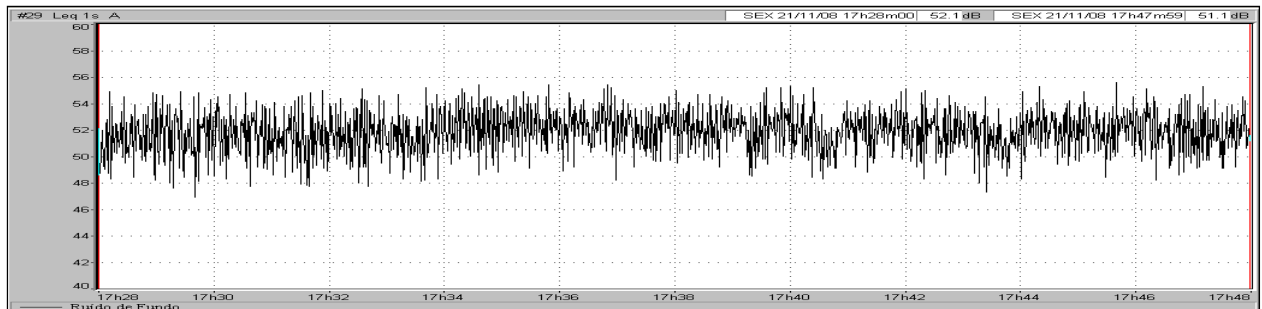


Figura B.27.1 - Gráfico da variação temporal do L_{Aeq} para o Ponto **RVB-07** localizado no entorno das futuras instalações da Mina do Alemão. Período **Vespertino**.

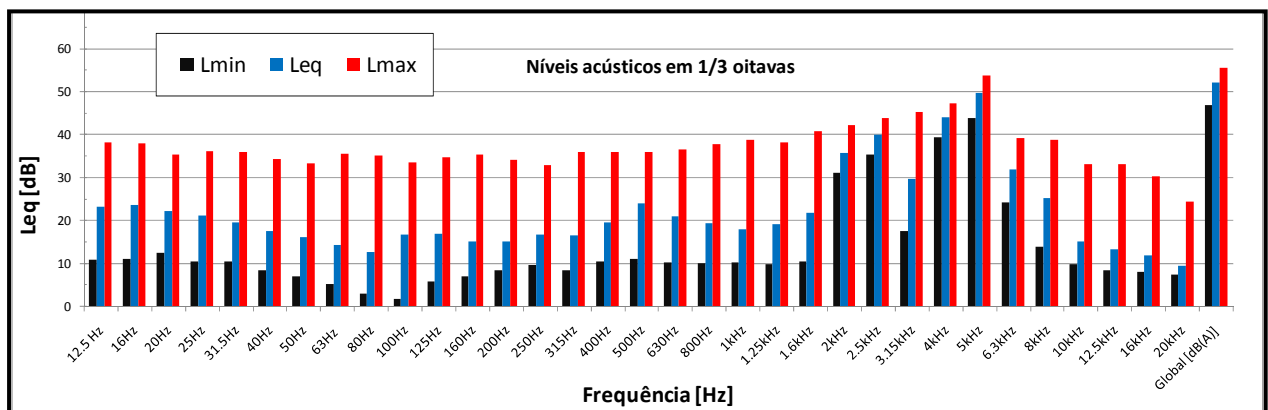


Figura B.27.2 - Gráfico da variação temporal dos níveis acústicos em 1/3 oitavas para o Ponto **RVB-07** localizado no entorno das futuras instalações da Mina do Alemão. Período: **Vespertino**.

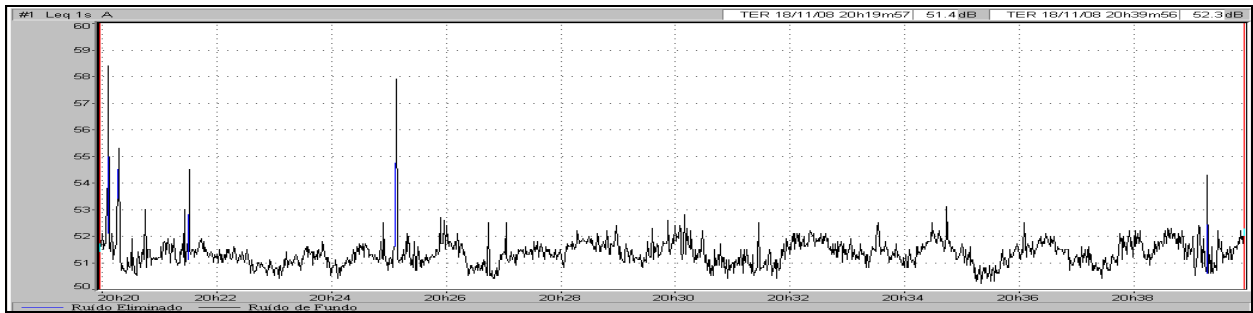


Figura B.28.1 - Gráfico da variação temporal do L_{Aeq} para o Ponto **RVB-08** localizado no entorno das futuras instalações da Mina do Alemão. Período **Vespertino**.

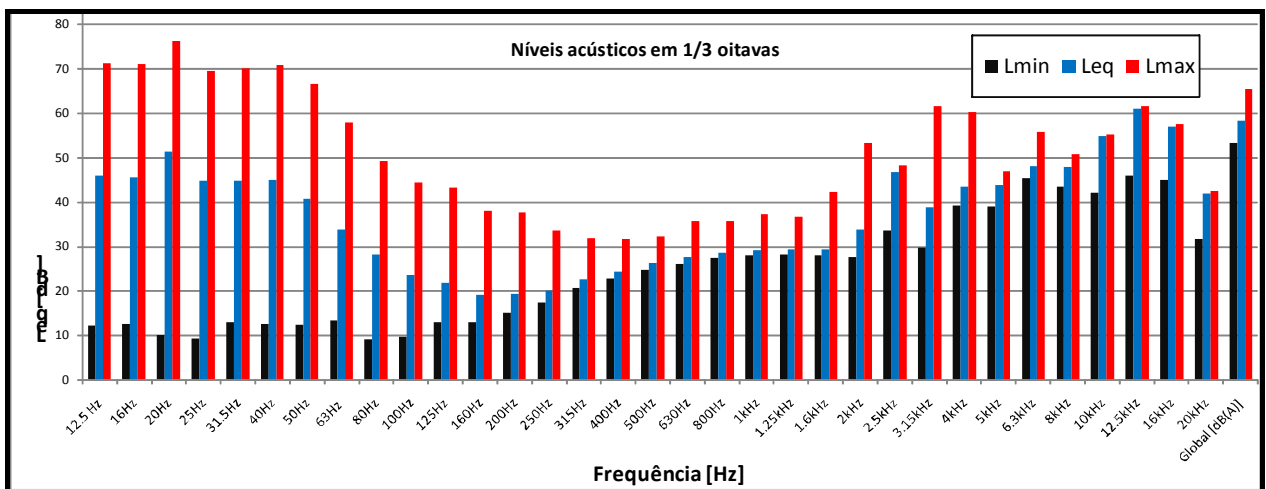


Figura B.28.2 - Gráfico da variação temporal dos níveis acústicos em 1/3 oitavas para o Ponto **RVB-08** localizado no entorno das futuras instalações da Mina do Alemão. Período: **Vespertino**.

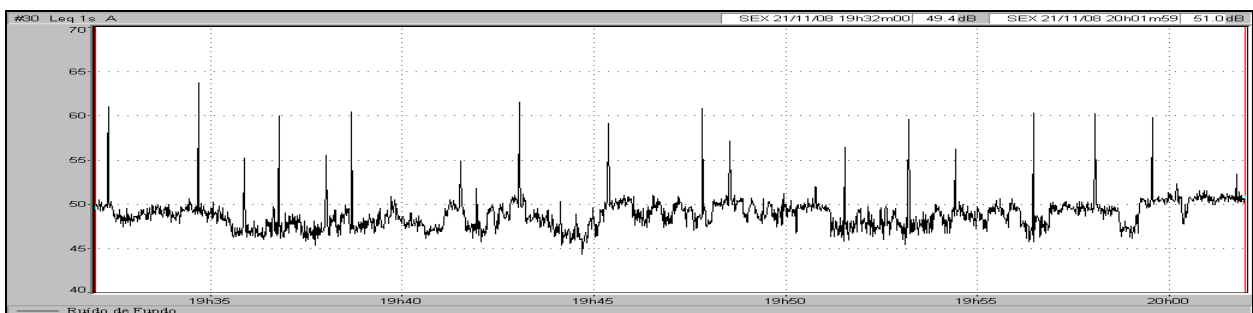


Figura B.29.1 - Gráfico da variação temporal do L_{Aeq} para o Ponto **RVB-09** localizado no entorno das futuras instalações da Mina do Alemão. Período **Vespertino**.

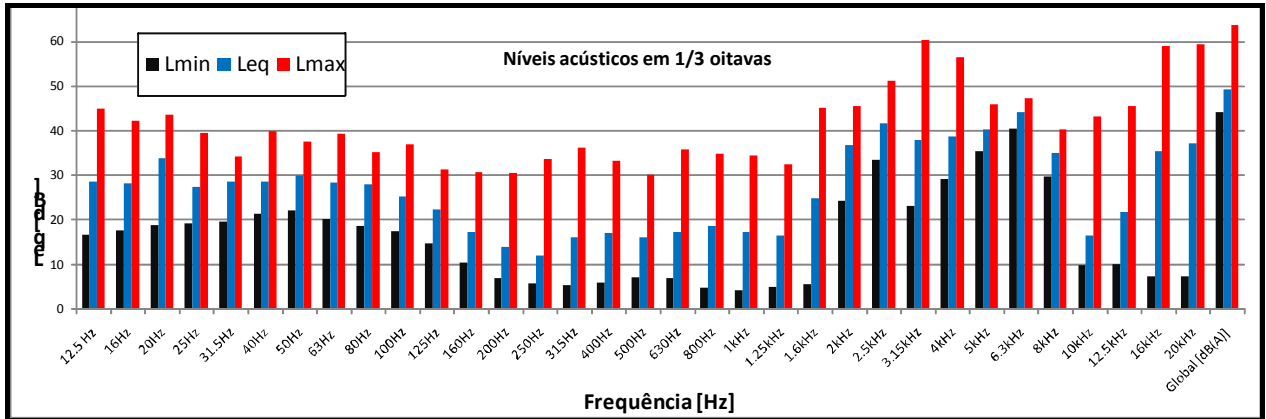


Figura B.29.2 - Gráfico da variação temporal dos níveis acústicos em 1/3 oitavas para o Ponto **RVB-09** localizado no entorno das futuras instalações da Mina do Alemão. Período: **Vespertino**.

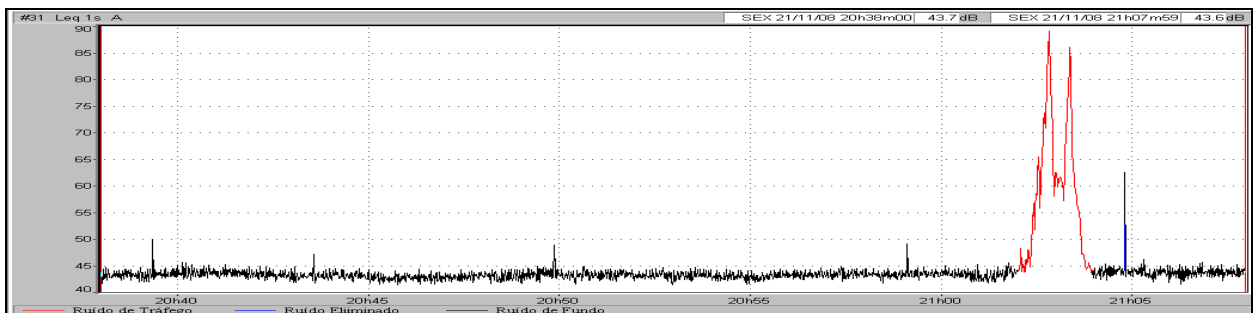


Figura B.30.1 - Gráfico da variação temporal do L_{Aeq} para o Ponto **RVB-10** localizado no entorno das futuras instalações da Mina do Alemão. Período **Vespertino**.

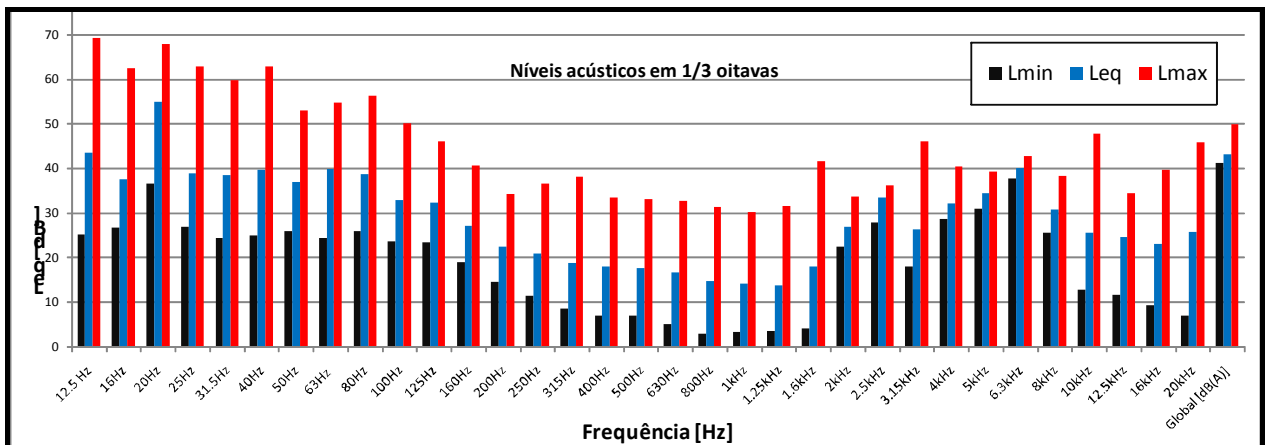


Figura B.30.2 - Gráfico da variação temporal dos níveis acústicos em 1/3 oitavas para o Ponto **RVB-10** localizado no entorno das futuras instalações da Mina do Alemão. Período: **Vespertino**.

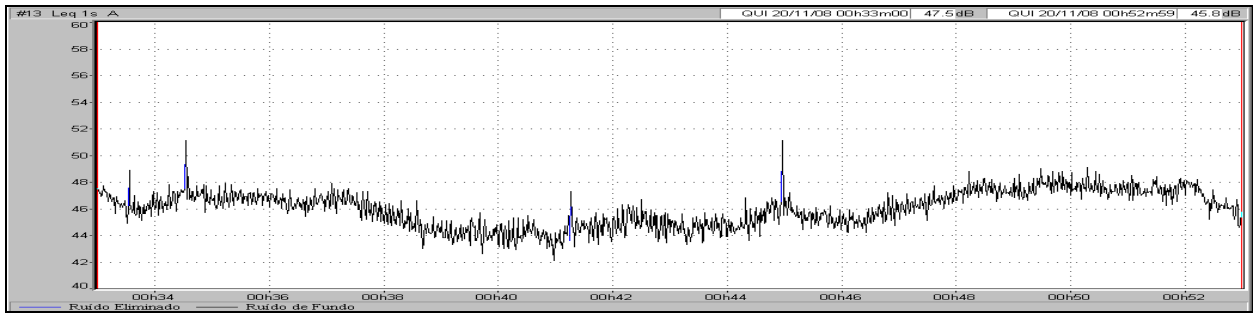


Figura B.31.1 - Gráfico da variação temporal do L_{Aeq} para o Ponto **RVB-01** localizado no entorno das futuras instalações da Mina do Alemão. Período **Noturno**.

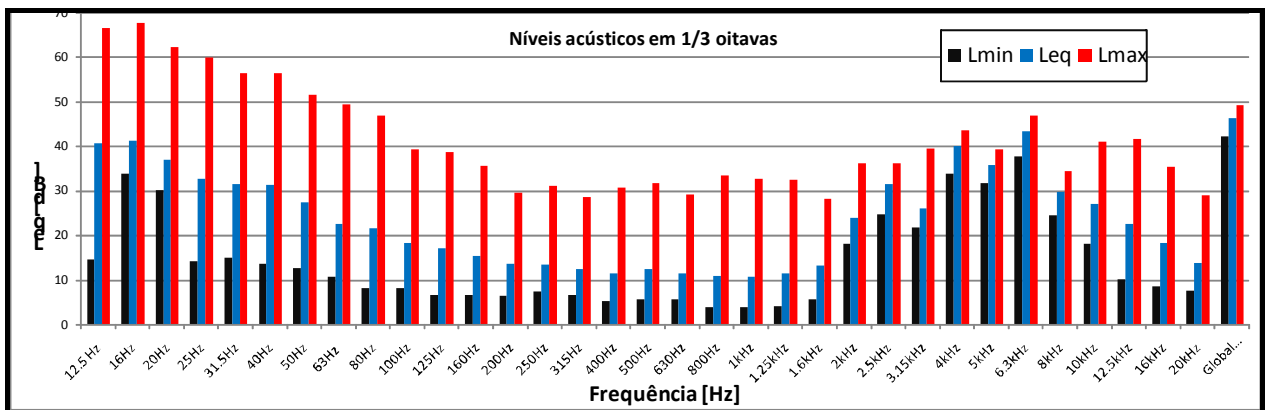


Figura B.31.2 - Gráfico da variação temporal dos níveis acústicos em 1/3 oitavas para o Ponto **RVB-01** localizado no entorno das futuras instalações da Mina do Alemão. Período: **Noturno**.

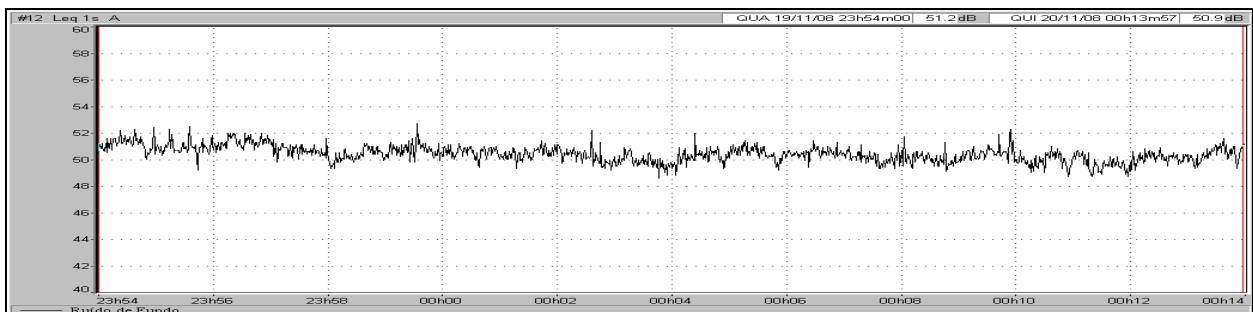


Figura B.32.1 - Gráfico da variação temporal do L_{Aeq} para o Ponto **RVB-02** localizado no entorno das futuras instalações da Mina do Alemão. Período **Noturno**.

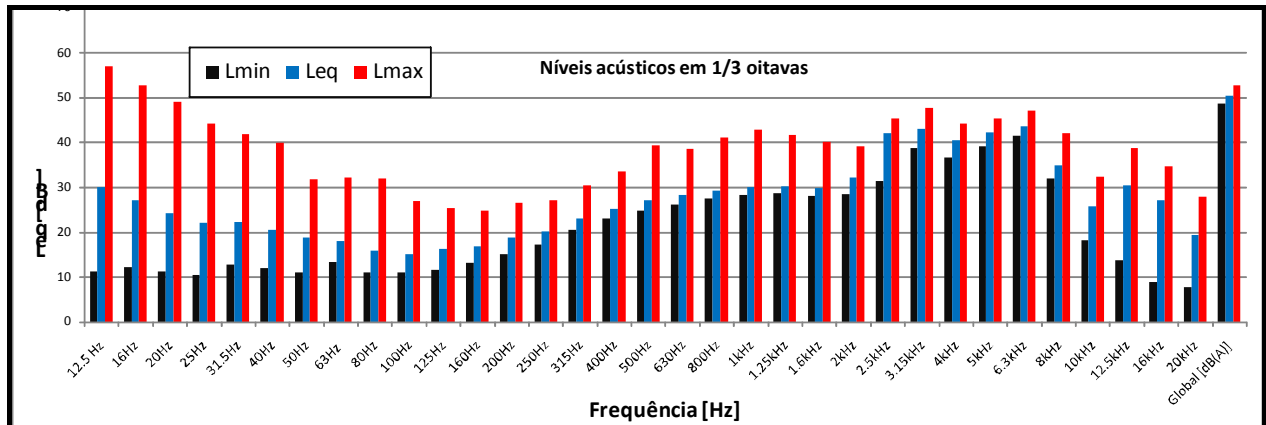


Figura B.32.2 - Gráfico da variação temporal dos níveis acústicos em 1/3 oitavas para o Ponto **RVB-02** localizado no entorno das futuras instalações da Mina do Alemão. Período: **Noturno**.

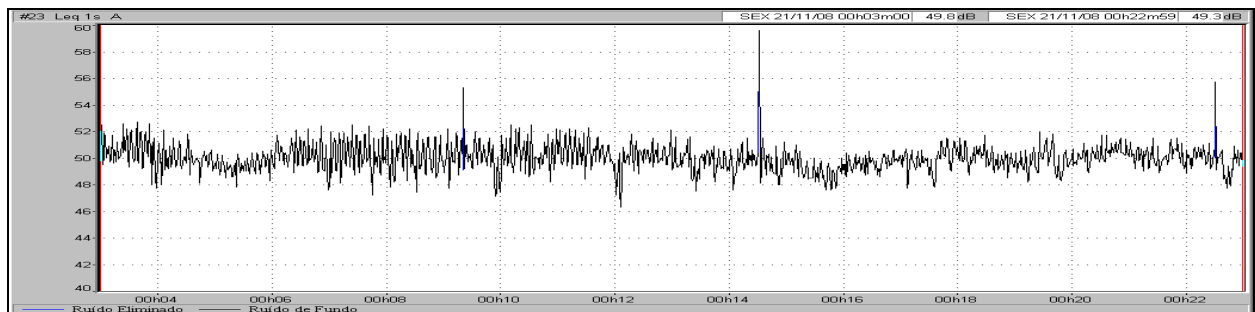


Figura B.33.1 - Gráfico da variação temporal do L_{Aeq} para o Ponto **RVB-03** localizado no entorno das futuras instalações da Mina do Alemão. Período **Noturno**.

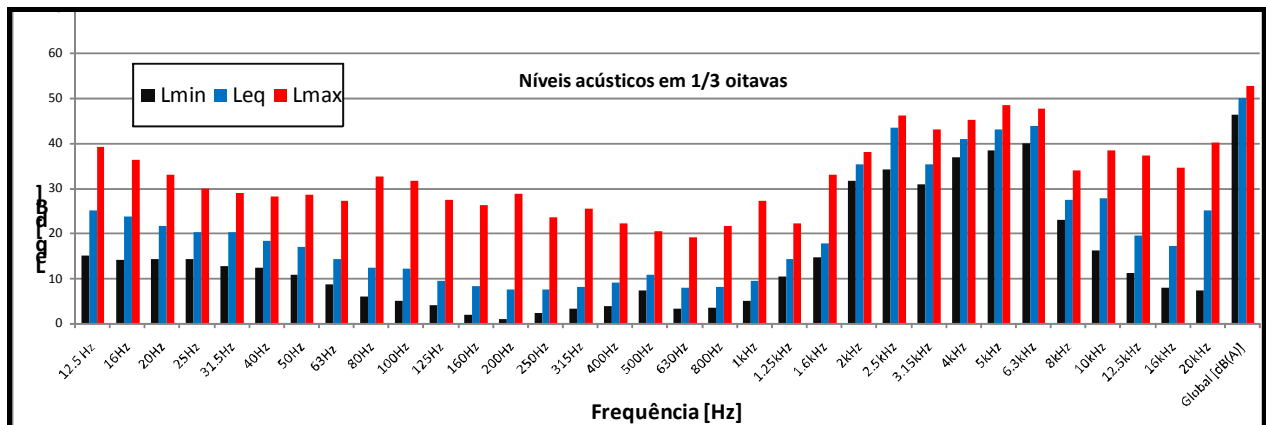


Figura B.33.2 - Gráfico da variação temporal dos níveis acústicos em 1/3 oitavas para o Ponto **RVB-03** localizado no entorno das futuras instalações da Mina do Alemão. Período: **Noturno**.

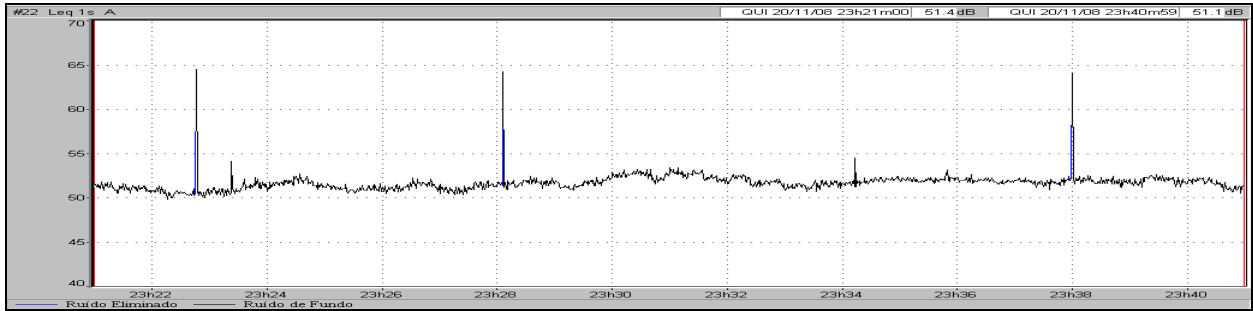


Figura B.34.1 - Gráfico da variação temporal do L_{Aeq} para o Ponto **RVB-04** localizado no entorno das futuras instalações da Mina do Alemão. Período **Noturno**.

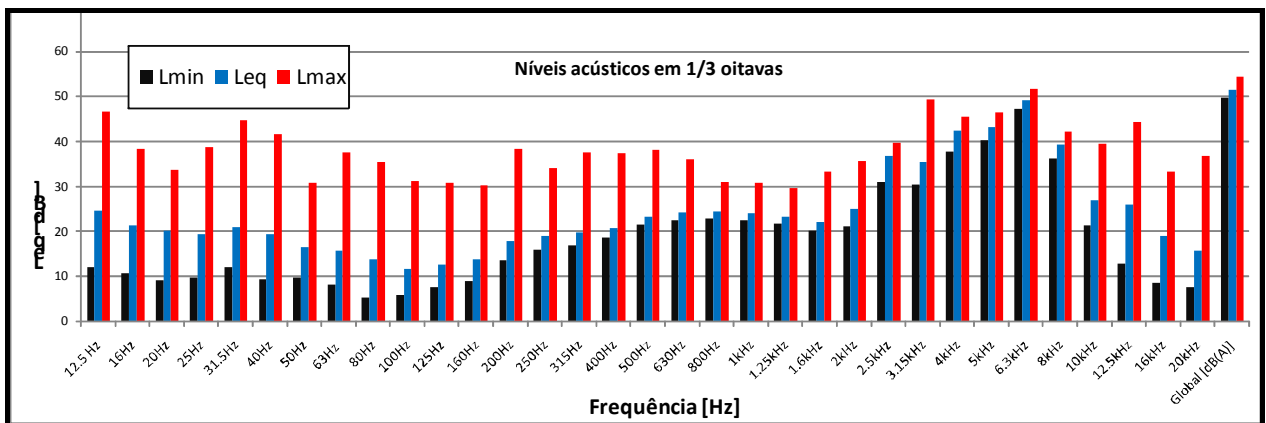


Figura B.34.2 - Gráfico da variação temporal dos níveis acústicos em 1/3 oitavas para o Ponto **RVB-04** localizado no entorno das futuras instalações da Mina do Alemão. Período: **Noturno**.

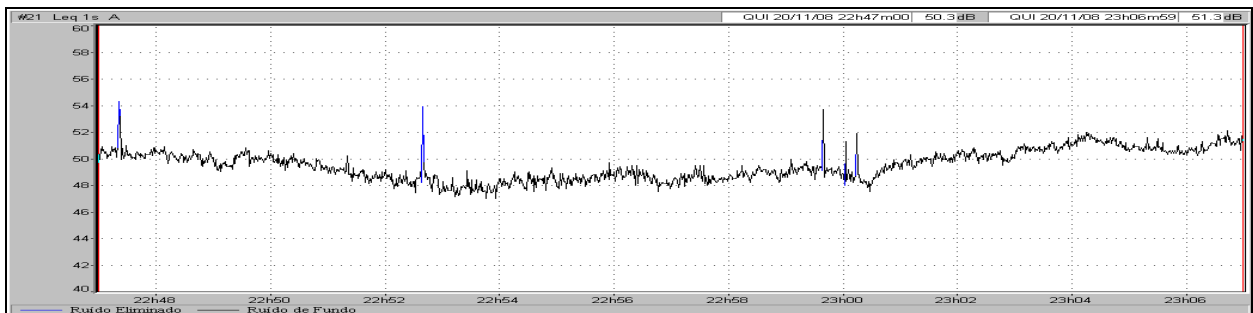


Figura B.35.1 - Gráfico da variação temporal do L_{Aeq} para o Ponto **RVB-05** localizado no entorno das futuras instalações da Mina do Alemão. Período **Noturno**.

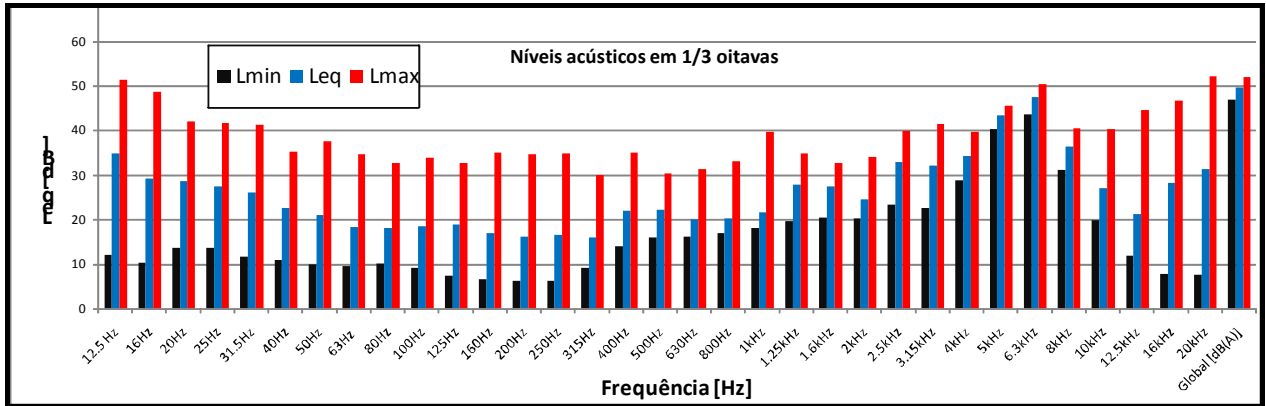


Figura B.35.2 - Gráfico da variação temporal dos níveis acústicos em 1/3 oitavas para o Ponto **RVB-05** localizado no entorno das futuras instalações da Mina do Alemão. Período: **Noturno**.



Figura B.36.1 - Gráfico da variação temporal do L_{Aeq} para o Ponto **RVB-06** localizado no entorno das futuras instalações da Mina do Alemão. Período **Noturno**.

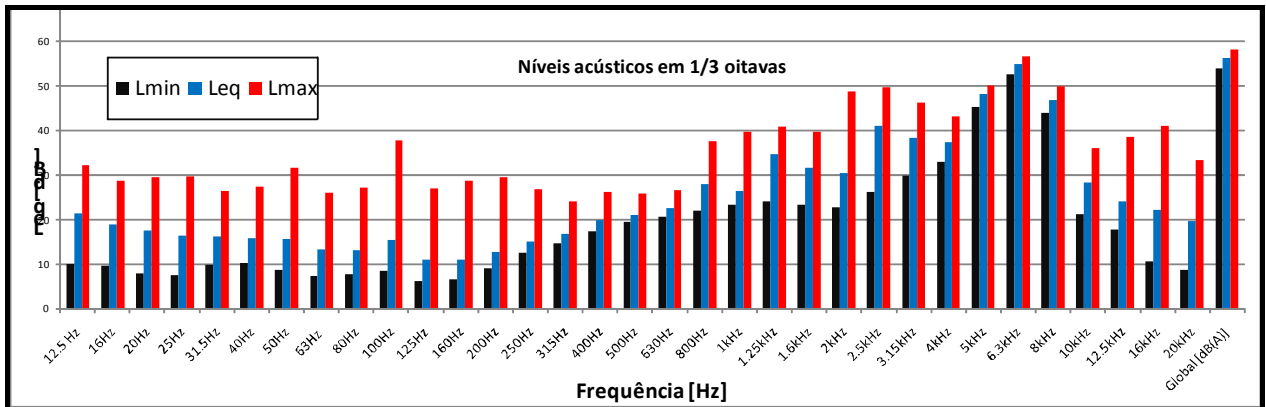


Figura B.36.2 - Gráfico da variação temporal dos níveis acústicos em 1/3 oitavas para o Ponto **RVB-06** localizado no entorno das futuras instalações da Mina do Alemão. Período: **Noturno**.

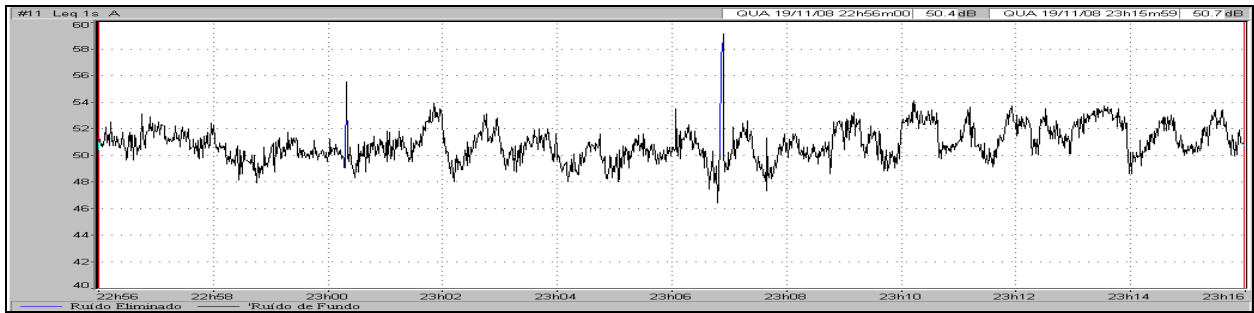


Figura B.37.1 - Gráfico da variação temporal do L_{Aeq} para o Ponto **RVB-07** localizado no entorno das futuras instalações da Mina do Alemão. Período **Noturno**.

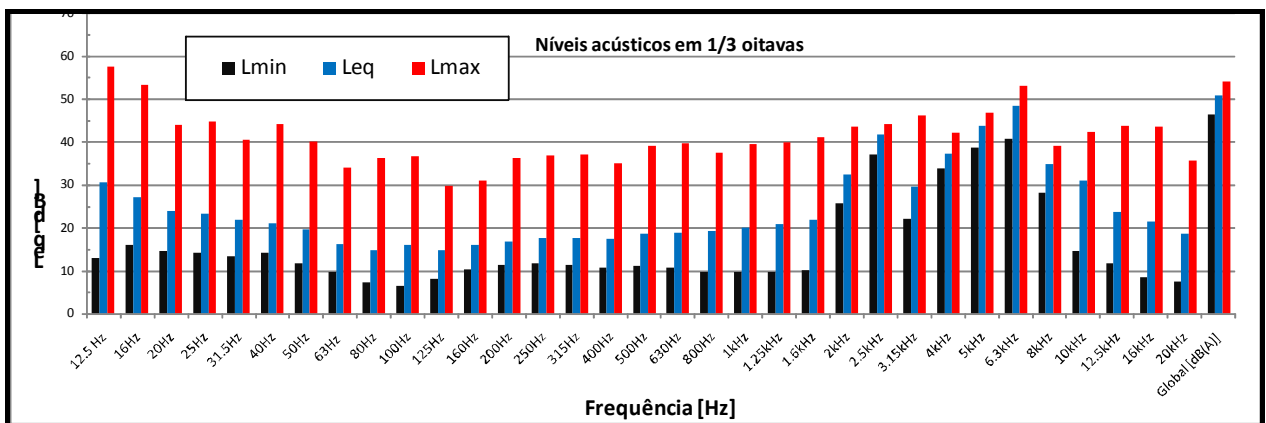


Figura B.37.2 - Gráfico da variação temporal dos níveis acústicos em 1/3 oitavas para o Ponto **RVB-07** localizado no entorno das futuras instalações da Mina do Alemão. Período: **Noturno**.

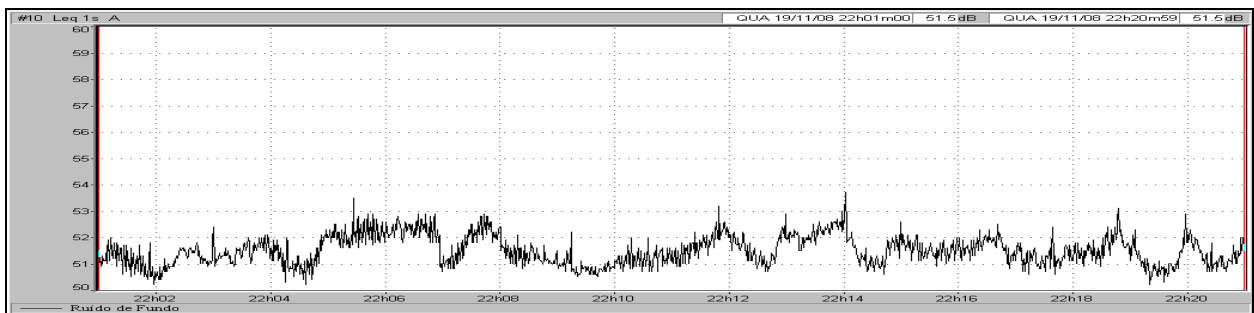


Figura B.38.1 - Gráfico da variação temporal do L_{Aeq} para o Ponto **RVB-08** localizado no entorno das futuras instalações da Mina do Alemão. Período **Noturno**.

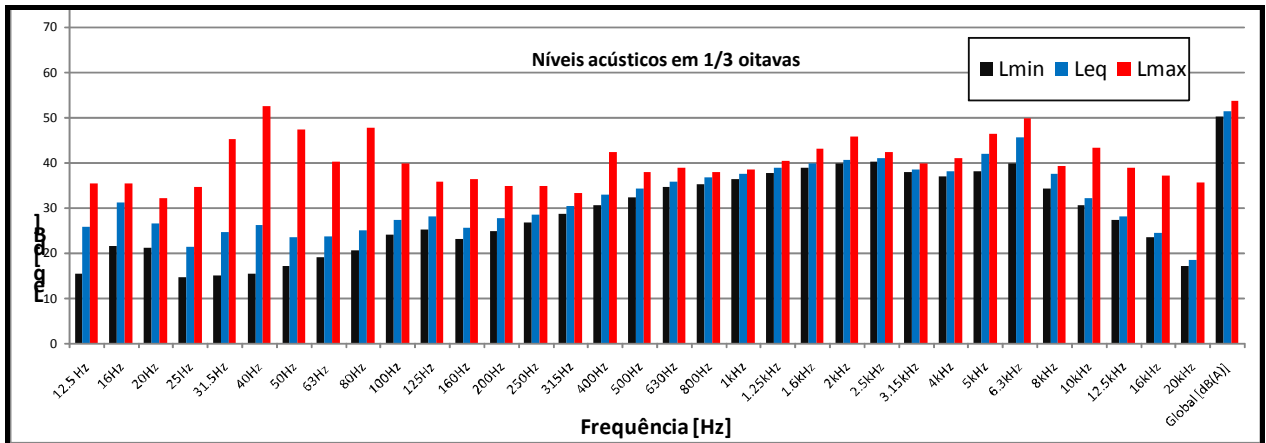


Figura B.38.2 - Gráfico da variação temporal dos níveis acústicos em 1/3 oitavas para o Ponto **RVB-08** localizado no entorno das futuras instalações da Mina do Alemão. Período: **Noturno**.

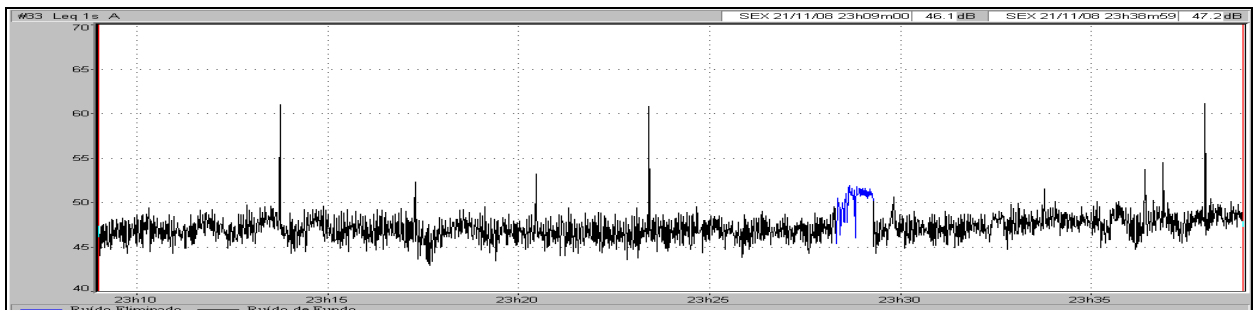


Figura B.39.1 - Gráfico da variação temporal do L_{Aeq} para o Ponto **RVB-09** localizado no entorno das futuras instalações da Mina do Alemão. Período **Noturno**.

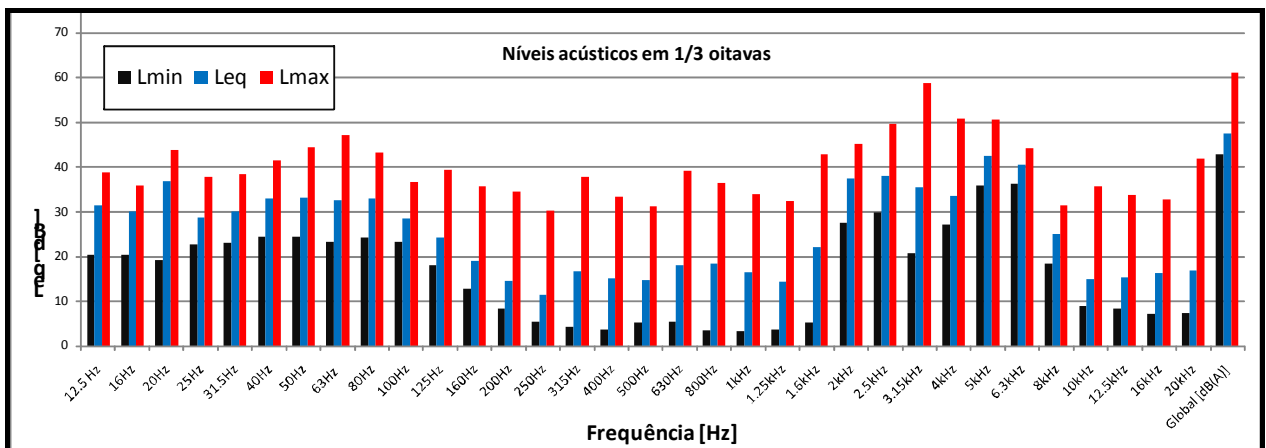


Figura B.39.2 - Gráfico da variação temporal dos níveis acústicos em 1/3 oitavas para o Ponto **RVB-09** localizado no entorno das futuras instalações da Mina do Alemão. Período: **Noturno**.

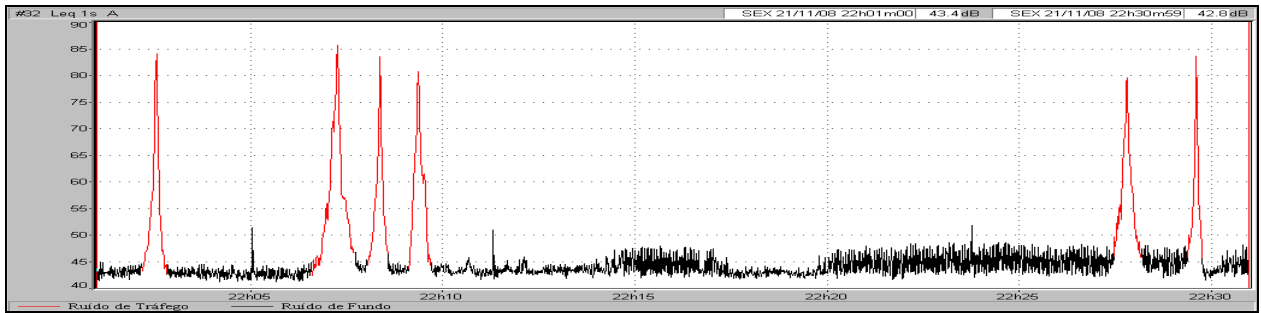


Figura B.40.1 - Gráfico da variação temporal do L_{Aeq} para o Ponto **RVB-10** localizado no entorno das futuras instalações da Mina do Alemão. Período **Noturno**.

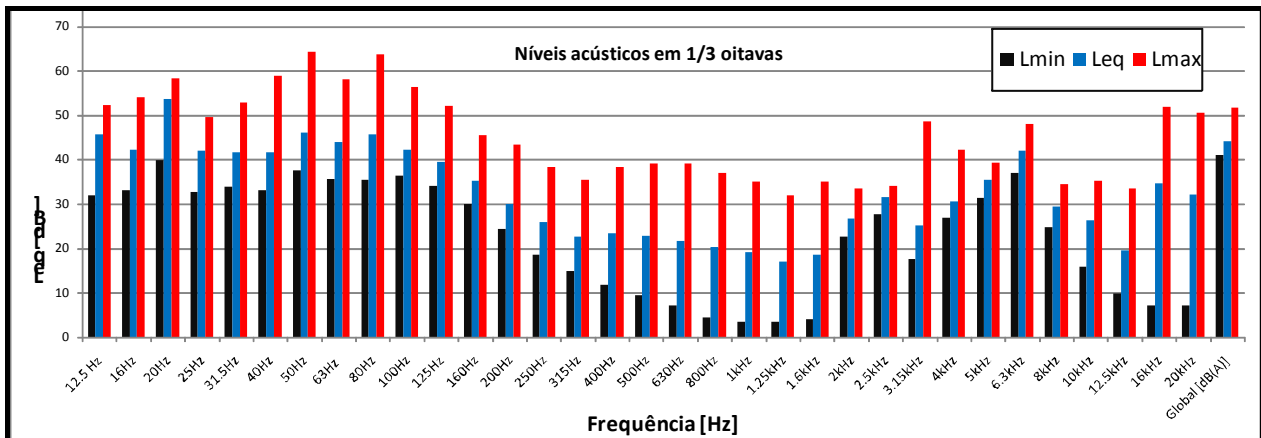


Figura B.40.2 - Gráfico da variação temporal dos níveis acústicos em 1/3 oitavas para o Ponto **RVB-10** localizado no entorno das futuras instalações da Mina do Alemão. Período: **Noturno**.

GRÁFICOS DAS MEDIÇÕES DE VELOCIDADE DE PARTÍCULA NO TEMPO

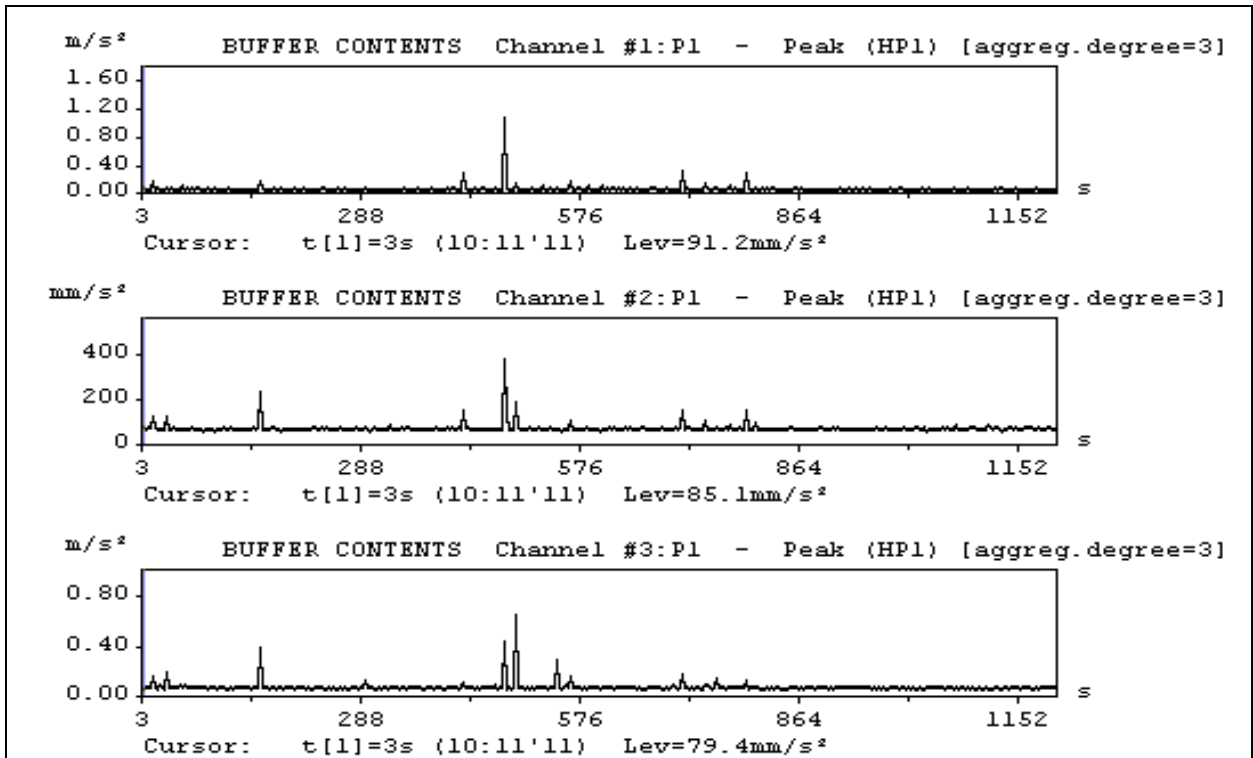


Figura C.1 - Gráficos da variação temporal da velocidade de partícula nos eixos x, y e z para o ponto **RVB-01**. Período: **Diurno-Manhã**.

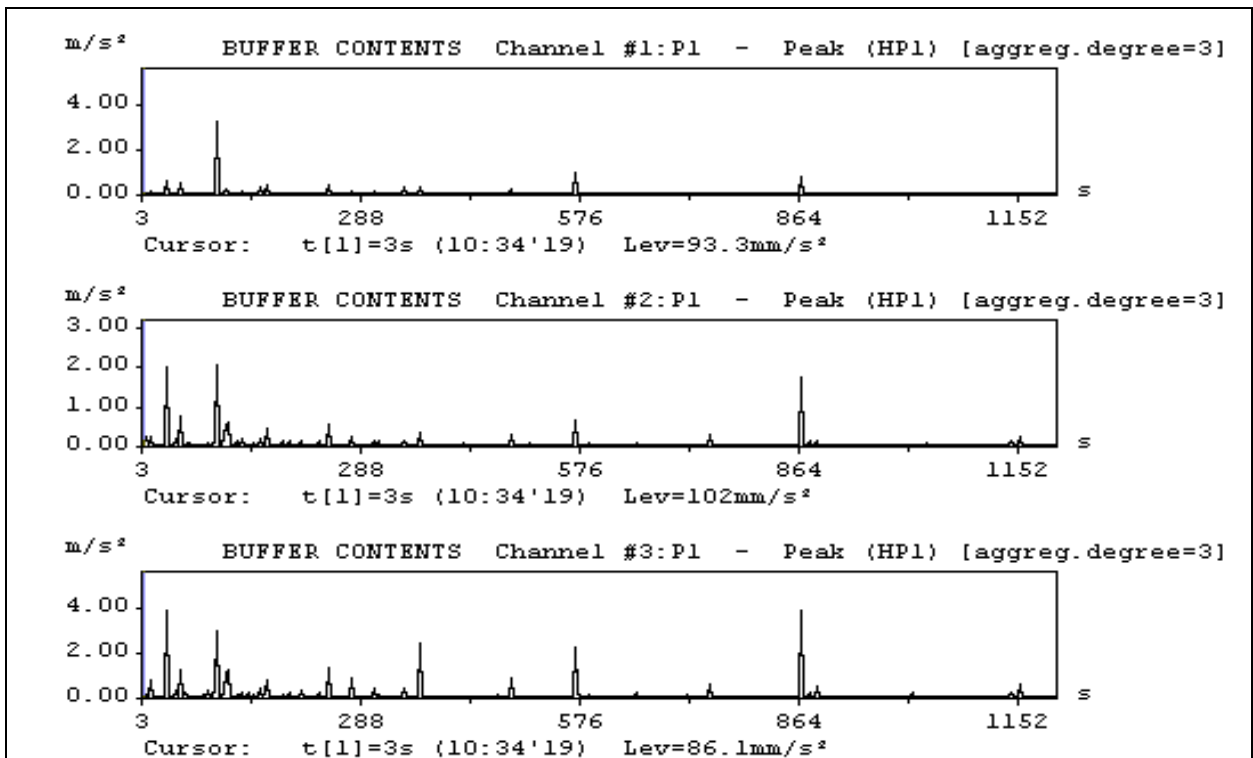


Figura C.2 - Gráficos da variação temporal da velocidade de partícula nos eixos x, y e z para o ponto **RVB-02**. Período: **Diurno-Manhã**.

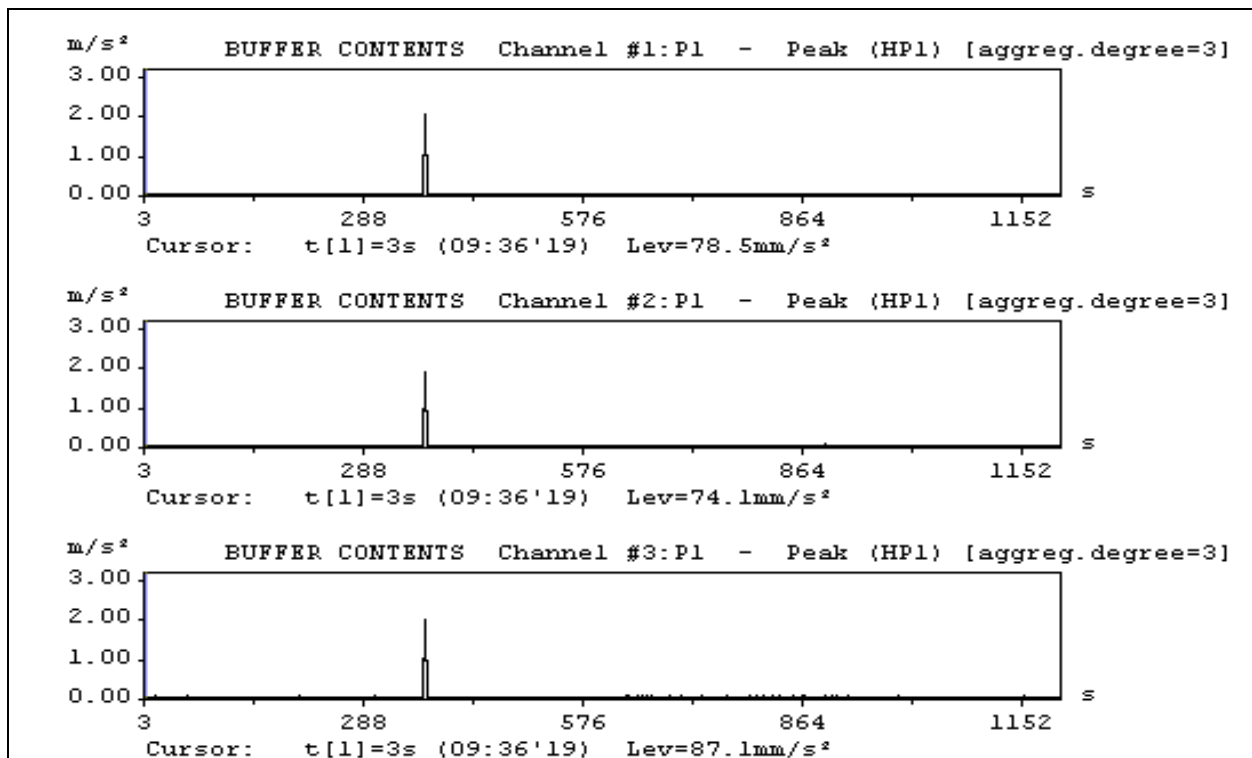


Figura C.3 - Gráficos da variação temporal da velocidade de partícula nos eixos x, y e z para o ponto **RVB-03**. Período: **Diurno-Manhã**.

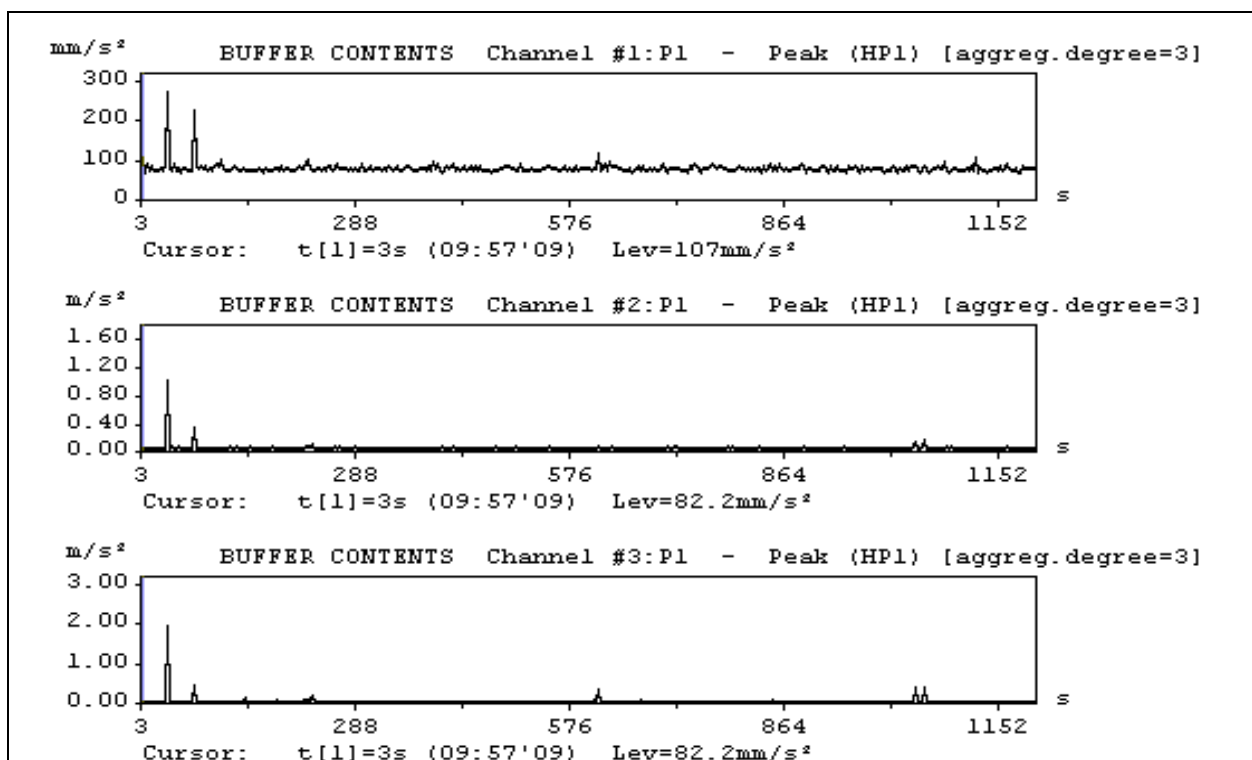


Figura C.4 - Gráficos da variação temporal da velocidade de partícula nos eixos x, y e z para o ponto **RVB-04**. Período: **Diurno-Manhã**.

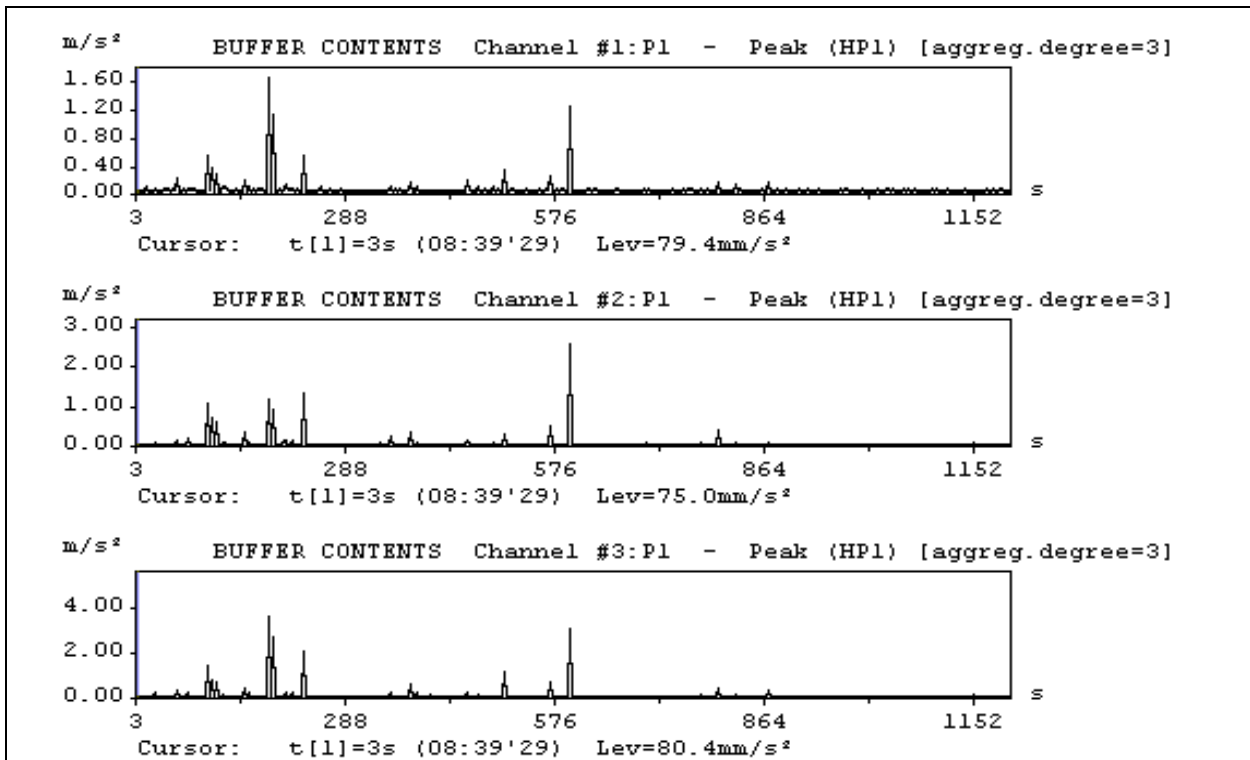


Figura C.5 - Gráficos da variação temporal da velocidade de partícula nos eixos x, y e z para o ponto **RVB-05**. Período: **Diurno-Manhã**.

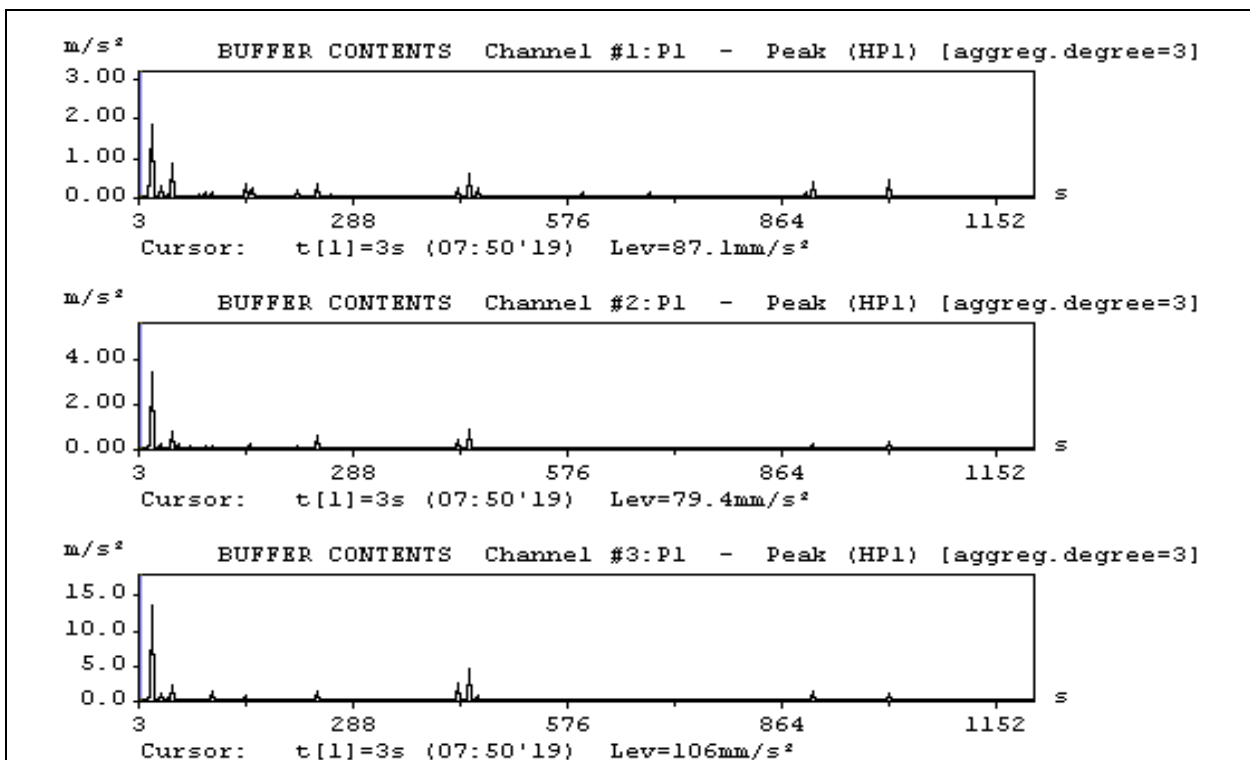


Figura C.6 - Gráficos da variação temporal da velocidade de partícula nos eixos x, y e z para o ponto **RVB-06**. Período: **Diurno-Manhã**.

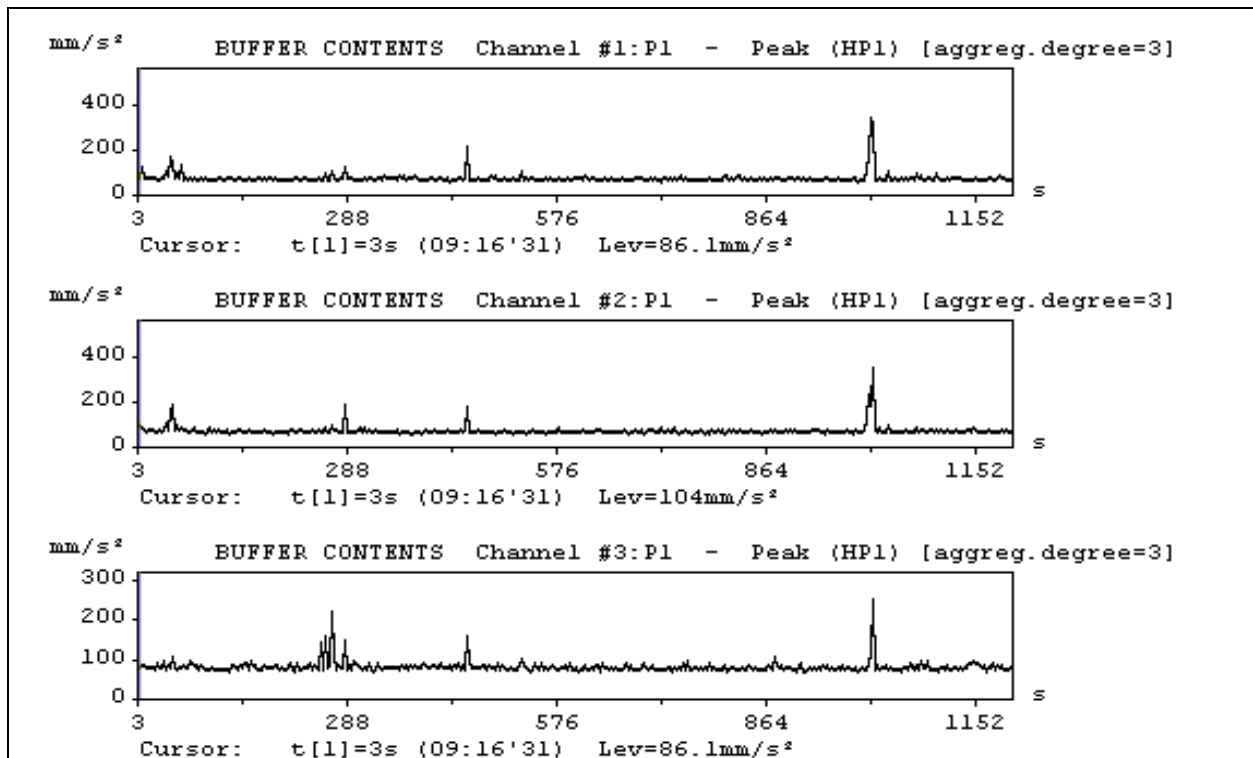


Figura C.7 - Gráficos da variação temporal da velocidade de partícula nos eixos x, y e z para o ponto **RVB-07**. Período: **Diurno-Manhã**.

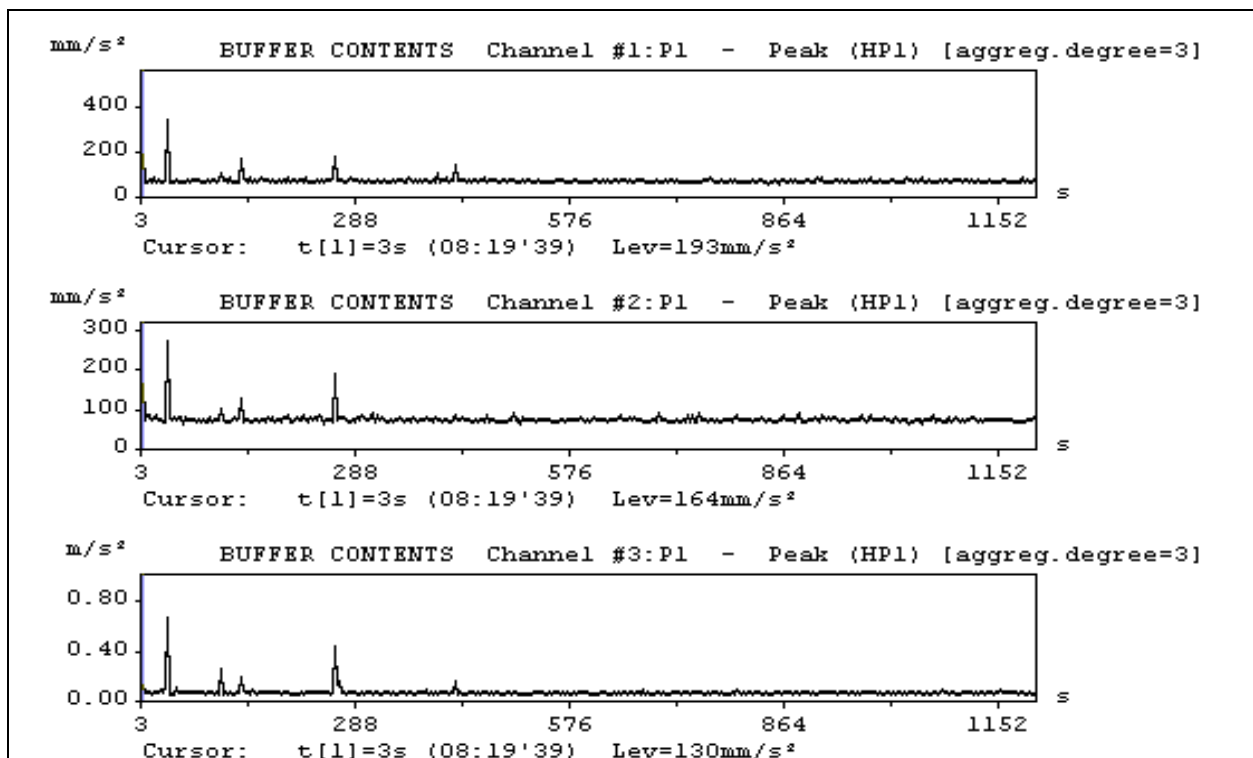


Figura C.8 - Gráficos da variação temporal da velocidade de partícula nos eixos x, y e z para o ponto **RVB-08**. Período: **Diurno-Manhã**.

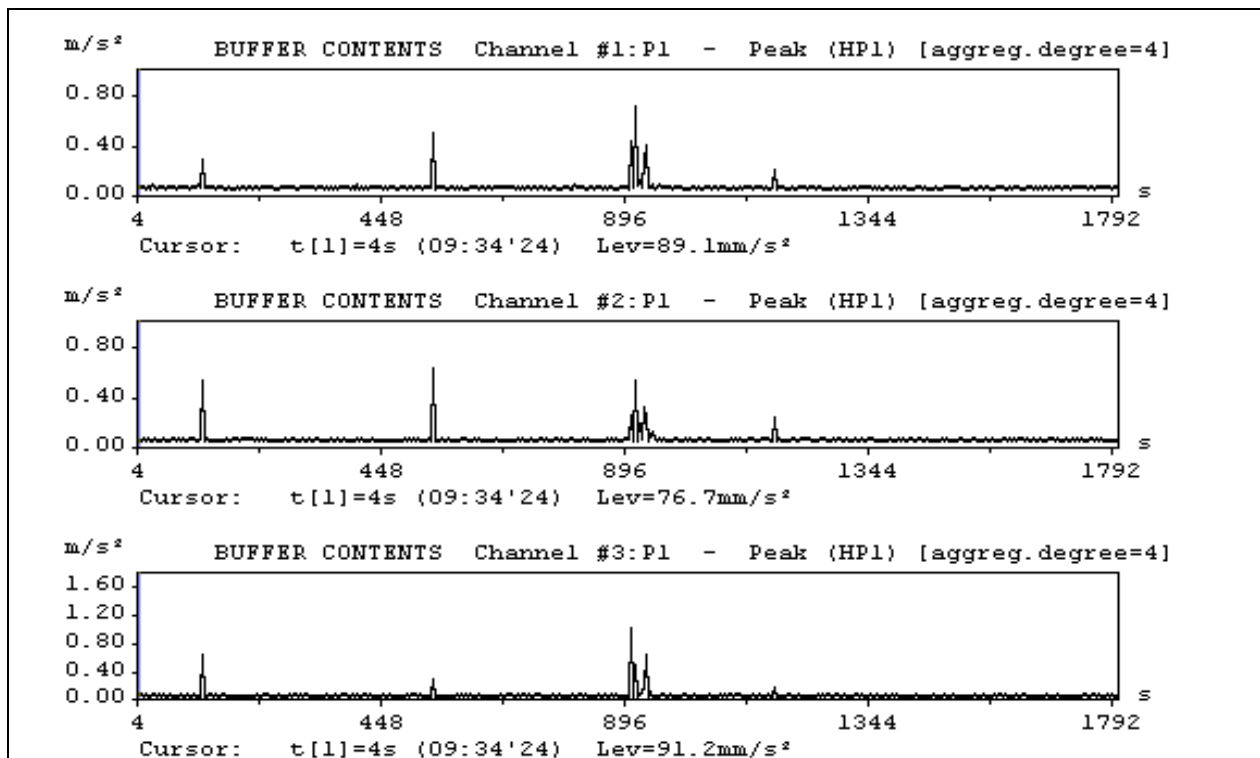


Figura C.9 - Gráficos da variação temporal da velocidade de partícula nos eixos x, y e z para o ponto **RVB-09**. Período: **Diurno-Manhã**.

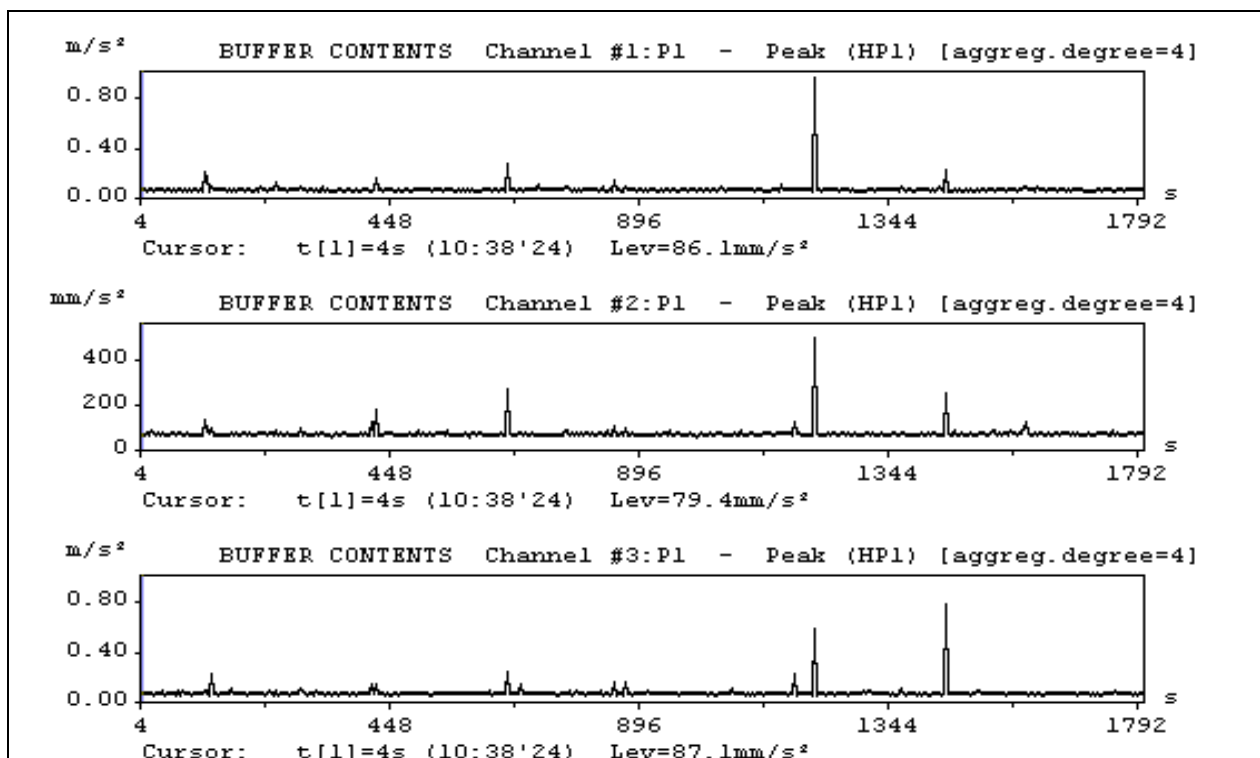


Figura C.10 - Gráficos da variação temporal da velocidade de partícula nos eixos x, y e z para o ponto **RVB-10**. Período: **Diurno-Manhã**.

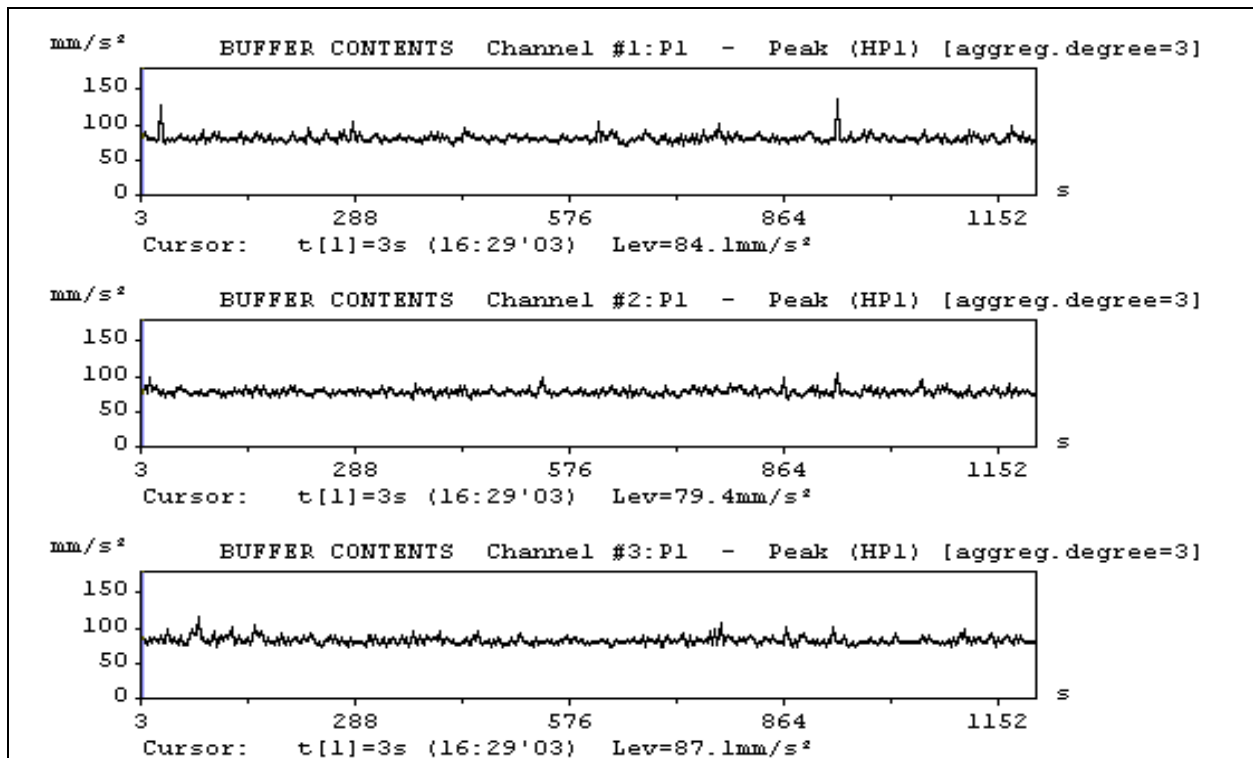


Figura C.11 - Gráficos da variação temporal da velocidade de partícula nos eixos x, y e z para o ponto **RVB-01**. Período: **Diurno-Tarde**.

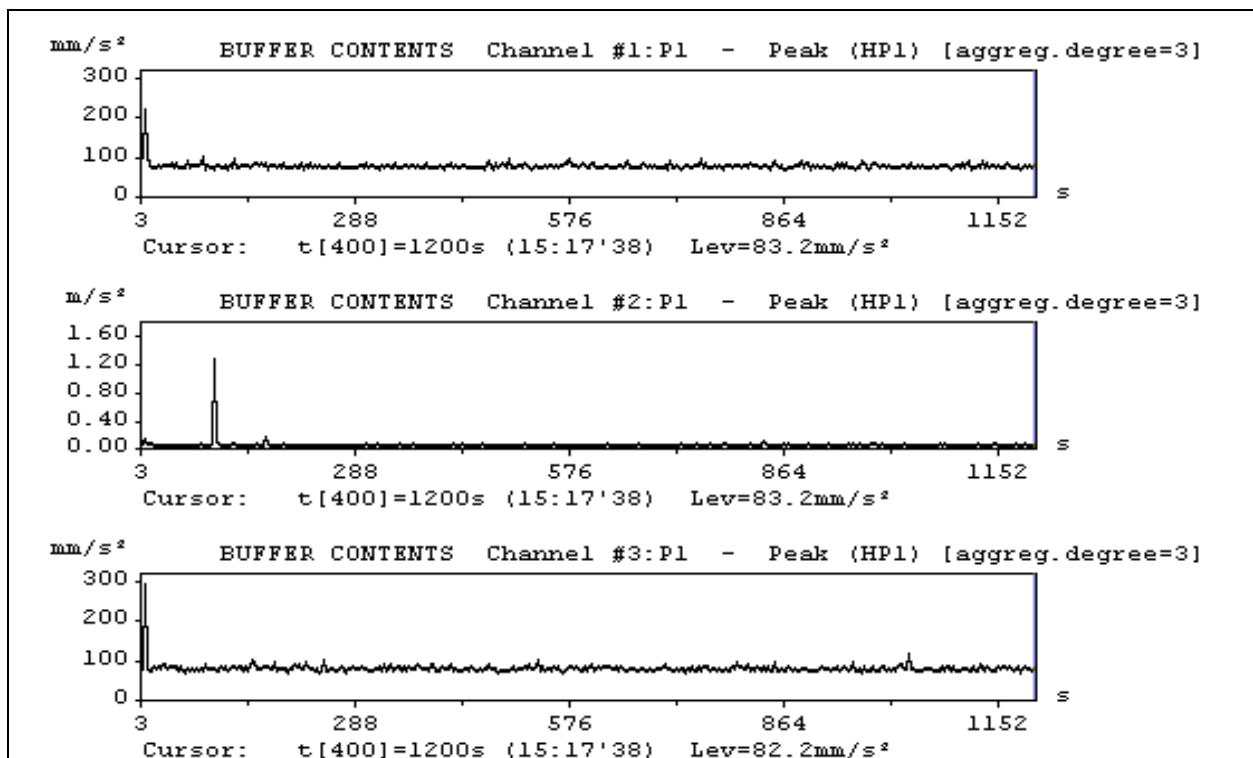


Figura C.12 - Gráficos da variação temporal da velocidade de partícula nos eixos x, y e z para o ponto **RVB-02**. Período: **Diurno-Tarde**.

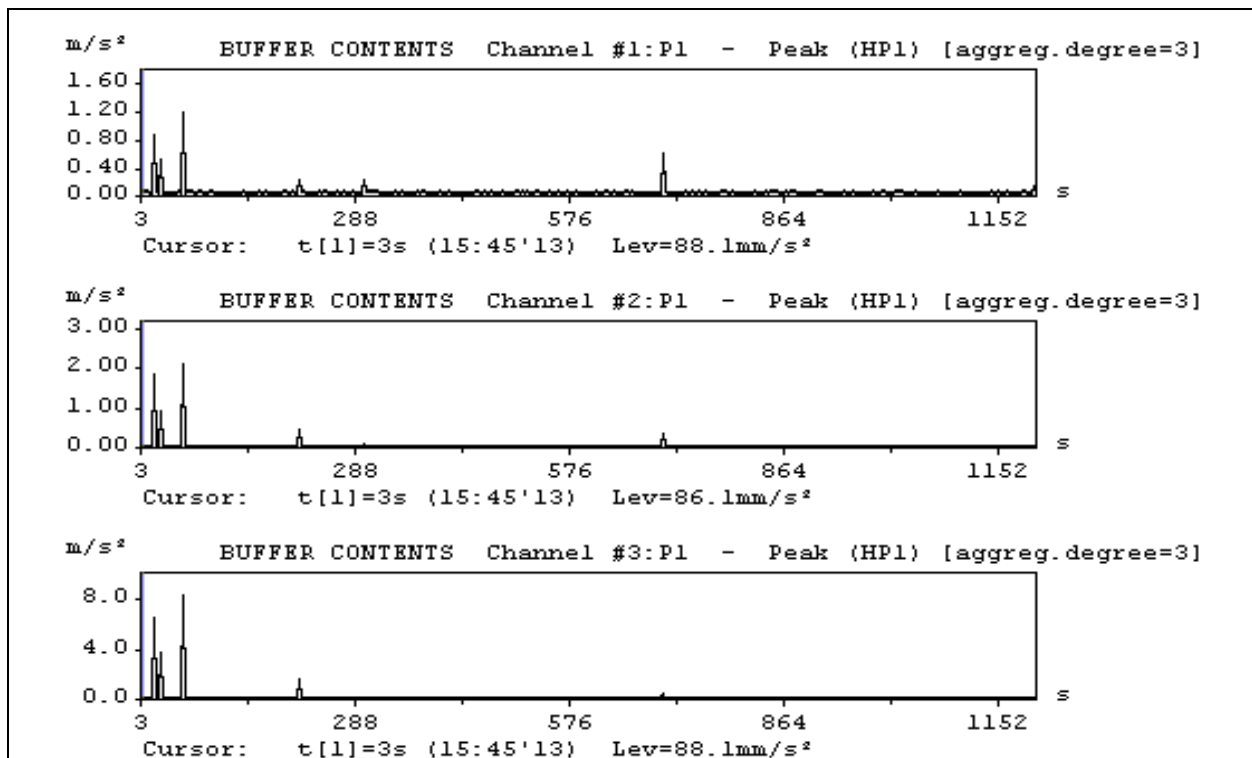


Figura C.13 - Gráficos da variação temporal da velocidade de partícula nos eixos x, y e z para o ponto **RVB-03**. Período: **Diurno-Tarde**.

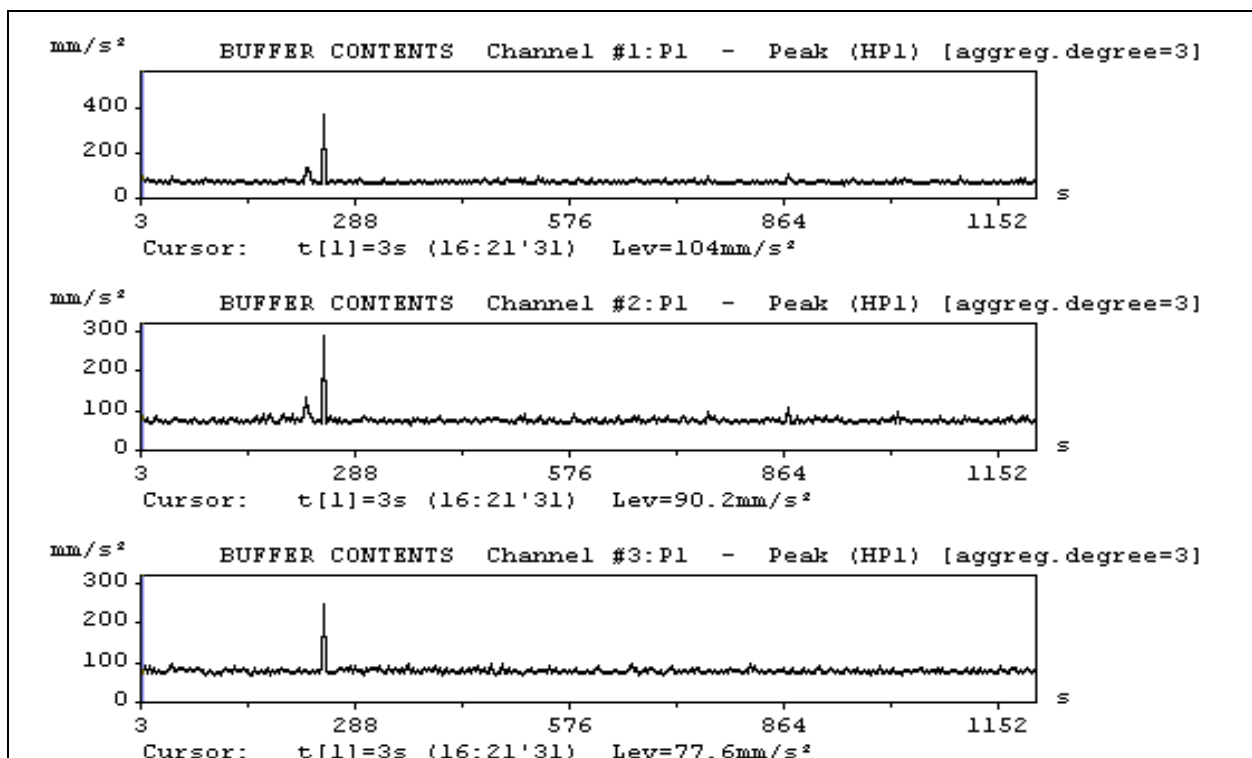


Figura C.14 - Gráficos da variação temporal da velocidade de partícula nos eixos x, y e z para o ponto **RVB-04**. Período: **Diurno-Tarde**.

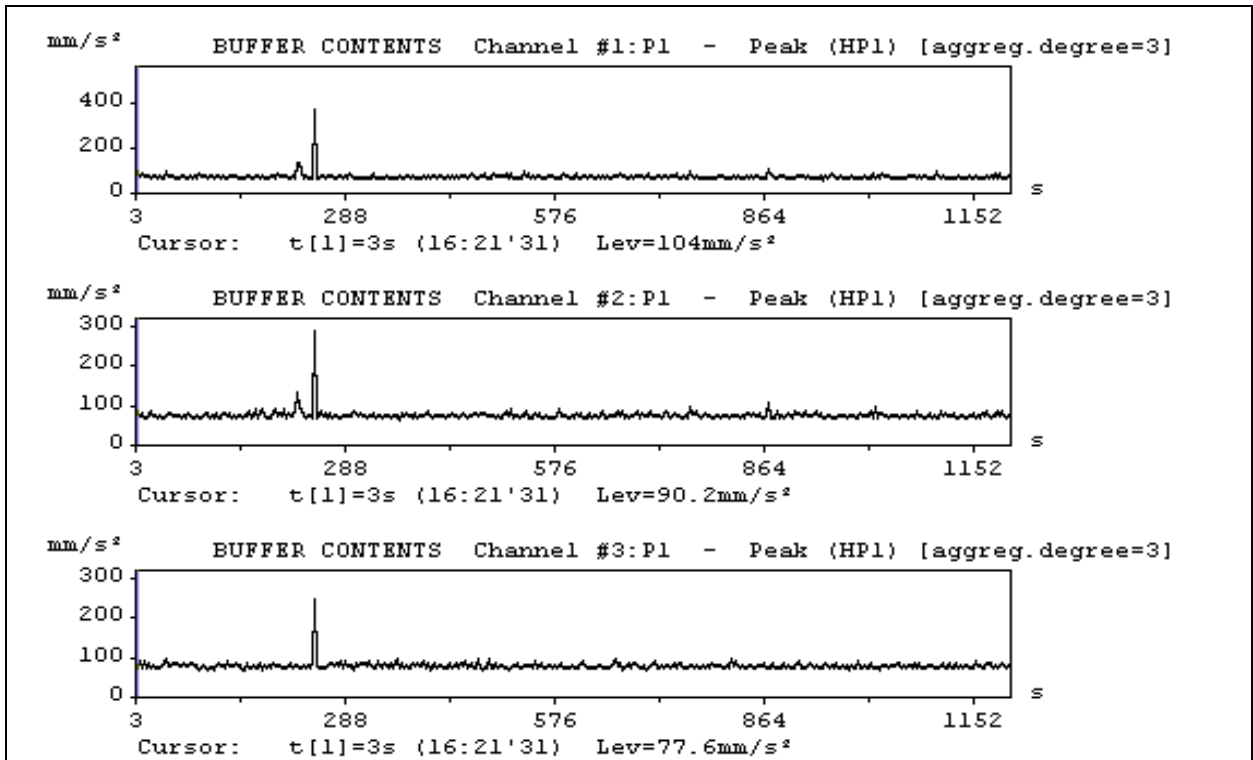


Figura C.15 - Gráficos da variação temporal da velocidade de partícula nos eixos x, y e z para o ponto **RVB-05**. Período: **Diurno-Tarde**.

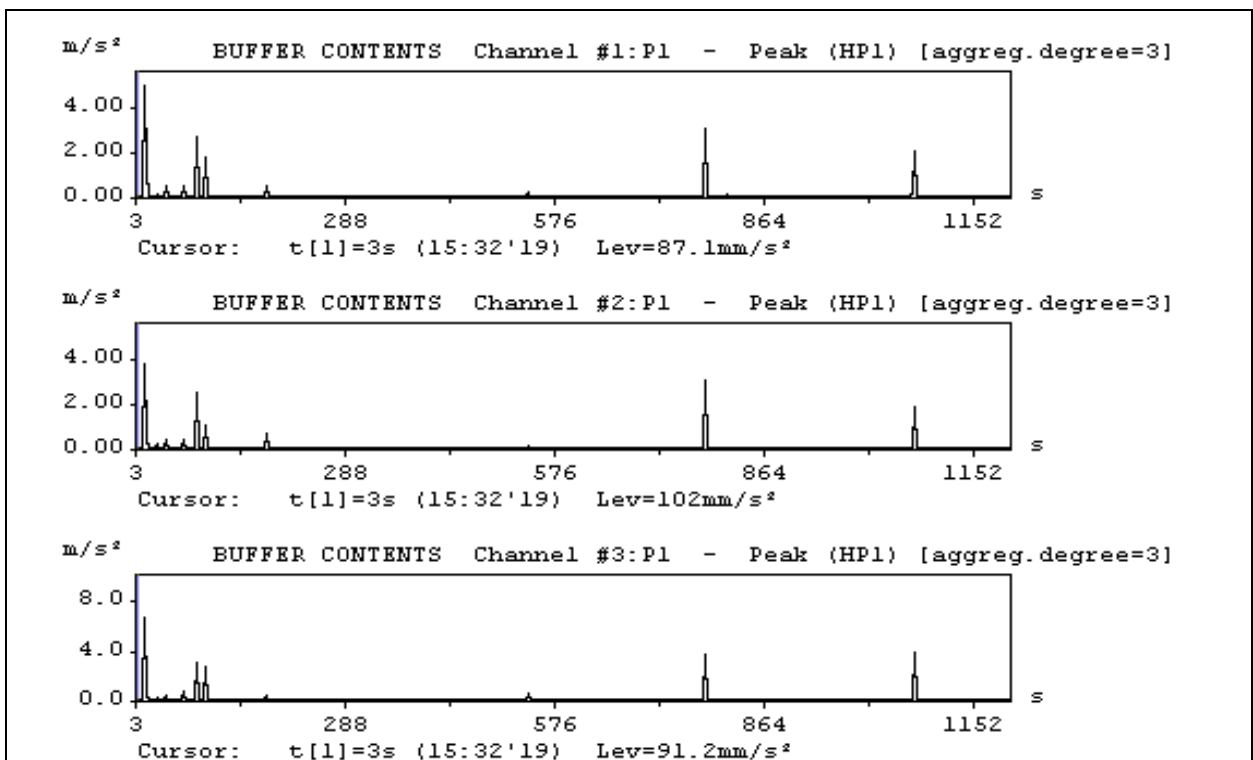


Figura C.16 - Gráficos da variação temporal da velocidade de partícula nos eixos x, y e z para o ponto **RVB-06**. Período: **Diurno-Tarde**.

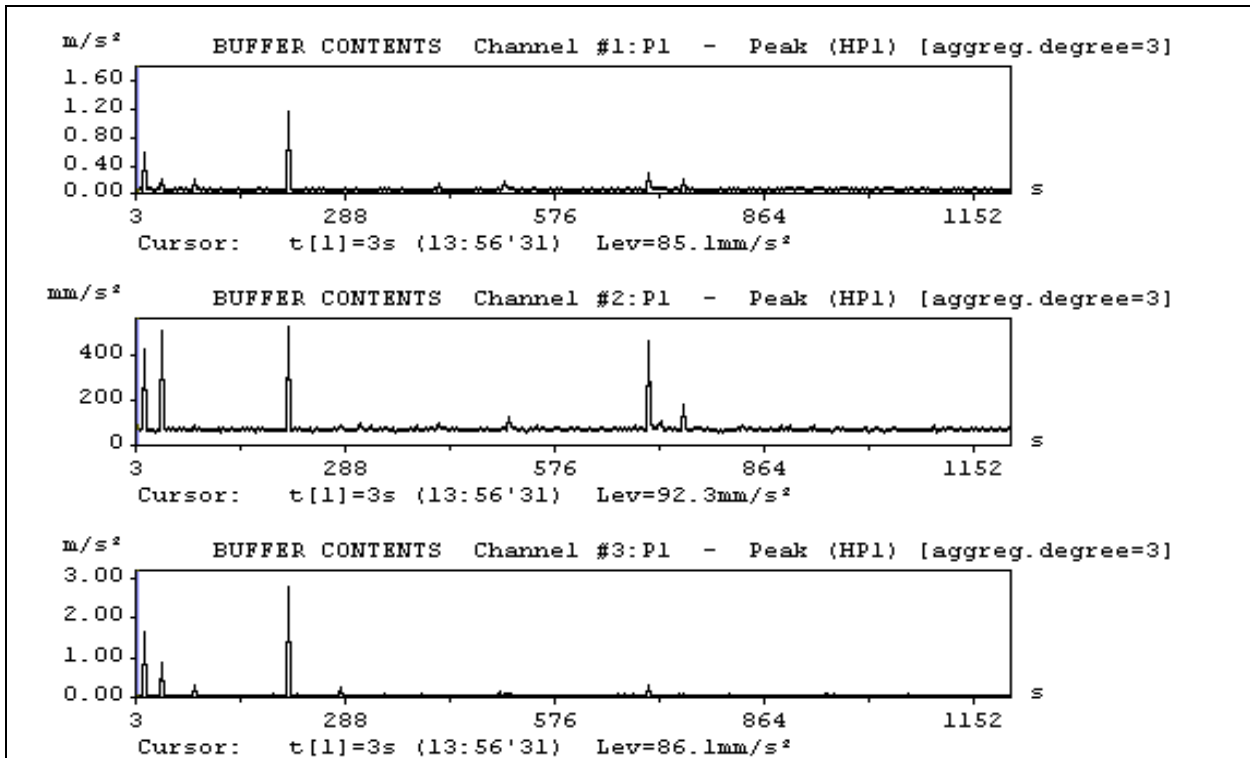


Figura C.17 - Gráficos da variação temporal da velocidade de partícula nos eixos x, y e z para o ponto **RVB-07**. Período: **Diurno-Tarde**.

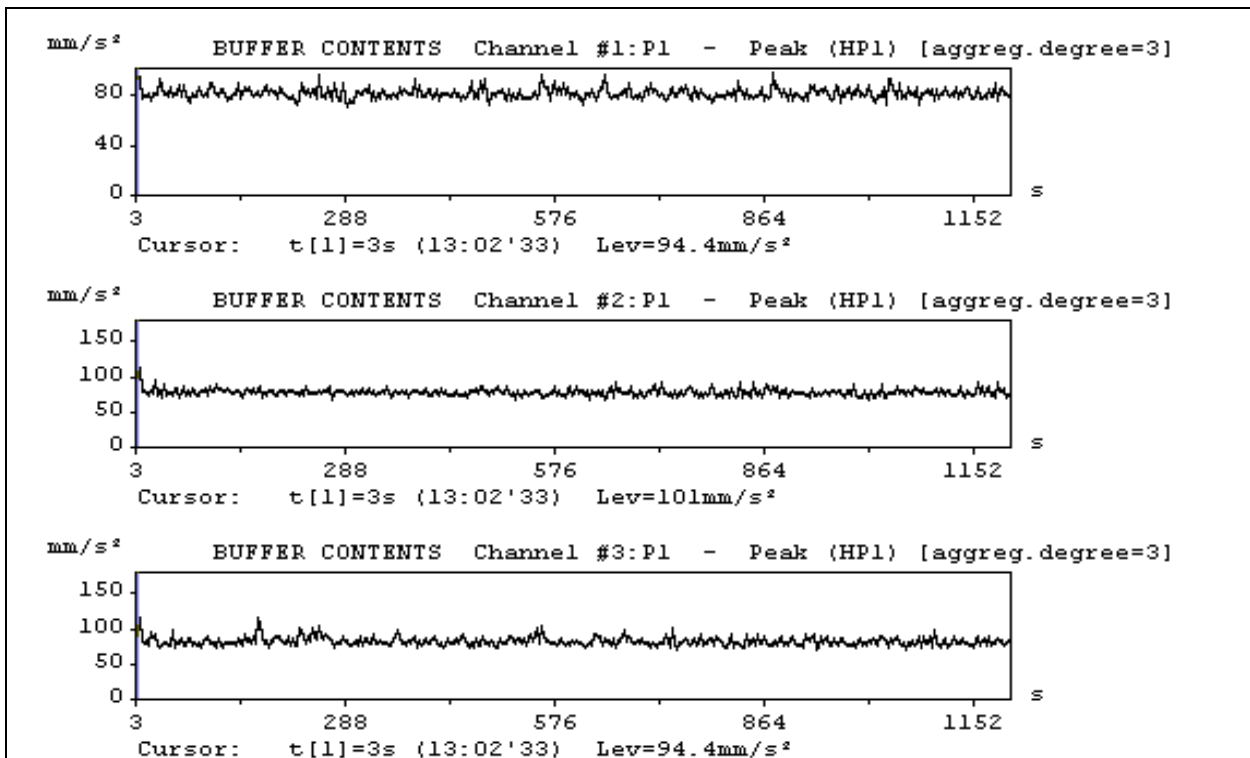


Figura C.17 - Gráficos da variação temporal da velocidade de partícula nos eixos x, y e z para o ponto **RVB-08**. Período: **Diurno-Tarde**.

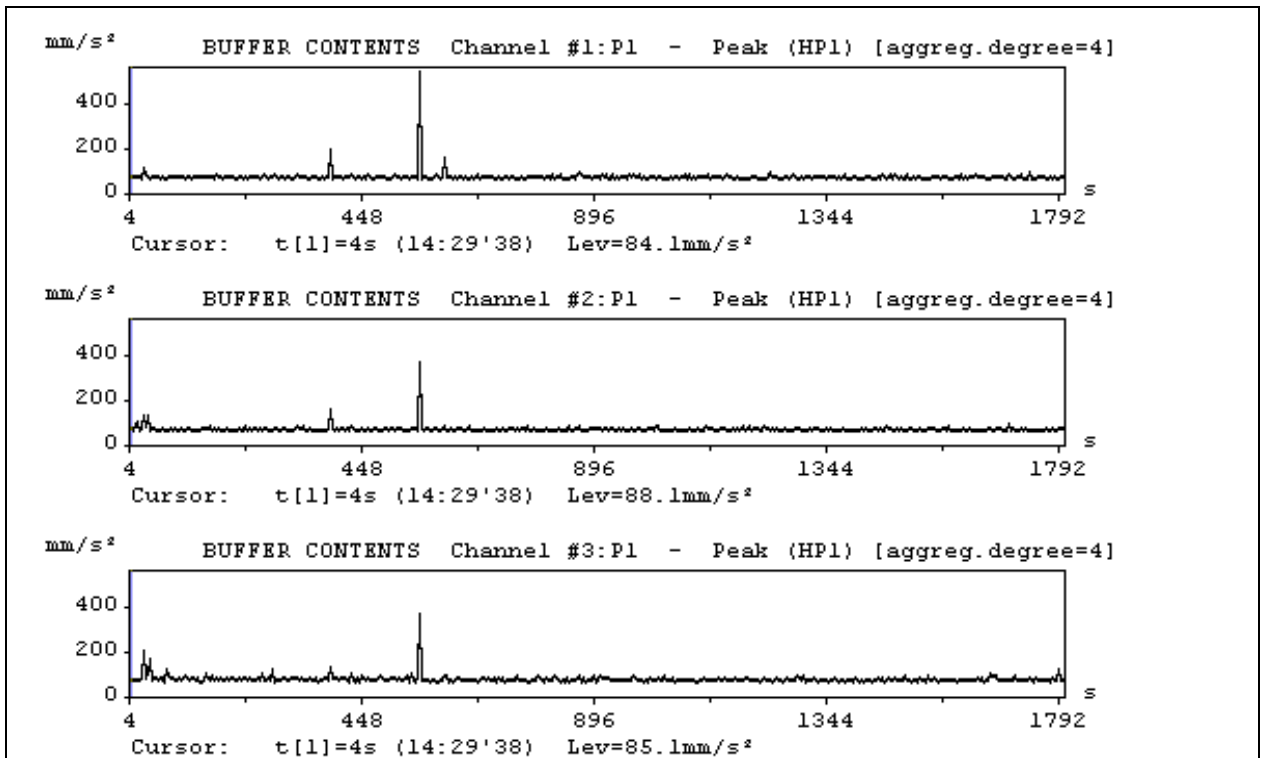


Figura C.19 - Gráficos da variação temporal da velocidade de partícula nos eixos x, y e z para o ponto **RVB-09**. Período: **Diurno-Tarde**.

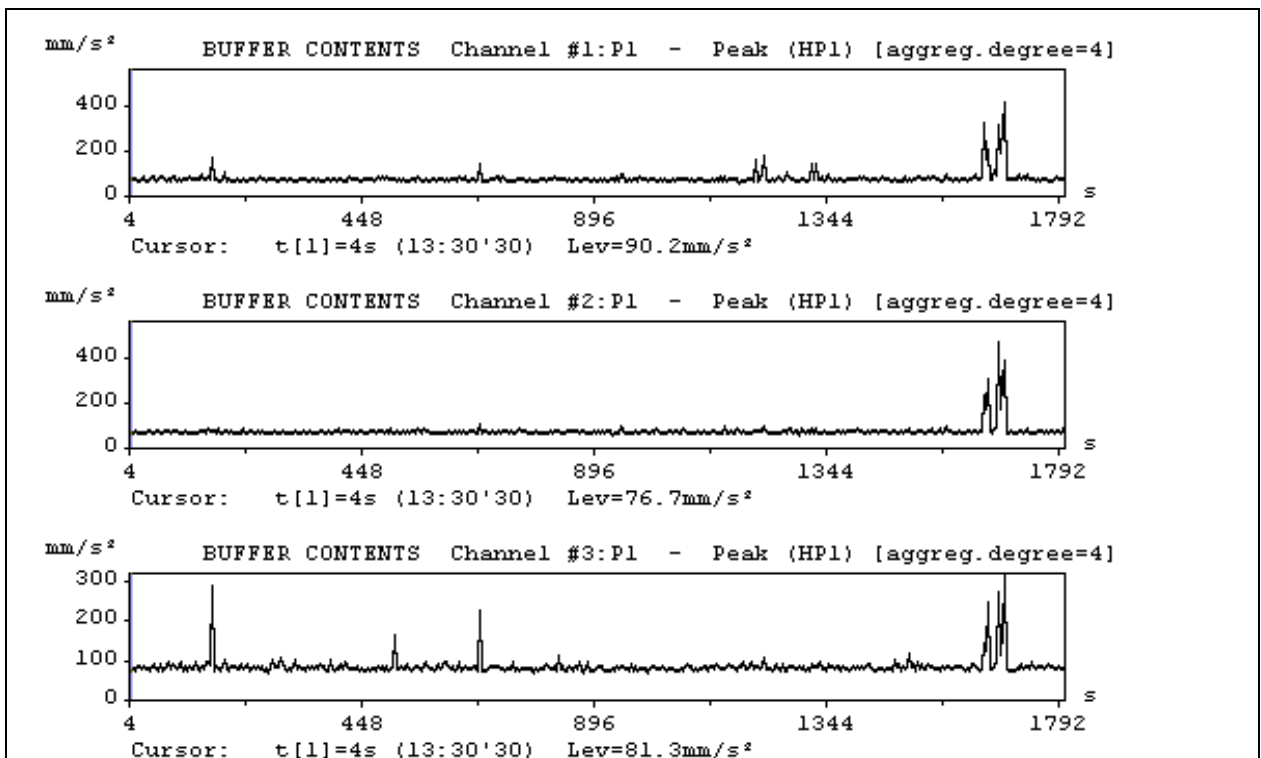


Figura C.20 - Gráficos da variação temporal da velocidade de partícula nos eixos x, y e z para o ponto **RVB-10**. Período: **Diurno-Tarde**.

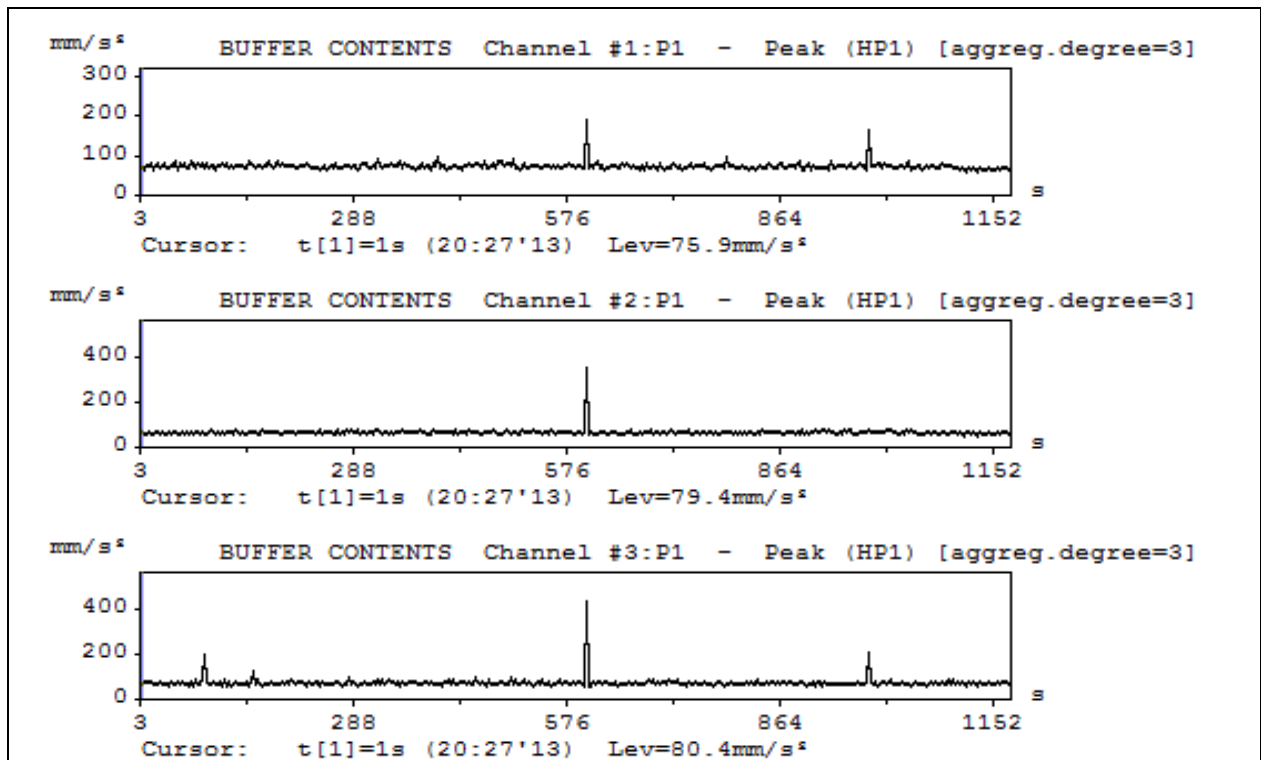


Figura C.21 - Gráficos da variação temporal da velocidade de partícula nos eixos x, y e z para o ponto **RVB-01**. Período: **Vespertino**.

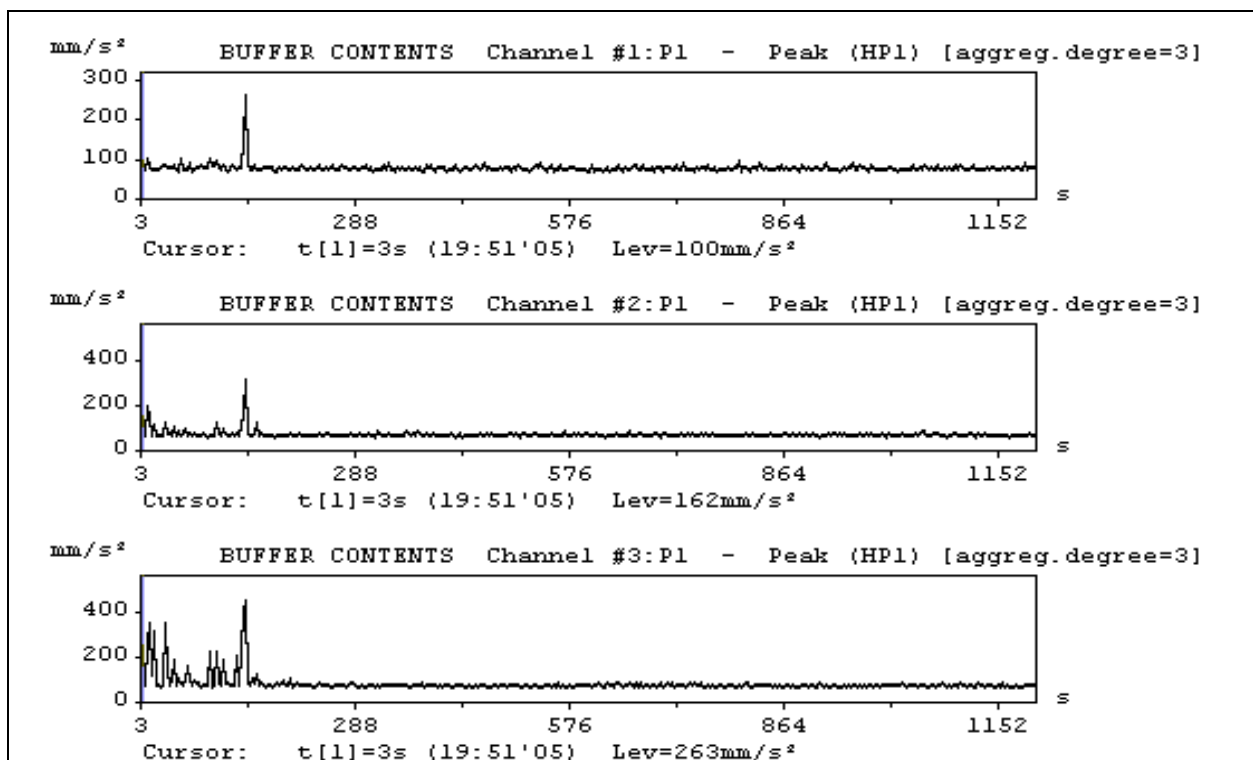


Figura C.22 - Gráficos da variação temporal da velocidade de partícula nos eixos x, y e z para o ponto **RVB-02**. Período: **Vespertino**.

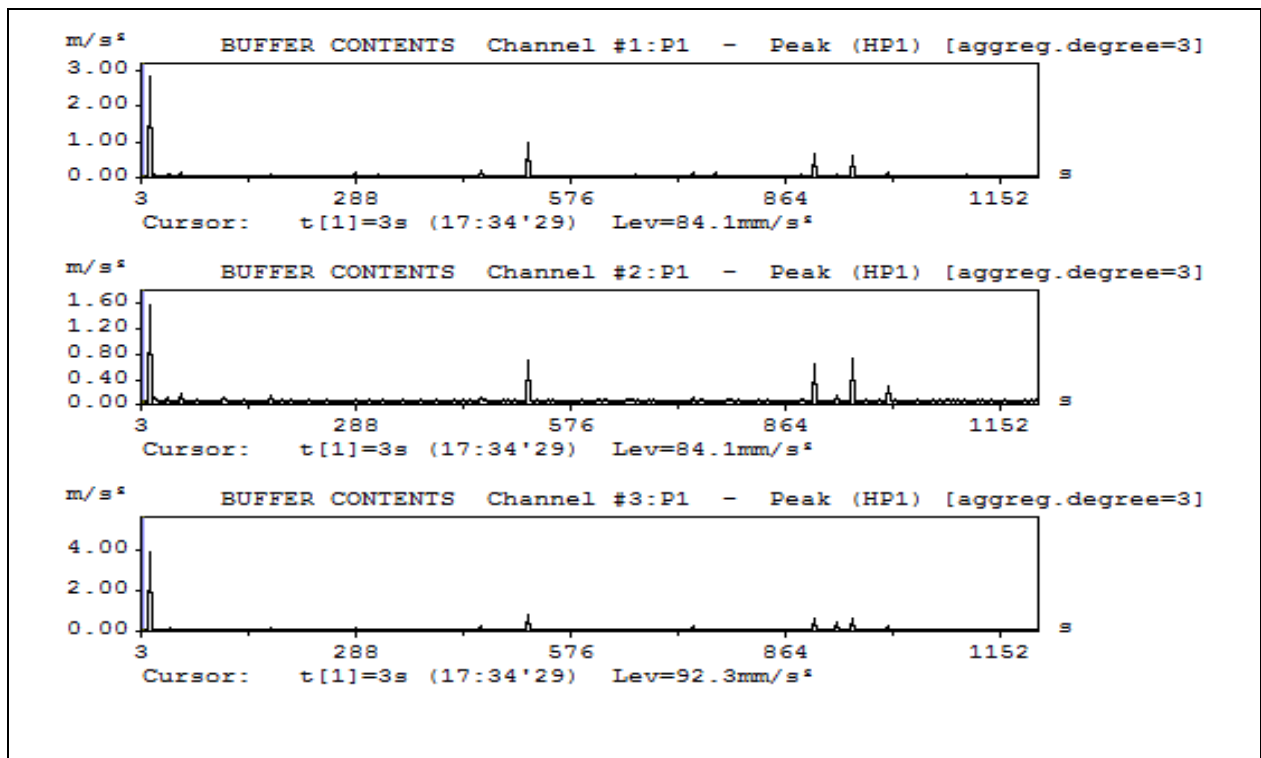


Figura C.23 - Gráficos da variação temporal da velocidade de partícula nos eixos x, y e z para o ponto **RVB-03**. Período: **Vespertino**.

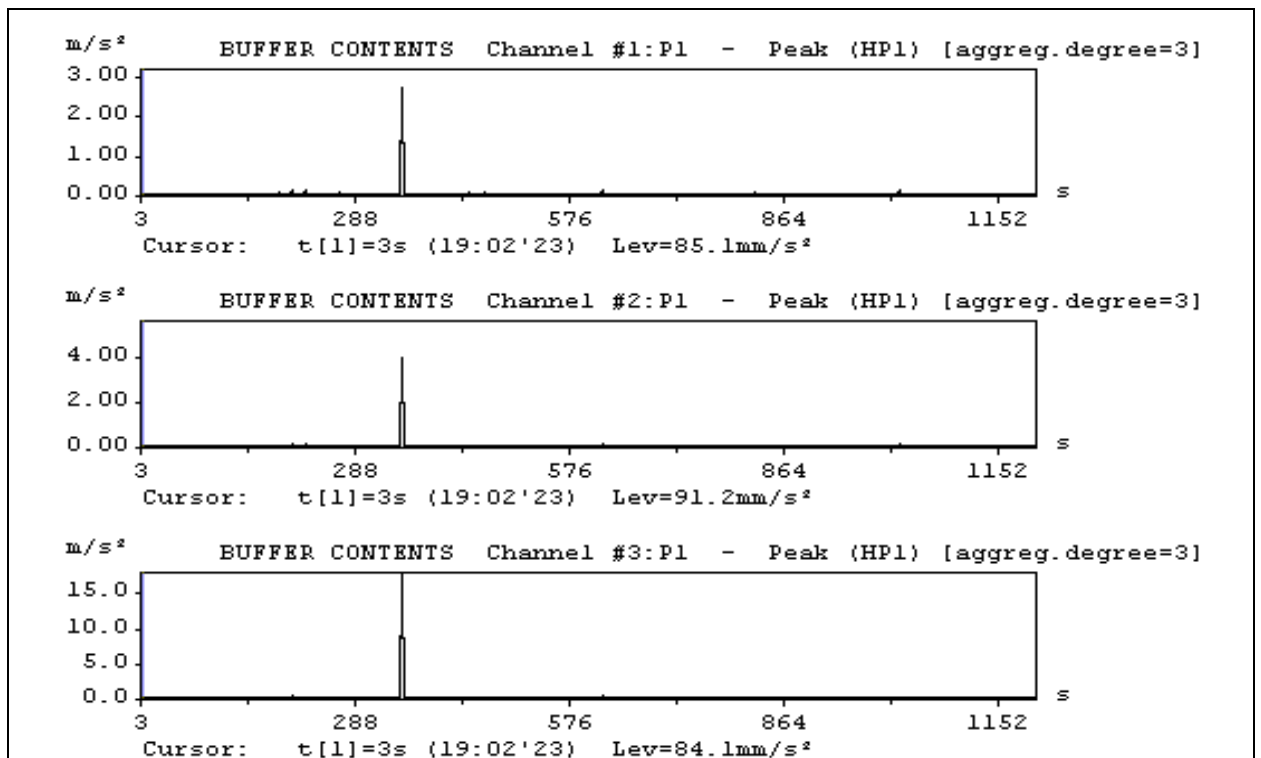


Figura C.24 - Gráficos da variação temporal da velocidade de partícula nos eixos x, y e z para o ponto **RVB-04**. Período: **Vespertino**.

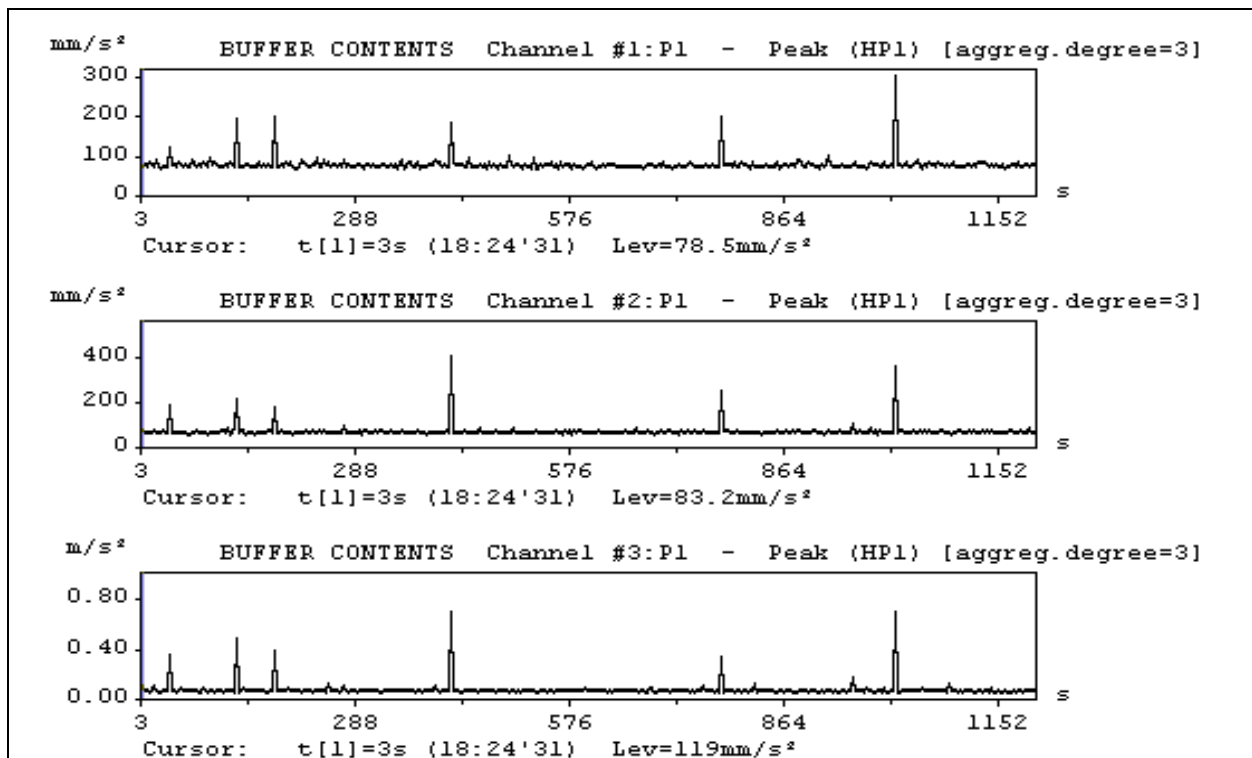


Figura C.25 - Gráficos da variação temporal da velocidade de partícula nos eixos x, y e z para o ponto **RVB-05**. Período: **Vespertino**.

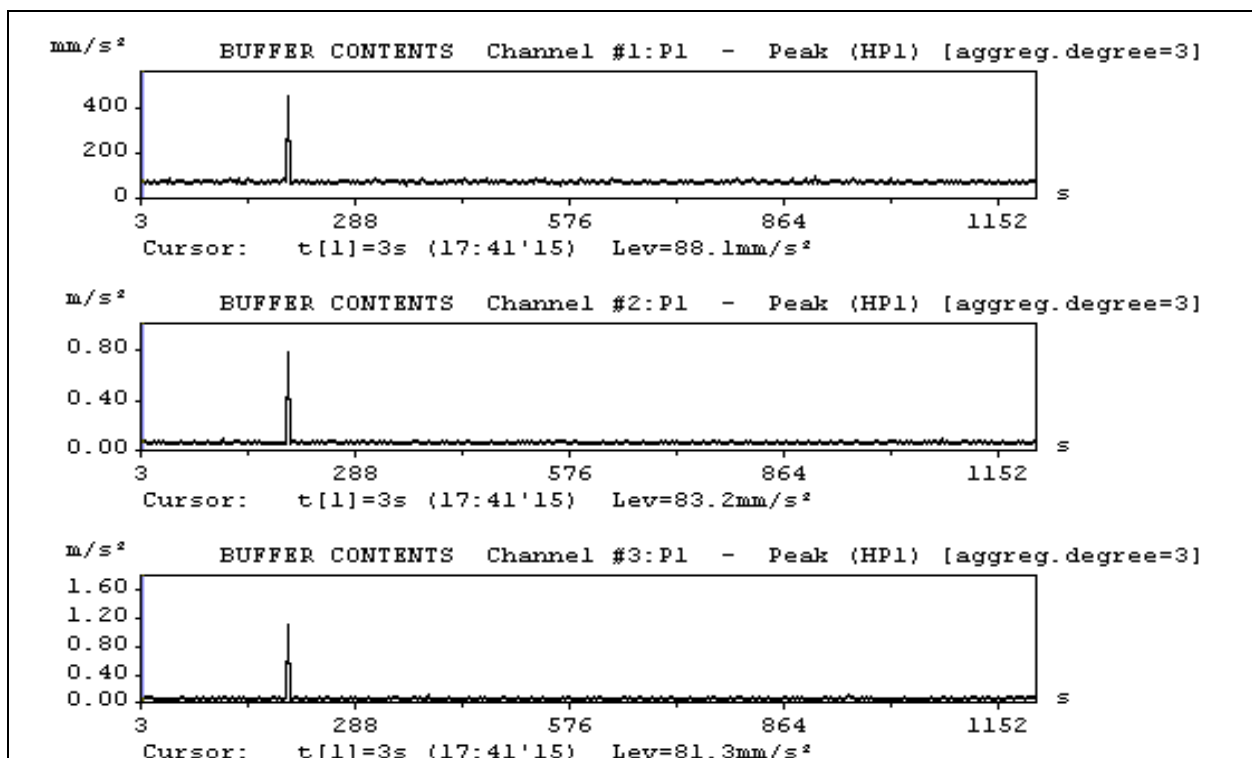


Figura C.26 - Gráficos da variação temporal da velocidade de partícula nos eixos x, y e z para o ponto **RVB-06**. Período: **Vespertino**.

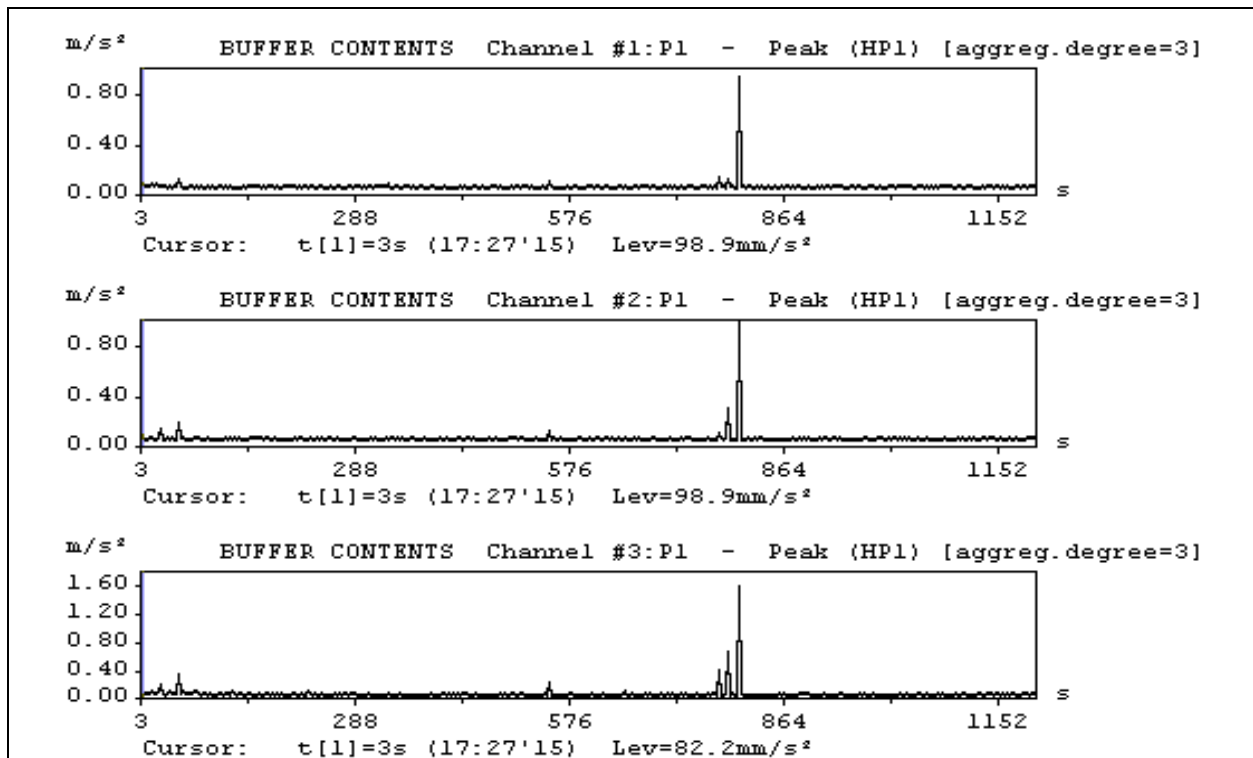


Figura C.27 - Gráficos da variação temporal da velocidade de partícula nos eixos x, y e z para o ponto **RVB-07**. Período: **Vespertino**.

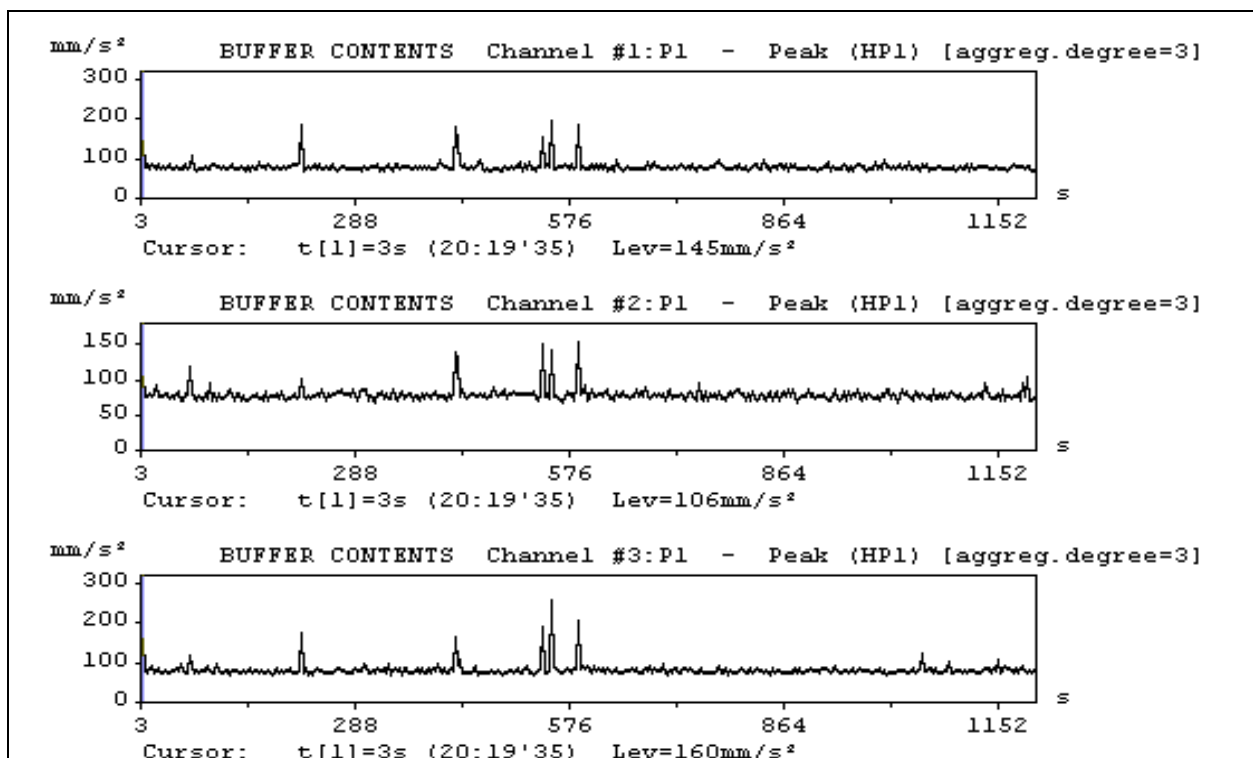


Figura C.28 - Gráficos da variação temporal da velocidade de partícula nos eixos x, y e z para o ponto **RVB-08**. Período: **Vespertino**.

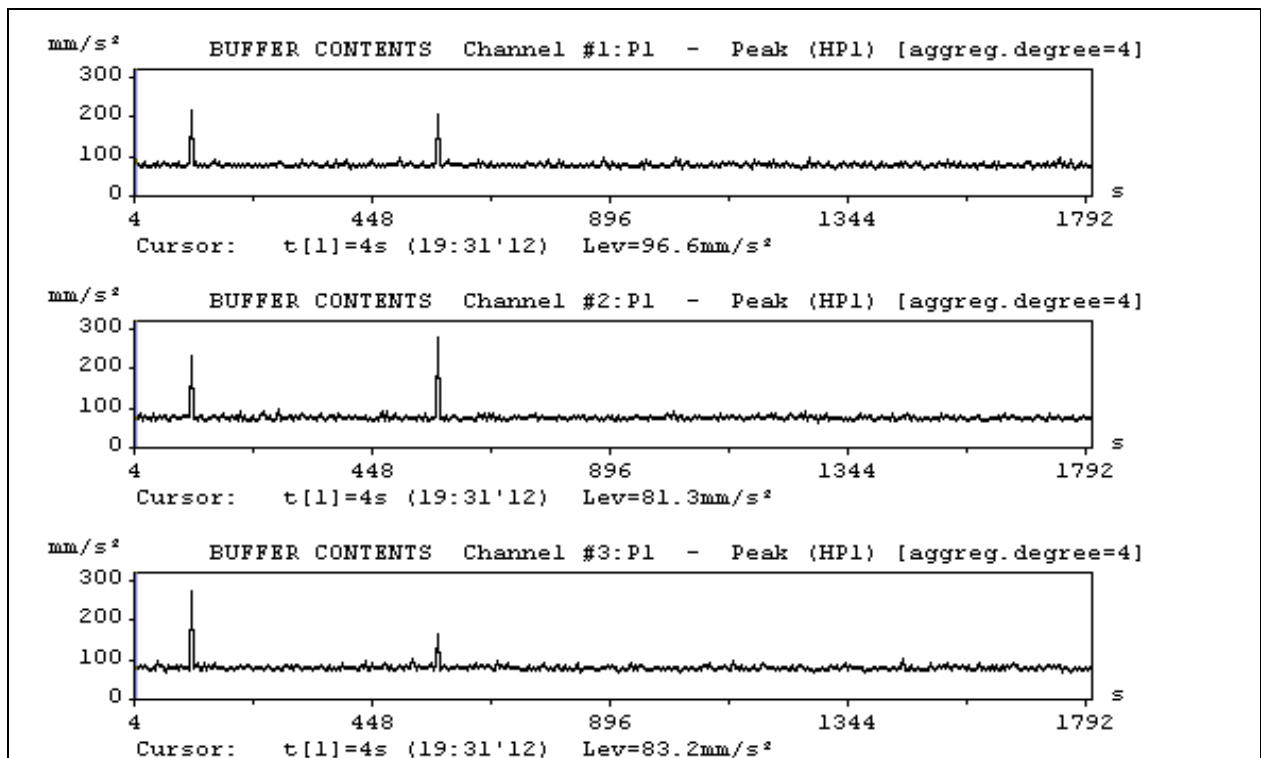


Figura C.29 - Gráficos da variação temporal da velocidade de partícula nos eixos x, y e z para o ponto **RVB-09**. Período: **Vespertino**.

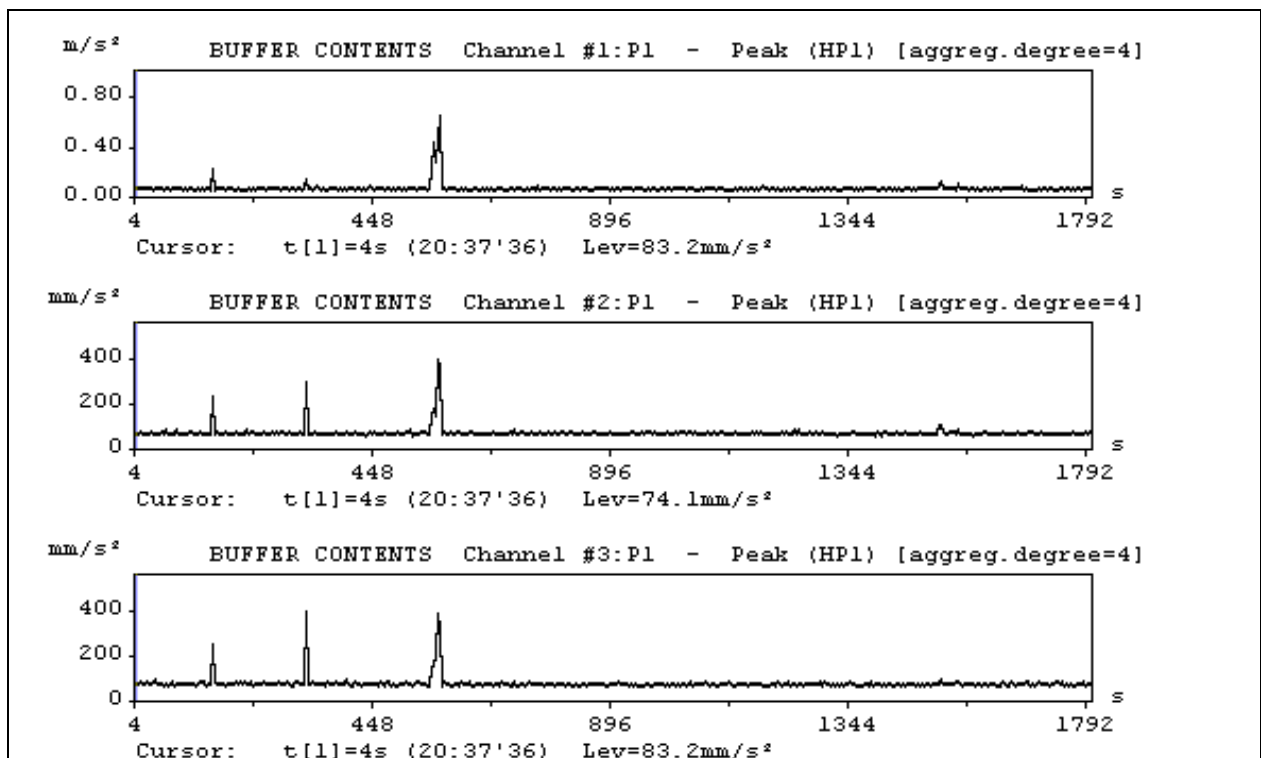


Figura C.30 - Gráficos da variação temporal da velocidade de partícula nos eixos x, y e z para o ponto **RVB-10**. Período: **Vespertino**.

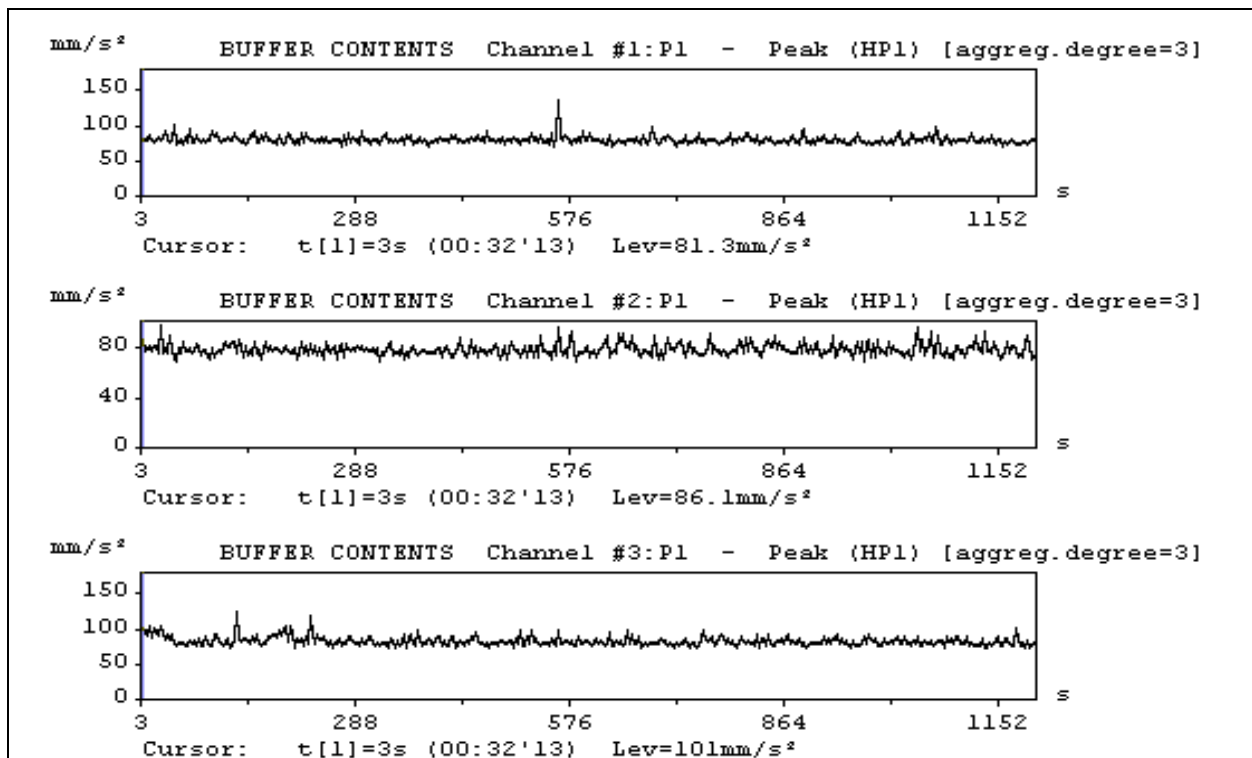


Figura C.31 - Gráficos da variação temporal da velocidade de partícula nos eixos x, y e z para o ponto **RVB-01**. Período: **Noturno**.

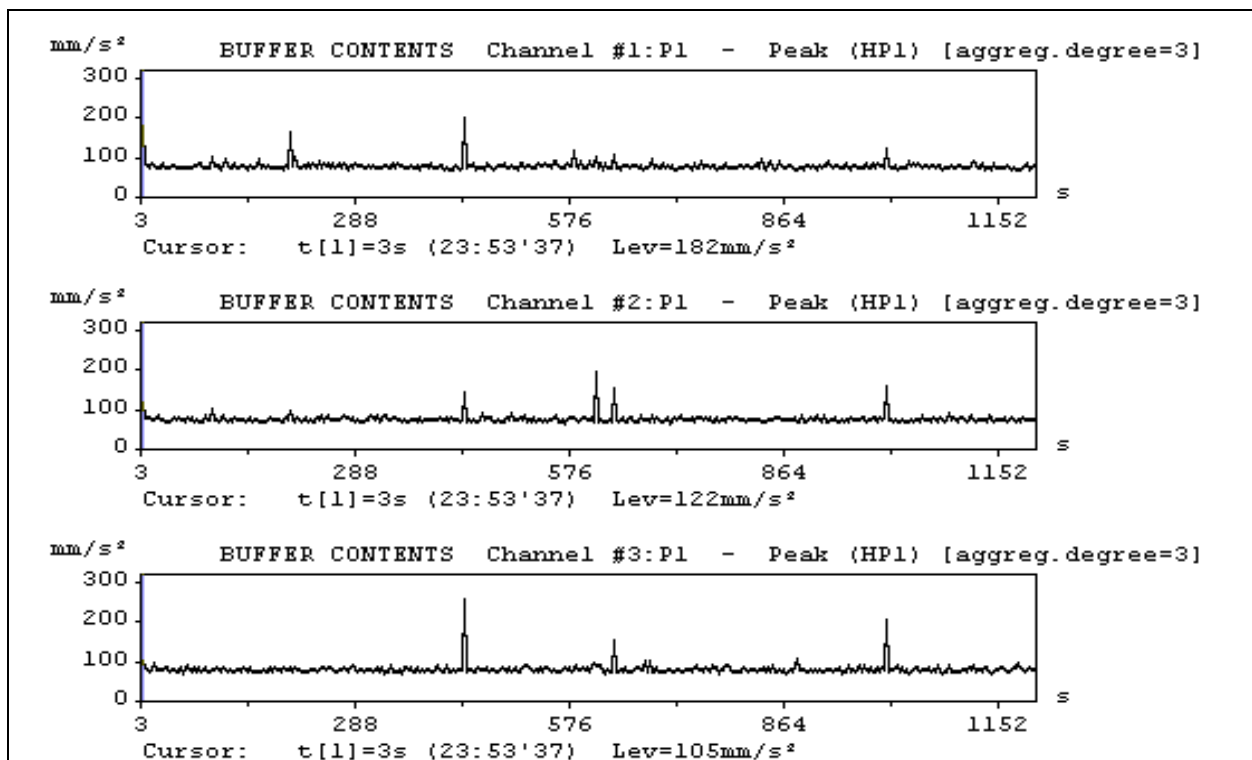


Figura C.32 - Gráficos da variação temporal da velocidade de partícula nos eixos x, y e z para o ponto **RVB-02**. Período: **Noturno**.

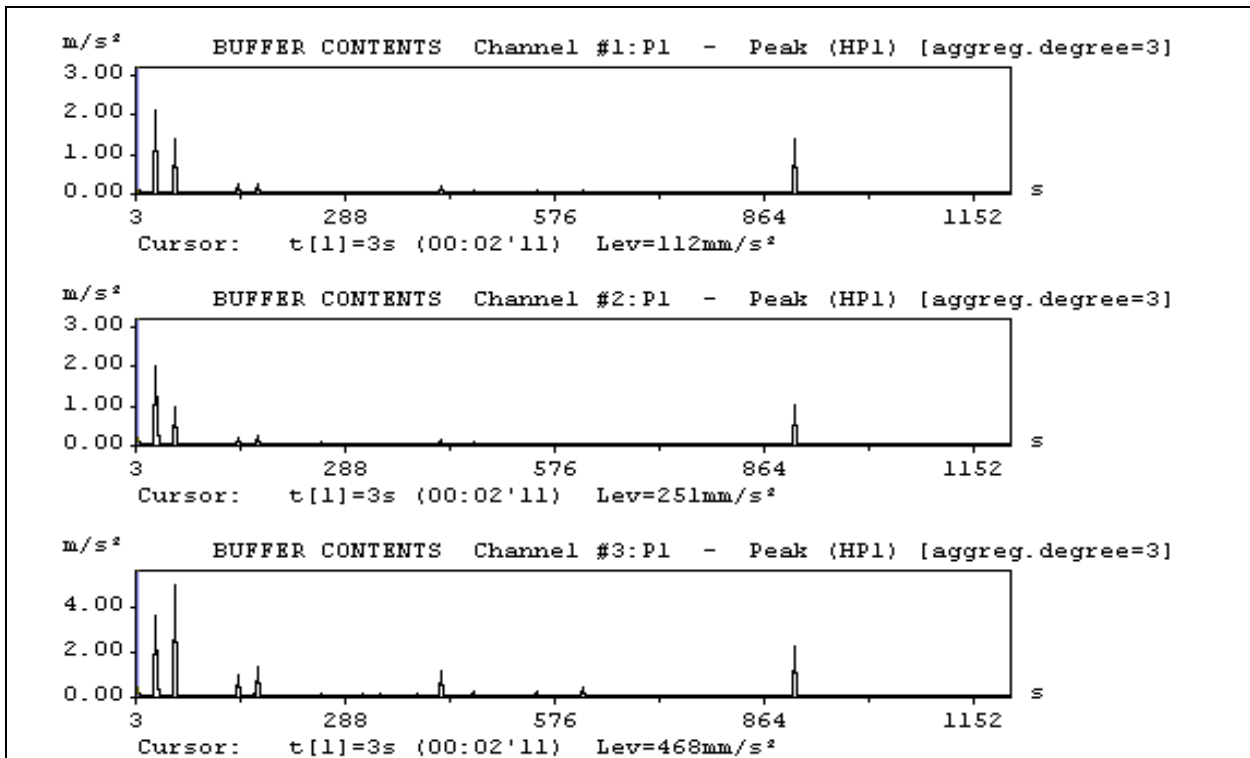


Figura C.33 - Gráficos da variação temporal da velocidade de partícula nos eixos x, y e z para o ponto **RVB-03**. Período: **Noturno**.

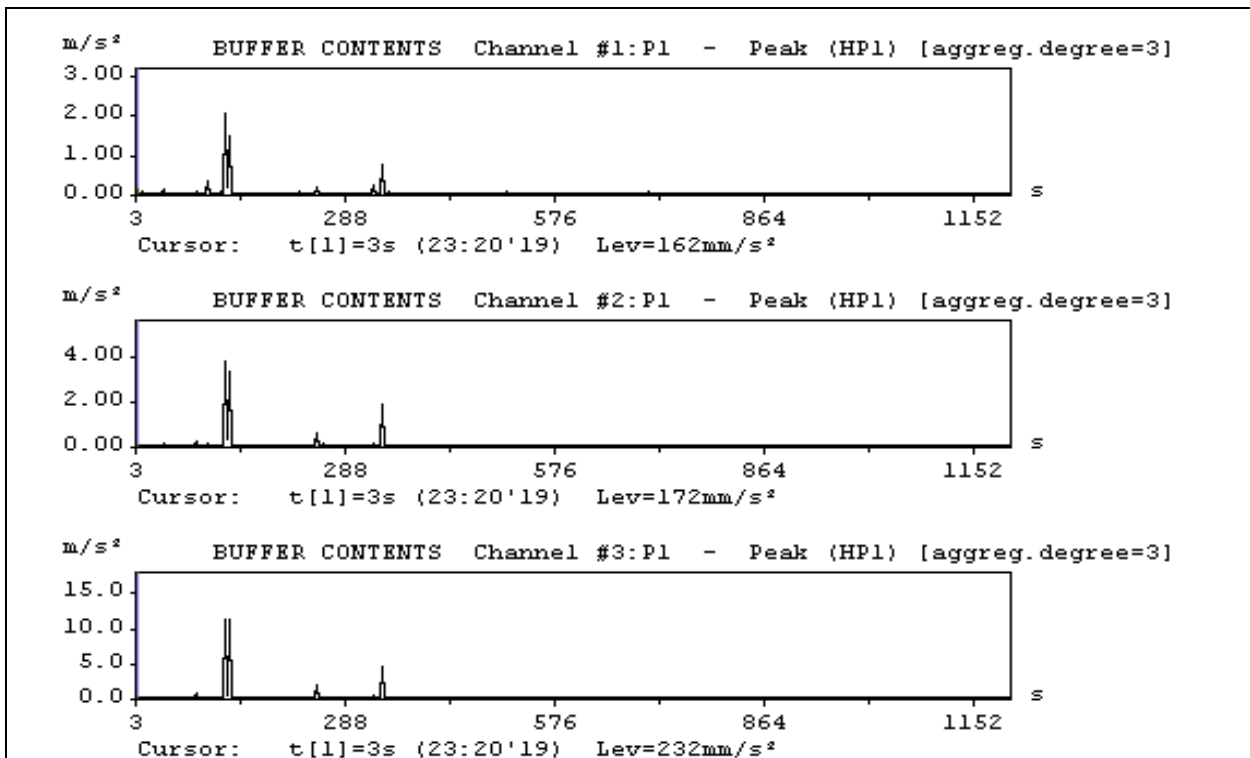


Figura C.34 - Gráficos da variação temporal da velocidade de partícula nos eixos x, y e z para o ponto **RVB-04**. Período: **Noturno**.

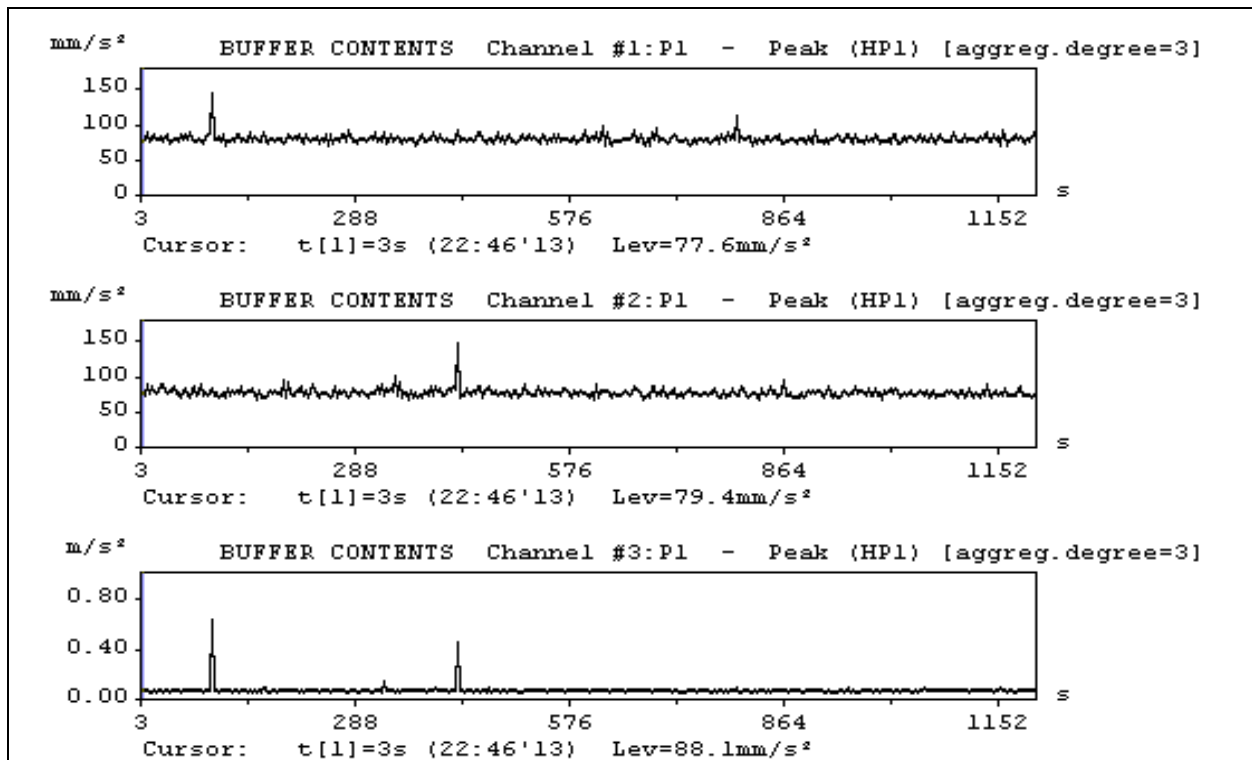


Figura C.35 - Gráficos da variação temporal da velocidade de partícula nos eixos x, y e z para o ponto **RVB-05**. Período: **Noturno**.

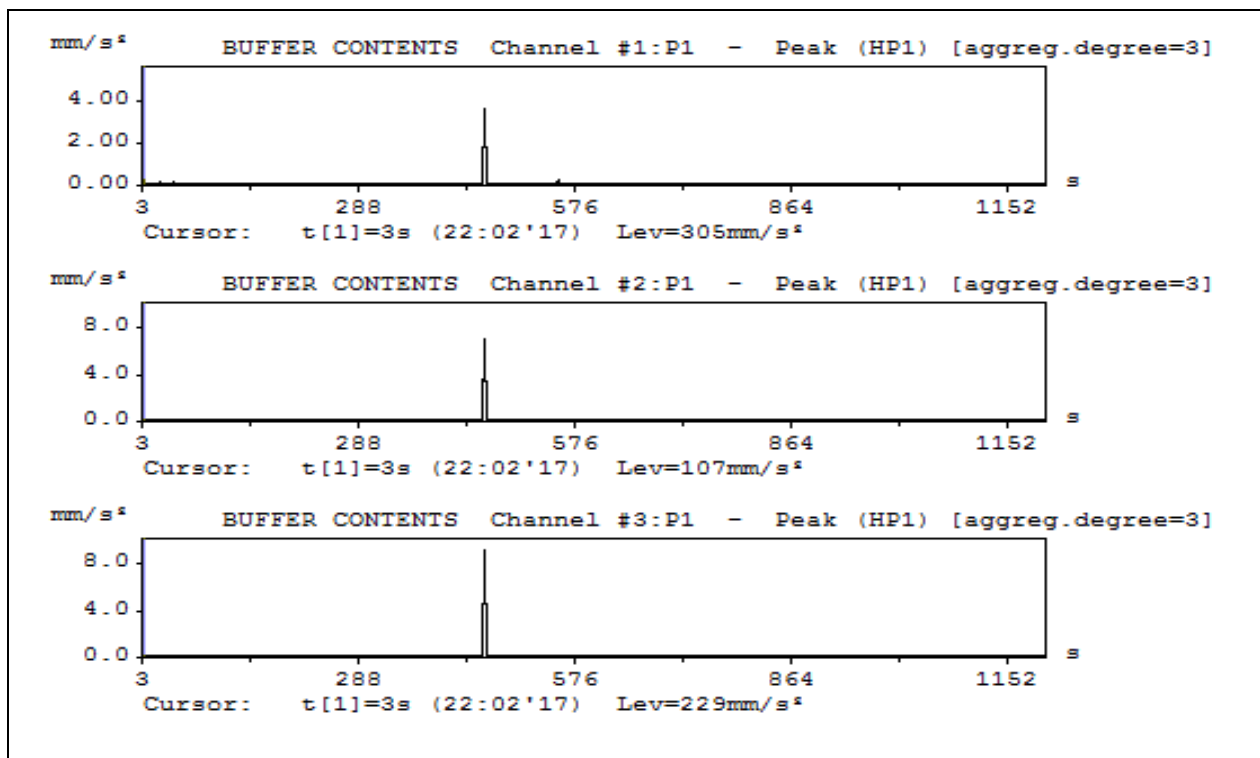


Figura C.36 - Gráficos da variação temporal da velocidade de partícula nos eixos x, y e z para o ponto **RVB-06**. Período: **Noturno**.

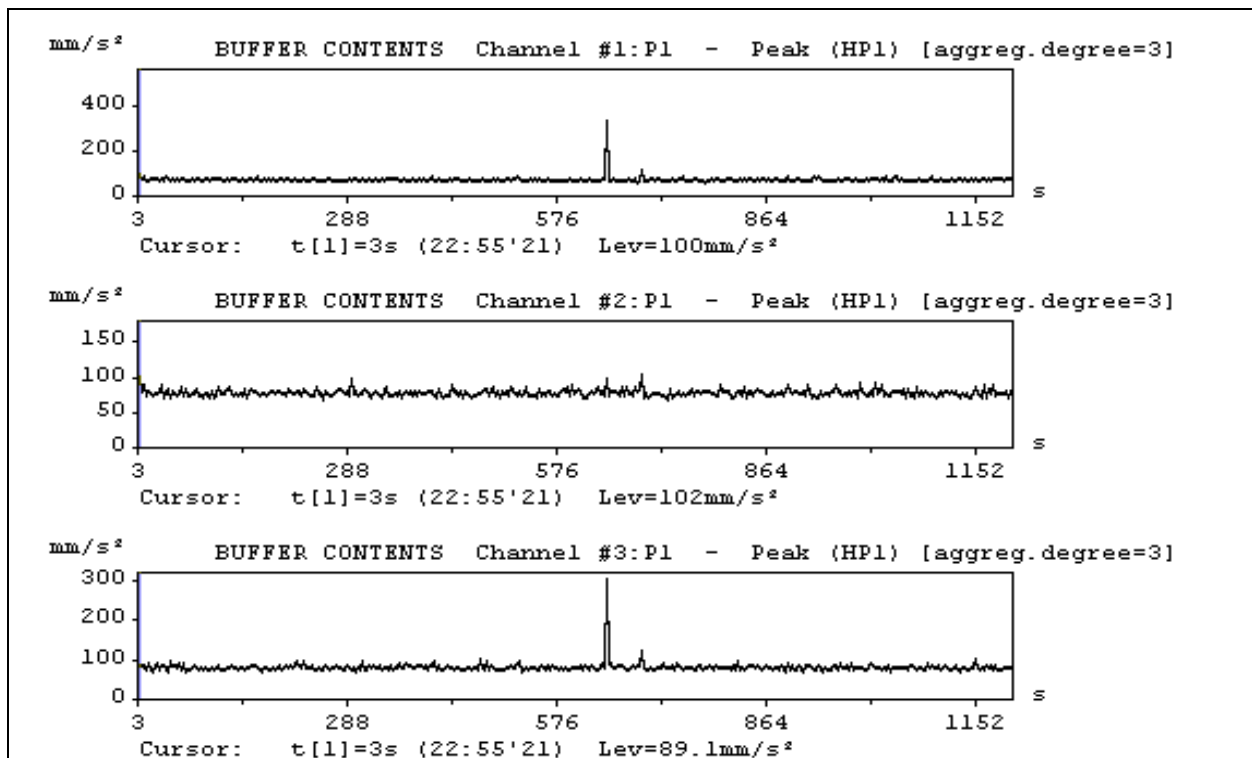


Figura C.37 - Gráficos da variação temporal da velocidade de partícula nos eixos x, y e z para o ponto **RVB-07**. Período: **Noturno**.

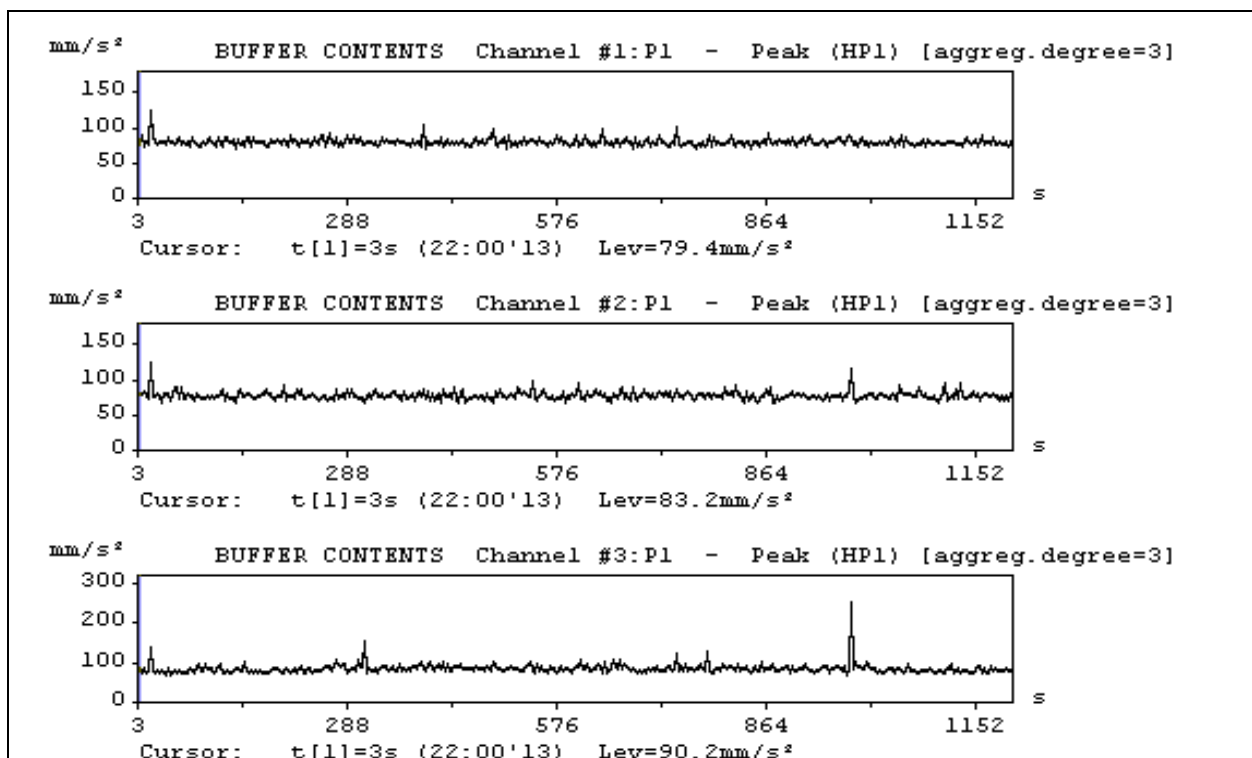


Figura C.38 - Gráficos da variação temporal da velocidade de partícula nos eixos x, y e z para o ponto **RVB-08**. Período: **Noturno**.

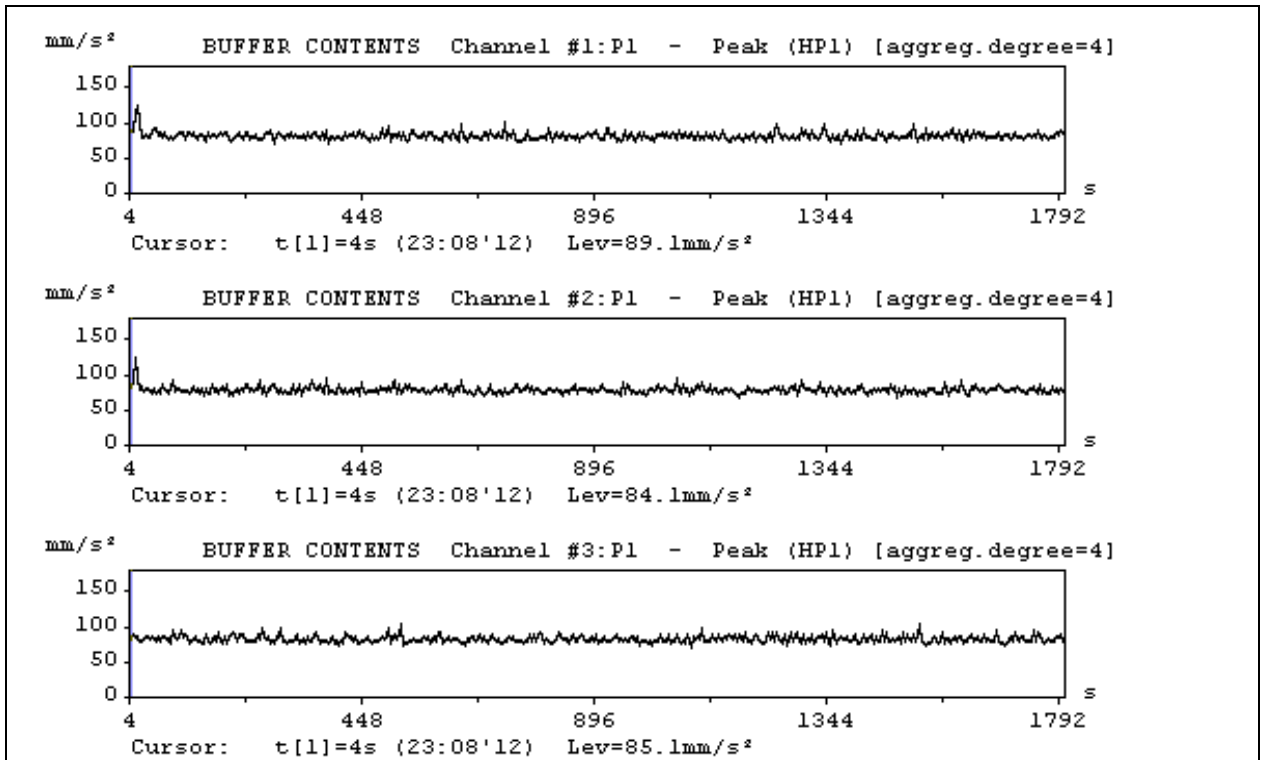


Figura C.39 - Gráficos da variação temporal da velocidade de partícula nos eixos x, y e z para o ponto **RVB-09**. Período: **Noturno**.

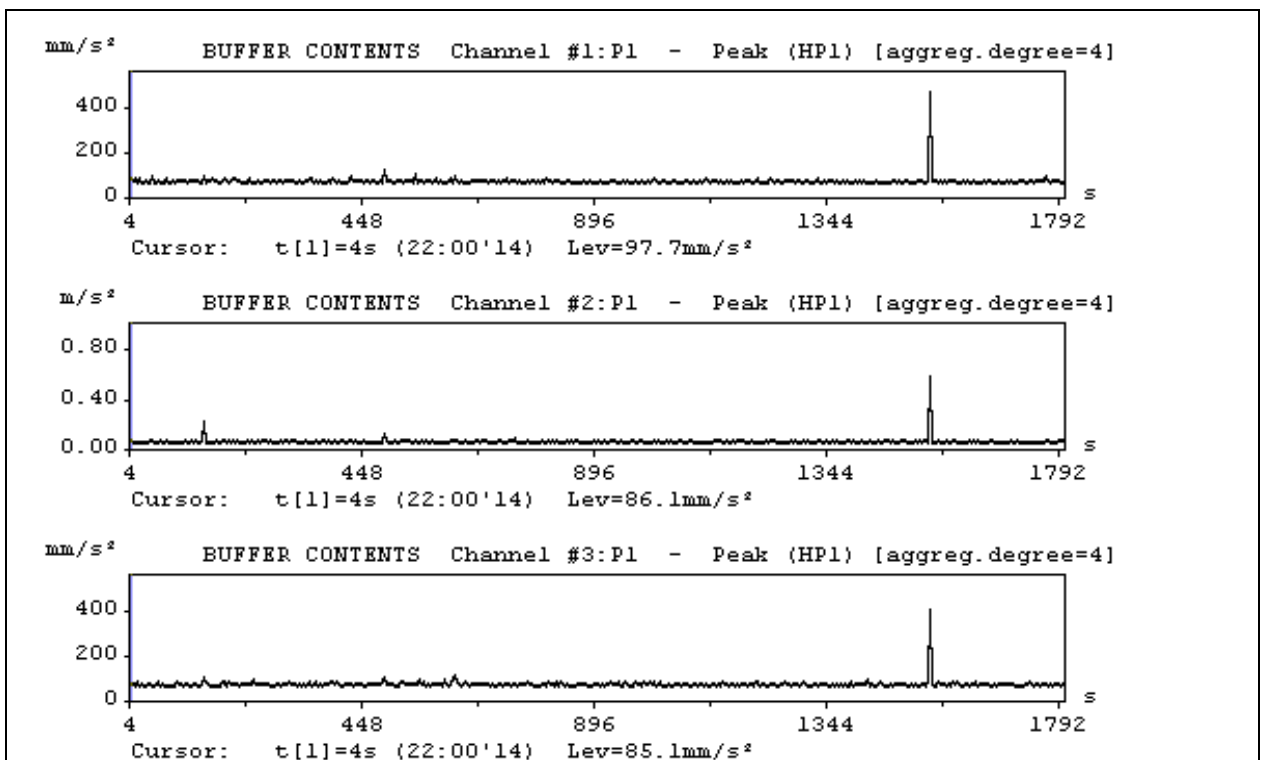


Figura C.40 - Gráficos da variação temporal da velocidade de partícula nos eixos x, y e z para o ponto **RVB-10**. Período: **Noturno**.